

11-168

43,8

Азәрбајчан ССР
Елмләр Академијасы
Академия наук
Азербайджанской ССР

ISSN 0002-3078

МӘ'РУЗЭЛӘР ДОКЛАДЫ

●
ЧИЛД

XLIII

ТОМ

●
8

1987

ДАН Азерб. ССР публикует краткие сообщения об оригинальных, нигде не печатанных ранее, результатах научных исследований, представленные академиками АН Азерб. ССР, которые тем самым берут на себя ответственность за научные достоинства представляемой статьи.

В «Докладах» не публикуются крупные статьи, механически разделенные на ряд отдельных сообщений, статьи полемического характера, без новых фактических сообщений, статьи полемического характера, без новых фактических данных, статьи с описанием промежуточных опытов, без определенных выводов и обобщений, чисто методические статьи, если предлагаемый метод не является принципиально новым, а также статьи по систематике растений и животных (за исключением описания особо интересных для науки находок).

Будучи органом срочной информации, журнал «ДАН Азерб. ССР» принимает и отбирает к печати статьи, объем которых допускает их публикацию в установленном решении Президиума АН Азерб. ССР сроки.

В связи со всеми перечисленными ограничениями отклонение статьи редакцией «Доклады АН Азерб. ССР» означает только, что она не согласуется с требованиями и возможностями этого журнала и не исключает ее публикации в других изданиях.

ПРАВИЛА ДЛЯ АВТОРОВ

Редакция журнала «Доклады АН Азерб. ССР» просит авторов руководствоваться приведенными правилами и надеется, что авторы ознакомятся с ними прежде, чем пришлют статью в редакцию.

Статьи, присланные без соблюдения этих правил, к рассмотрению не принимаются.

1. Статьи, направляемые в редакцию, должны иметь представление члена АН СССР или академика АН Азерб. ССР, если оно требуется (см. выше).

Статьи с просьбой направить их на представление редакцией не принимаются.

2. Статьи публикуются по мере поступления. Единственным поводом для внеочередной публикации является исключительная важность сообщения и соображения приоритета. Для этого необходимо специальное решение редколлегии.

3. Как правило, редакция направляет представленные статьи на рецензию.

4. «Доклады» помещают не более трех статей одного автора в год. Это правило, не распространяется на членов АН СССР, академиков Академии наук Азерб. ССР.

5. Авторы должны определить раздел, в который следует поместить статью, а также дать индекс статьи по Универсальной десятичной классификации (УДК). К статье прилагается отпечатанный на машинке реферат в двух экземплярах, предназначенный для передачи в один из реферативных журналов ВИНТИ.

6. В конце статьи нужно указать полное название учреждения, в котором выполнено исследование, фамилии всех авторов а также полный почтовый адрес и номер телефона (служебный и домашний) каждого соавтора.

Кроме того, авторский коллектив должен указать лицо, с которым редакция будет вести переговоры и переписку.

7. Возвращение рукописи автору на доработку не означает, что статья принята к печати. После получения доработанного текста рукопись вновь рассматривается редколлекцией. Доработанный текст автор должен вернуть вместе с первоначальным экземпляром статьи, а также ответом на все замечания. Датой поступления считается день получения редакцией окончательного варианта статьи.

8. В «Докладах» публикуются статьи, занимающие не более $\frac{1}{4}$ авторского листа (6 страниц машинописи). В этот объем входит текст, таблицы, библиография (не больше 15 источников) и рисунки, число которых не должно превышать четырех, включая и обозначения «а», «б» и т. д. в том числе наклейки на мелованной бумаге. Наклейки даются только для микрофотографий большого увеличения. Штриховые рисунки (карты, схемы и т. п.) на наклейках не печатаются, а даются на кальке. Текст и графический материал представляются в двух экземплярах. Повторение одних и тех же данных в тексте, таблицах и графиках недопустимо. Рисунки должны быть выполнены четко, в формате, обеспечивающем ясность передачи всех деталей фотографии представляются на глянцевой бумаге. Подписи к рисункам должны быть напечатаны в 2-х экземплярах через два интервала на отдельной странице. На обороте рисунков мягким карандашом указываются фамилии авторов, название статьи и номер рисунка.

(Продолжение на третьей странице обложки)

МƏРУЗƏЛƏР ДОКЛАДЫ

ТОМ XLIII ЧИЛД

№ 8

«ЕЛМ» НƏШРИЈАТЫ—ИЗДАТЕЛЬСТВО «ЭЛМ»

БАКЫ—1987—БАКУ



Чл.-корр. АН АзССР М. Г. ГАСЫМОВ, А. М. МАГЕРРАМОВ

О ЕДИНСТВЕННОСТИ РЕШЕНИЯ ОБРАТНОЙ ЗАДАЧИ ТЕОРИИ РАССЕЯНИЯ ДЛЯ ПУЧКОВ ОБЫКНОВЕННЫХ ДИФФЕРЕНЦИАЛЬНЫХ ОПЕРАТОРОВ

Данная статья посвящена изучению прямых и обратных задач теории рассеяния пучка операторов L_λ в $L_2(0, \infty)$, порожденного уравнением

$$l\left(x, \frac{d}{dx}, \lambda\right) = \left(\frac{d^2}{dx^2} + \lambda^2\right)^m y + \sum_{k=0}^{m-1} P_k(x, \lambda) y^{(k)} = 0 \quad (1)$$

с граничными условиями

$$y^{(j)}(0) = 0, \quad j = \overline{0, m-1}, \quad (2)$$

в предположении, что коэффициентные функции

$$P_k(x, \lambda) = \sum_{s=0}^{m-k-1} \lambda^s p_{ks}(x), \quad (3)$$

где комплекснозначные функции $p_{ks}(x)$ имеют все производные до порядка k и в дальнейшем везде выполняется условие

$$\int_0^\infty \sum_{k=0}^{m-1} \sum_{s=0}^{m-k-1} (1+x)^{3m-s-2} |p_{ks}^{(k)}(x)| dx < \infty. \quad (4)$$

Заметим, что при $m=1$ и $p_0 = q(x)$ получается классическая задача Штурма-Лиувилля. Здесь прямые и обратные задачи теории рассеяния были исследованы в ряде известных работ и изложены в [1], [2].

Случай $m=2$ частично был предметом исследований работ [3], [4].

1. Теорема 1 об операторах преобразования с условием на бесконечности. Уравнение (1) имеет фундаментальную систему решений $F_s^\pm(x, \lambda)$, $j = \overline{0, m-1}$, которые удовлетворяют условиям

$$\lim_{x \rightarrow +\infty} [F_p^\pm(x, \lambda) - x^p \exp(\pm i\lambda x)] = 0, \quad \pm \text{Im} \lambda \geq 0. \quad (5)$$

Существуют ядра $K_p^\pm(x, t)$, такие, что

$$F_p^\pm(x, \lambda) = x^p \exp(\pm i\lambda x) + \int_x^\infty K_p^\pm(x, t) \exp(\pm i\lambda t) dt, \quad (6)$$

при этом $K_p^\pm(x, t)$ удовлетворяет интегральному уравнению

$$K_p^\pm(x, t) = \sum_{r=0}^{m-1} \sum_{s=0}^{m-r-1} \int_{\frac{x+t}{2}}^\infty \xi^p q_{rs}(\xi) Q_{rs}^\pm(\xi - x, t - \xi) d\xi +$$

РЕДАКЦИОННАЯ КОЛЛЕГИЯ:

Э. Ю. Салаев (главный редактор), Г. Б. Абдуллаев, М. Т. Абасов,
В. С. Алиев, Г. А. Алиев, Дж. А. Алиев, И. Г. Алиев, Дж. Б. Гулиев,
Н. А. Гулиев, М. З. Джафаров, Ф. Г. Максудов, А. А. Надиров,
Ю. М. Сендов (зам. главного редактора), М. А. Усейнов,
Г. Г. Зейналов (ответств. секретарь).

© Издательство «Элм», 1987 г.

$$\begin{aligned}
 & + \sum_{r=0}^{m-1} \sum_{s=0}^{m-r-1} \int_x^{\frac{x+t}{2}} d\xi \int_{t-\xi+x}^{t+\xi-x} q_{rs}(\xi) Q_{rsm}^{\pm}(\xi-x, t-\xi) K_{\mu}^{\pm}(\xi, \alpha) d\alpha \quad (7) \\
 & + \sum_{r=0}^{m-1} \sum_{s=0}^{m-r-1} \int_x^{\frac{x+t}{2}} q_{rs}(\xi) d\xi \int_c^{t+\xi-x} Q_{rsm}^{\pm}(\xi-x, t-\alpha) K_{\mu}^{\pm}(\xi, \alpha) d\alpha.
 \end{aligned}$$

Здесь введены следующие обозначения:

$$\begin{aligned}
 q_{rs}(x) &= \sum_{k=r}^{m-s-1} (-1)^{k+1} C_{\mu}^r p_{kr}^{(k-r)}(x), \\
 Q_{rsm}^{\pm}(x, t) &= (\pm t)^s a_m \frac{\partial^{r+s}}{\partial x^r \partial t^s} (x^2 - t^2)^{m-1}, \\
 a_2 &= \frac{1}{8}, \quad a_s = \frac{a_{s-1}}{2(s-1)(2s-3)}, \quad s=3, 4, \dots
 \end{aligned}$$

Имеет место оценка

$$\sup_{0 < \xi < \infty} (1+\xi)^{-m+1} \int_{\xi}^{\infty} |K_{\mu}^{\pm}(\xi, \alpha)| d\alpha < \infty.$$

Используя уравнение (7) можно получить более точные оценки для $K_{\mu}^{\pm}(x, t)$.

Теорема 2. Пусть $q_{rs}(x)$ имеет непрерывные производные до порядка $m+r+s$, $x^{2m-2} q_{rs}^{(k)}(x) \in L_1(0, \infty)$, $\nu=0, m+r+s$. Тогда $K_{\mu}^{\pm}(x, t)$ имеет все производные до порядка $2m$, которые непрерывны при $0 < x \leq t < \infty$, и имеет место

$$\lim_{x+t \rightarrow \infty} \frac{\partial^{\alpha+\beta}}{\partial x^{\alpha} \partial t^{\beta}} K_{\mu}^{\pm}(x, t) = 0, \quad \alpha + \beta \leq 2m - 1, \quad (8)$$

$$l \left(x, \frac{\partial}{\partial x}, \pm i \frac{\partial}{\partial t} \right) K_{\mu}^{\pm}(x, t) = 0. \quad (9)$$

Для ядра $K_{\mu}^{\pm}(x, t)$ выполняется так же m условий на характеристике $t=x$.

Они сложные и здесь не приводятся. Только заметим, что эти условия позволяют определить все $p_{ks}(x)$ однозначно по $K_{\mu}^{\pm}(x, t)$ и $K_{\mu}^{\mp}(x, t)$, $\mu=0, m-1$.

2. Разложение по собственным функциям пучка L_{λ} . Пучок L_{λ} имеет не более чем счетное число собственных значений с предельными точками в конечной части вещественной оси $(-\infty, \infty)$. Если при некотором $\epsilon > 0$ имеет место

$$\exp(\epsilon x) p_{ks}^{(k)}(x) \in L_1(0, \infty), \quad (10)$$

то пучок L_{λ} может иметь лишь конечное число невещественных собственных значений и конечное число спектральных особенностей на $(-\infty, \infty)$, а непрерывный спектр его совпадает с вещественной осью $(-\infty, \infty)$. Для удобства изложения предположим, что пучок L_{λ} не имеет собственных значений и спектральных особенностей. Известно, что определить Вронского

$$W(\lambda) = \begin{vmatrix} F_0^+, \dots, F_{m-1}^+, F_0^-, \dots, F_{m-1}^- \\ (F_0^+)', \dots, (F_{m-1}^+)', (F_0^-)', \dots, (F_{m-1}^-)' \\ (F_0^+)^{(2m-1)}, \dots, (F_{m-1}^+)^{(2m-1)}, (F_0^-)^{(2m-1)}, \dots, (F_{m-1}^-)^{(2m-1)} \end{vmatrix} \quad (11)$$

не зависит от x . Обозначим через $\psi_{\mu}^{\pm}(x, \lambda)$ алгебраическое дополнение элемента $F_{\mu}^{\pm}(x, \lambda)$ в определителе (11), деленное на $W(\lambda)$. Эти функции являются решениями уравнения, которые получаются из (1) транспонированием по Лагранжу. Пусть

$$\varphi_{\mu}(x, \lambda) = \sum_{s=0}^{m-1} b_{s\mu}(\lambda) F_s^+(x, \lambda) - F_{\mu}^-(x, \lambda), \quad (12)$$

$$\theta_{\mu}(x, \lambda) = \sum_{s=0}^{m-1} d_{s\mu}(\lambda) \psi_s^+(x, \lambda) - \psi_{\mu}^-(x, \lambda) \quad (13)$$

и $\varphi_{\mu}^{(s)}(0, \lambda) = \theta_{\mu}^{(s)}(0, \lambda) = 0$, $s=0, m-1$. Отсюда неизвестные функции $b_{s\mu}(\lambda)$ и $d_{s\mu}(\lambda)$ определяются однозначно. С помощью специальных решений можно написать спектральное разложение пучка L_{λ} . Имеет место

Теорема 3. Пусть $f(x)$ достаточно гладкая функция, которая обращается в нуль в окрестности нуля и бесконечности. Тогда имеет место следующее кратное спектральное разложение

$$\begin{aligned}
 f(x) &= \frac{1}{2\pi i} \int_{-\infty}^{\infty} \lambda^{2m-1} \sum_{\mu=0}^{m-1} E_{\mu}(\lambda) \varphi_{\mu}(x, \lambda) d\lambda, \\
 0 &= \int_{-\infty}^{\infty} \lambda^s \sum_{\mu=0}^{m-1} E_{\mu}(\lambda) \varphi_{\mu}(x, \lambda) d\lambda, \quad s=0, \overline{2m-2}, \quad (14)
 \end{aligned}$$

где

$$E_{\mu}(\lambda) = \int_0^{\infty} f(x) \theta_{\mu}(x, \lambda) dx. \quad (15)$$

3. Данные рассеяния пучка. Матричную функцию

$$S(\lambda) = \{b_{s\mu}(\lambda)\}$$

назовем матрицей рассеяния пучка L_{λ} . Она допускает симметричную факторизацию. Ставится задача о восстановлении пучка L_{λ} по матрице рассеяния $S(\lambda)$.

Обозначим через $S_0(\lambda)$ матричную функцию пучка L_{λ} в случае нулевых коэффициентов $p_{ks}(x) \equiv 0$. Тогда можно доказать, что $S(\lambda) - S_0(\lambda) \in L_2(-\infty, \infty)$ и поэтому функции

$$B_{s\mu}(x) = \frac{1}{2\pi i} \int_{-\infty}^{\infty} [b_{s\mu}(\lambda) - b_{s\mu}^0(\lambda)] \exp(i\lambda x) d\lambda$$

также принадлежат $L_2(-\infty, \infty)$. Можно более подробно исследовать эти функции. Для этого надо использовать следующие интегральные уравнения:

$$\begin{aligned}
 & \sum_{s=0}^{m-1} x^s B_{s\mu}(x+t) - K_{\mu}^-(x, t) + \\
 & + \int_x^{\infty} \sum_{s=0}^{m-1} B_{s\mu}(t+\xi) K_{\mu}^+(x, \xi) d\xi = 0. \quad (16)
 \end{aligned}$$

Заметим, что если все $r_{\mu s}(x)$ — вещественные функции, то $K_{\mu}^+ = K_{\mu}^-$ и система (16) дает m уравнений для определения m неизвестных функций $K_{\mu}^+(x, t)$, $\mu = 0, m-1$. Это система уравнений при каждом фиксированном $x \in (0, \infty)$ имеет единственное решение. Таким образом, имеет место

Теорема 4. Если $r_{\mu s}(x)$ — вещественные функции, пучок не имеет собственных значений и спектральных особенностей, то по матрице рассеяния $S(\lambda)$ уравнение (1) определяется единственным образом.

Литература

1. Марченко В. А. Операторы Штурма — Лиувилля и их приложения. — Киев: Наукова думка, 1977, с. 332.
2. Левитан Б. М. Обратная задача оператора Штурма — Лиувилля. — М.: Наука, 1984.
3. Гасимов И. Г., Магеррамов А. М. О существовании операторов преобразования для дифференциальных уравнений высокого порядка, полиномиально зависящих от параметра. — Докл. АН СССР, 1977, т. 235, № 2, с. 259—262.
4. Гасимов М. Г., Магеррамов А. М. Исследование одного класса дифференциальных операторных пучков четного порядка. — Докл. АН СССР, 1982, т. 265, № 2, с. 277—280.

АГУ им. С. М. Кирова

Поступило 5. I 1987

М. К. Гасимов, Э. М. Мәһәррәмов

АДИ ДИФЕРЕНЦИАЛ ОПЕРАТОРЛАР ДӘСТӘСИ ҮЧҮН СӘПИЛМӘ НЭЗЭРИЈӘСИННИН ТӘРС МӘСӘЛӘСИННИН ҲӘЛЛИНИН ЈЕКАНӘЛИЈИ ҲАГГЫНДА

Мәғалә спектрал параметрә нәзәрән полиномиал әмсаллы кенеш синиф ади д и ф е р е н с и а л о п е р а т о р л а р ү ч ү н с ә п и л м ә н э з э р и ј ә с и н н и н д ү з в ә т ә р с м ә с ә л ә л ә р и н ә н ә с р е д и я л и ш д и р.

M. G. Gasimov, A. M. Magerramov CONCERNING THE SINGULARITY OF SOLUTION OF DISPERSION THEORY OF THE REVERSE TASK FOR BUNCHES OF THE GENERAL DIFFERENTIAL OPERATORS

The article is devoted to the investigation of the straight and reverse task of the dispersion theory for a wide class of general differential operators with polynomial coefficients relatively to the spectrum parameter.

УДК 517.956

МАТЕМАТИКА

В. М. МИРЗОЕВ

О ГРАНИЧНЫХ И НАЧАЛЬНЫХ ЗНАЧЕНИЯХ РЕШЕНИЙ ПАРАБОЛИЧЕСКОГО УРАВНЕНИЯ ВТОРОГО ПОРЯДКА С РАЗРЫВНЫМИ КОЭФФИЦИЕНТАМИ

(Представлено академиком АН Азербайджанской ССР Ф. Г. Максудовым.)

Пусть Q — область n -мерного пространства R_n ($x = (x_1, \dots, x_n)$ — точка в R_n), граница которой ∂Q ($n-1$ -мерная замкнутая поверхность без края класса C^2), Q_δ — подмножество Q :

$$Q_\delta = Q \cap \left\{ \min_{y \in \partial Q} |x - y| > \delta \right\}.$$

Как известно [1], существует такое малое число $\delta_0 > 0$, что для всех $\delta \in (0, \delta_0)$ подмножество Q_δ является областью с границей ∂Q_δ класса C^2 , при этом для любой точки $x_0 \in \partial Q$ существует единственная точка поверхности ∂Q_δ , отстоящая от точки x_0 на расстояние, равное δ , т. е. $|x - y| = \delta$:

$$x_\delta = x_\delta(x_0) = x_0 - \delta \nu(x_0), \quad (1)$$

где $\nu(x_0)$ — вектор внешней по отношению к Q единичной нормали к ∂Q в точке x_0 . Соответствие (1) есть взаимно однозначное (с отличным от нуля якобианом) отображение класса C^1 ∂Q на ∂Q_δ .

Обозначим через Q^T цилиндр $Q^T = Q \times (0, T)$.

Пусть $x(\delta)$ — некоторая дифференцируемая, монотонно возрастающая функция на $(0, \delta_0)$, удовлетворяющая условиям:

$$x(0) = 0, \quad x(\delta_0) < \frac{T}{2}.$$

Введем следующие функциональные пространства: $L_{2,1}^2(Q^T)$ — множество функций, получающееся в результате пополнения $C^\infty(\overline{Q^T})$ по норме:

$$\|f\|_{L_{2,1}^2(Q^T)} = \|f\|_{L_2(Q_\delta \times (x(\delta_0), T^T))} + \int_0^{\delta_0} \mu \|f\|_{L_2(\partial Q_\mu \times (x(\mu), T^T))} d\mu + \\ + \int_0^{\delta_0} \left[\int_{Q_\mu} f^2(x, x(\delta)) r(x) dx \right]^{\frac{1}{2}} d\mu;$$

$L_2(r, Q)$ — множество функций, получающееся в результате пополнения множества $C^\infty(\overline{Q})$ по норме:

$$\|v\|_{L_2(r, Q)} = \left(\int_Q v^2 r(x) dx \right)^{\frac{1}{2}};$$

$L_{\frac{n}{2}, 1}^n(Q^T)$ — множество функций, получающееся в результате пополнения множества $C^\infty(\overline{Q^T})$ по норме:

$$\|w\|_{L_{\frac{n}{2}, 1}^n(Q^T)} = \text{vrg} \max_{0 < t < T} \|w\|_{L_{\frac{n}{2}}^n(Q)}, \quad \theta > 1.$$

Рассмотрим в Q^T линейное параболическое уравнение

$$\frac{\partial u}{\partial t} - \sum_{i,j=1}^n \frac{\partial}{\partial x_j} \left(a_{ij}(x, t) \frac{\partial u}{\partial x_i} \right) + \sum_{i=1}^n b_i(x, t) \frac{\partial u}{\partial x_i} + c(x, t) u = f(x, t) \quad (2)$$

с вещественными коэффициентами

$$a_{ij}; \frac{\partial a_{ij}}{\partial t}; \frac{\partial a_{ij}}{\partial x_1} \in L_\infty(Q^T); \quad \sum_{i=1}^n b_i^2, c \in L_{\frac{n}{2}, 1}^n(Q^T). \quad (3)$$

Для $\forall \xi = (\xi_1, \dots, \xi_n)$ и для всех $(x, t) \in Q^T$ существует такая постоянная $\gamma > 0$, что

$$\gamma^{-1} |\xi|^2 \leq \sum_{i,j=1}^n a_{ij} \xi_i \xi_j \leq \gamma |\xi|^2. \quad (4)$$

Правая часть $f(x, t)$ уравнения (2) принадлежит пространству

$$L_{2, \text{loc}}(Q^T) \cap L_{2,1}^2(Q^T).$$

Будем считать, что $u(x, t)$ является обобщенным из $W_{2, \text{loc}}^{1,0}(Q^T)$ решением уравнения (2), если $u(x, t) \in W_{2, \text{loc}}^{1,0}(Q^T)$ для всех финитных в Q^T функций $v(x, t) \in W_2^1(Q^T)$ удовлетворяет интегральному тождеству

$$\int_0^T \int_Q \left(-uv_t + \sum_{i,j=1}^n a_{ij} u_{x_i} v_{x_j} + \sum_{i=1}^n b_i u_{x_i} v + cuv \right) dx dt = \int_0^T \int_Q f v dx dt. \quad (5)$$

Определение 1. Будем говорить, что функция $u(x, t)$ принадлежит классу H_2 , если для $\forall T' \in \left(\frac{T}{2}, T\right)$ функция

$$M(\delta) = \max_{\delta < \mu < \delta_0} \left[\int_{x(\mu)}^T \int_{\partial Q_\mu} u^2 ds_\mu dt + \int_{Q_\mu} u^2(x, x(\mu)) (r - \mu) dx \right]$$

ограничена на $(0, \delta_0]$, т. е. если

$$\sup_{0 < \delta < \delta_0} M(\delta) < \infty.$$

Теорема 1. Для того чтобы обобщенное из $W_{2, \text{loc}}^{1,0}(Q^T)$ решение уравнения (2) с коэффициентами, удовлетворяющими условиям (3), (4) и с правой частью $f(x, t) \in L_{2, \text{loc}}(Q^T) \cap L_{2,1}^2(Q^T)$ принадле-

жало классу H_2 , необходимо и достаточно, чтобы для любого $T' \in \left(\frac{T}{2}, T\right)$ выполнялось неравенство

$$\int_0^T \int_Q |\nabla_x u|^2 r(x) dx dt < \infty. \quad (6)$$

Определение 2. Будем говорить, что функция $u(x, t) \in W_{2, \text{loc}}^{2,1}(Q^T)$ принимает граничное значение

$$u|_{\partial Q \times (0, T)} = \varphi(x, t), \quad \varphi \in L_2(\partial Q \times (0, T)) \quad (7)$$

в смысле L_2 , если для $\forall T' \in \left(\frac{T}{2}, T\right)$

$$\lim_{\delta \rightarrow 0} \int_{x(\delta)}^{T'} \int_{\partial Q_\delta} |u(x, x(\delta), t) - \varphi(x, t)|^2 ds dt = 0. \quad (8)$$

Будем также говорить, что функция $u(x, t) \in W_{2, \text{loc}}^{2,1}(Q^T)$ принимает начальное значение

$$u|_{t=0} = u_0(x), \quad u_0(x) \in L_2(r, Q) \quad (9)$$

в смысле L_2 с весом $r(x)$, если

$$\lim_{\delta \rightarrow 0} \int_{Q_\delta} |u(x, x(\delta)) - u_0(x)|^2 r(x) dx = 0. \quad (10)$$

Определение 3. Функция $u(x, t)$ является обобщенным из $W_{2, \text{loc}}^{1,0}(Q^T)$ решением задачи (2), (7), (9), если она является обобщенным из $W_{2, \text{loc}}^{1,0}(Q^T)$ решением уравнения (2), удовлетворяет граничному условию (7) в смысле L_2 и начальному условию (9) в смысле L_2 с весом $r(x)$.

Теорема 2. При любых функциях $\varphi(x, t) \in L_2(\partial Q \times (0, T))$, $u_0(x) \in L_2(r, Q)$ и любой функции $f(x, t) \in L_{2, \text{loc}}(Q^T) \cap L_{2,1}^2(Q^T)$ первая смешанная задача (2), (7), (9) имеет обобщенное из $W_{2, \text{loc}}^{1,0}(Q^T)$ решение. Это решение единственно и для него справедлива оценка

$$\begin{aligned} & \int_0^T \int_Q |\nabla_x u|^2 r(x) dx dt + \max_{0 < \delta < \delta_0} \left[\int_{x(\delta)}^T \int_{\partial Q_\delta} u^2 ds_\delta dt + \int_{Q_\delta} u^2(x, x(\delta)) (r - \delta) dx \right] + \int_0^T \int_Q u^2 r(x) dx dt < \\ & \leq C_1 \left[\|f\|_{L_{2,1}^2(Q^T)}^2 + \|\varphi\|_{L_2(\partial Q \times (0, T))}^2 + \|u_0\|_{L_2(r, Q)}^2 \right] \end{aligned}$$

с постоянной C_1 , зависящей только от коэффициентов уравнения (2).

Определение 4. Будем говорить, что функция $u(x, t) \in W_{2, \text{loc}}^{2,1}(Q^T)$ имеет предел в смысле L_2 на боковую поверхность цилиндра если существует такая функция $\varphi(x, t) \in L_2(\partial Q \times (0, T))$, $\forall T' \in \left(\frac{T}{2}, T\right)$, что для нее справедливо равенство (8).

Будем также говорить, что функция $u(x, t) \in W_{2, \text{loc}}^{2,1}(Q^T)$ имеет предел в смысле L_2 с весом $r(x)$ при $t \rightarrow +0$, если существует такая функция $u_0(x) \in L_2(r, Q)$, что для нее справедливо равенство (10).

$L_{\frac{n}{2}, 1}^1(Q^T)$ — множество функций, получающееся в результате пополнения множества $C^\infty(\overline{Q^T})$ по норме:

$$\|w\|_{L_{\frac{n}{2}, 1}^1(Q^T)} = \text{vrg} \max_{0 < t < T} \|w\|_{L_{\frac{n}{2}, 0}^1(Q)}, \quad \theta > 1.$$

Рассмотрим в Q^T линейное параболическое уравнение

$$\frac{\partial u}{\partial t} - \sum_{i,j=1}^n \frac{\partial}{\partial x_j} \left(a_{ij}(x, t) \frac{\partial u}{\partial x_i} \right) + \sum_{i=1}^n b_i(x, t) \frac{\partial u}{\partial x_i} + c(x, t) u = f(x, t) \quad (2)$$

с вещественными коэффициентами

$$a_{ij}; \frac{\partial a_{ij}}{\partial t}; \frac{\partial a_{ij}}{\partial x_i} \in L_\infty(Q^T); \quad \sum_{i=1}^n b_i^2, c \in L_{\frac{n}{2}, 1}^1(Q^T). \quad (3)$$

Для $\forall \xi = (\xi_1, \dots, \xi_n)$ и для всех $(x, t) \in Q^T$ существует такая постоянная $\gamma > 0$, что

$$\gamma^{-1} |\xi|^2 < \sum_{i,j=1}^n a_{ij} \xi_i \xi_j < \gamma |\xi|^2. \quad (4)$$

Правая часть $f(x, t)$ уравнения (2) принадлежит пространству

$$L_{2, \text{loc}}(Q^T) \cap L_{2, 1}^1(Q^T).$$

Будем считать, что $u(x, t)$ является обобщенным из $W_{2, \text{loc}}^{1, 0}(Q^T)$ решением уравнения (2), если $u(x, t) \in W_{2, \text{loc}}^{1, 0}(Q^T)$ для всех финитных в Q^T функций $\tau(x, t) \in \dot{W}_2^1(Q^T)$ удовлетворяет интегральному тождеству

$$\int_0^T \int_Q \left(-u v_t + \sum_{i,j=1}^n a_{ij} u_{x_i} v_{x_j} + \sum_{i=1}^n b_i u_{x_i} v + c u v \right) dx dt = \int_0^T \int_Q f v dx dt. \quad (5)$$

Определение 1. Будем говорить, что функция $u(x, t)$ принадлежит классу H_2 , если для $\forall T' \in \left(\frac{T}{2}, T\right)$ функция

$$M(\delta) = \max_{\delta < \mu < \delta_0} \left[\int_{x(\mu)}^T \int_{\partial Q_\mu} u^2 ds_\mu dt + \int_{Q_\mu} u^2(x, x(\mu)) (r - \mu) dx \right]$$

ограничена на $(0, \delta_0]$, т. е. если

$$\sup_{0 < \delta < \delta_0} M(\delta) < \infty.$$

Теорема 1. Для того чтобы обобщенное из $W_{2, \text{loc}}^{1, 0}(Q^T)$ решение уравнения (2) с коэффициентами, удовлетворяющими условиям (3), (4) и с правой частью $f(x, t) \in L_{2, \text{loc}}(Q^T) \cap L_{2, 1}^1(Q^T)$ принадле-

жало классу H_2 , необходимо и достаточно, чтобы для любого $T' \in \left(\frac{T}{2}, T\right)$ выполнялось неравенство

$$\int_0^{T'} \int_Q |\nabla_x u|^2 r(x) dx dt < \infty. \quad (6)$$

Определение 2. Будем говорить, что функция $u(x, t) \in W_{2, \text{loc}}^{2, 1}(Q^T)$ принимает граничное значение

$$u|_{\partial Q \times (0, T)} = \varphi(x, t), \quad \varphi \in L_2(\partial Q \times (0, T)) \quad (7)$$

в смысле L_2 , если для $\forall T' \in \left(\frac{T}{2}, T\right)$

$$\lim_{\delta \rightarrow 0} \int_{x(\delta)}^{T'} \int_{\partial Q} |u(x, x(\delta), t) - \varphi(x, t)|^2 ds dt = 0. \quad (8)$$

Будем также говорить, что функция $u(x, t) \in W_{2, \text{loc}}^{2, 1}(Q^T)$ принимает начальное значение

$$u|_{t=0} = u_0(x), \quad u_0(x) \in L_2(r, Q) \quad (9)$$

в смысле L_2 с весом $r(x)$, если

$$\lim_{\delta \rightarrow 0} \int_{Q_\delta} |u(x, x(\delta)) - u_0(x)|^2 r(x) dx = 0. \quad (10)$$

Определение 3. Функция $u(x, t)$ является обобщенным из $W_{2, \text{loc}}^{1, 0}(Q^T)$ решением задачи (2), (7), (9), если она является обобщенным из $W_{2, \text{loc}}^{1, 0}(Q^T)$ решением уравнения (2), удовлетворяет граничному условию (7) в смысле L_2 и начальному условию (9) в смысле L_2 с весом $r(x)$.

Теорема 2. При любых функциях $\varphi(x, t) \in L_2(\partial Q \times (0, T))$, $u_0(x) \in L_2(r, Q)$ и любой функции $f(x, t) \in L_{2, \text{loc}}(Q^T) \cap L_{2, 1}^1(Q^T)$ первая смешанная задача (2), (7), (9) имеет обобщенное из $W_{2, \text{loc}}^{1, 0}(Q^T)$ решение. Это решение единственно и для него справедлива оценка

$$\int_0^T \int_Q |\nabla_x u|^2 r(x) dx dt + \max_{0 < \delta < \delta_0} \left[\int_{x(\delta)}^T \int_{\partial Q_\delta} u^2 ds_\delta dt + \int_{Q_\delta} u^2(x, x(\delta)) (r - \delta) dx \right] + \int_0^T \int_Q u^2 r(x) dx dt < < C_1 \left[\|f\|_{L_{2, 1}^1(Q^T)}^2 + \|\varphi\|_{L_2(\partial Q \times (0, T))}^2 + \|u_0\|_{L_2(r, Q)}^2 \right]$$

с постоянной C_1 , зависящей только от коэффициентов уравнения (2).

Определение 4. Будем говорить, что функция $u(x, t) \in W_{2, \text{loc}}^{2, 1}(Q^T)$ имеет предел в смысле L_2 на боковую поверхность цилиндра если существует такая функция $\varphi(x, t) \in L_2(\partial Q \times (0, T))$, $\forall T' \in \left(\frac{T}{2}, T\right)$, что для нее справедливо равенство (8).

Будем также говорить, что функция $u(x, t) \in W_{2, \text{loc}}^{2, 1}(Q^T)$ имеет предел в смысле L_2 с весом $r(x)$ при $t \rightarrow +0$, если существует такая функция $u_0(x) \in L_2(r, Q)$, что для нее справедливо равенство (10).

Теорема 3. Если обобщенное из $W_{2,loc}^{1,0}(Q^T)$ решение $u(x, t)$ уравнения (2) с коэффициентами, удовлетворяющими условиям (3), (4), и с правой частью $f(x, t) \in L_{2,loc}(Q^T) \cap L_{2,1}^1(Q^T)$ принадлежит классу H_2 , то оно имеет предел на боковую поверхность в смысле L_2 и предел при $t \rightarrow +0$ в смысле L_2 с весом $r(x)$.

Замечание. Из теорем 3 и 1 вытекает, что следующие условия эквивалентны:

- 1) $u(x, t)$ принадлежит классу H_2 ;
- 2) существуют такие функции $\varphi(x, t) \in L_2(\partial Q \times (0, T))$, $\forall T' \in (\frac{T}{2}, T)$ и $u_0(x) \in L_2(r, Q)$, что имеет место равенство (8) и (10);
- 3) выполнение условия (6).

Аналогичные задачи для эллиптических уравнений исследованы в [1]—[4], для параболических уравнений с гладкими коэффициентами — в [5], с разрывными коэффициентами в звездных областях — в [6].

Литература

1. Михайлов В. П. — Матем. сб., 1976, 101 (143), с. 163—188.
2. Михайлов В. П. — Дифференц. уравнения, 1976, 12, 1877—1891.
3. Гуцин А. К., Михайлов В. П. — Матем. сб., 1979, 108 (150), с. 3—21.
4. Михайлов Ю. А. — Дифференц. уравнения, 1983, т. 19, № 2, с. 318—521.
5. Петрушко И. М. — Матем. сб., 1984, 125 (167), № 4, с. 489—521.
6. Мирзоев В. М. Матер. VI Республ. конф. молодых ученых ИММ АН АзССР, посвящ. 40-летию Победы (Баку, 6—8 мая 1985 г.): Математика. — Баку, 1985, с. 149—154.

ИММ АН АзССР

Поступило 10. IX 1986

В. М. Мирзоев

КЭСИЛЭН ЭМСАЛЛЫ ПАРАБОЛИК ТЭНЛИКЛЭРИН БАШЛАНҒЫЧ ВЭ СЭРҒЭД ГИМЭТЛЭРИ

Мәгәләдә кичик тәртибли төрәмәләринин гаршысындагы эмсаллары L_q типли, фәзалара дахил олан икинчи тәртиб параболик тәндийи һәллинин $Q^T = Q \times (0, T)$ цилиндрик областынын јан сәтһи үзәриндә L_2 мәнада, ашағы отурачағында исә L_2 чәкили мәнада лимитинин варлығы үчүн зәрури вә кафи шәртләр тапылмышдыр.

V. M. Mirzoev

ON BOUNDARY AND INITIAL VALUES OF SOLUTIONS OF SECOND ORDER PARABOLIC EQUATION WITH DISCONTINUOUS COEFFICIENTS

In the article the author establishes the necessary and sufficient conditions for the existence of the limit in L_2 of solutions of the second order parabolic equations in tube domain $Q^T = Q \times (0, T)$ on lateral surface and the limit in L_2 with the weight on lower surface of the cylinder, when coefficients belong to the space of type L_q under the lowest derivatives of equation.

УДК 517. 043

МАТЕМАТИКА

М. Б. ИСКЕНДЕРОВА

О СУММИРУЕМОСТИ ПО АБЕЛЮ РАЗЛОЖЕНИЙ ПО СОБСТВЕННЫМ ФУНКЦИЯМ ДИФФЕРЕНЦИАЛЬНЫХ ПУЧКОВ ЧЕТВЕРТОГО ПОРЯДКА

(Представлено академиком АН Азербайджанской ССР Ф. Г. Максудовым)

Рассмотрим следующую краевую задачу:

$$l(y, \lambda) = y^{IV} + p_1 \lambda y''' + p_2 \lambda^2 y'' + p_3 \lambda^3 y' + p_4 \lambda^4 y = 0, \quad (1)$$

$$y(0) = y'(0) = y(1) = y'(1) = 0, \quad (2)$$

где p_i ($i = 1, 4$) — комплексные числа. Пусть L — оператор, порожденный дифференциальным выражением (1) и краевыми условиями (2). Спектральные свойства задач с подобным вхождением параметра в дифференциальное выражение $l(y, \lambda)$ определяются не только типом краевых условий (2), но и коэффициентами p_i , а именно: при краевых условиях (2) в зависимости от p_i задача может оказаться как регуляриной (по Тамаркину) [1], так и нерегулярной.

В предлагаемой статье в случае простых корней характеристического многочлена

$$\kappa^4 + p_1 \kappa^3 + p_2 \kappa^2 + p_3 \kappa + p_4 = 0 \quad (3)$$

дан ответ на вопрос о суммируемости по Абелю рядов по системе собственных функций (с. с. ф.) задачи (1, 2).

Пусть $\kappa_j = \alpha_j + i\beta_j$, ($j = 1, 4$) — корни характеристического многочлена (3) и расположены следующим образом:

$$1. \quad \alpha_1, \alpha_2, \beta_1, \beta_2 \geq 0; \quad \alpha_3, \alpha_4, \beta_3, \beta_4 < 0.$$

Обозначим

$$\lambda = |R| \exp(i\varphi); \quad \kappa_j = |\tau_j| \exp(i\varphi_j).$$

Рассмотрим вначале случай

$$\arctg \frac{\alpha_1}{\beta_1} < \arctg \frac{\alpha_4}{\beta_4}; \quad \arctg \left| \frac{\alpha_3}{\beta_3} \right| < \arctg \left| \frac{\alpha_2}{\beta_2} \right|. \quad (4)$$

Введем в рассмотрение сектора

$$S_1: \left\{ \varphi \mid -\arctg \left| \frac{\alpha_3}{\beta_3} \right| \leq \varphi \leq \arctg \frac{\alpha_1}{\beta_1} \right\};$$

$$S_2: \left\{ \varphi \mid \arctg \frac{\alpha_4}{\beta_4} \leq \varphi \leq \pi - \arctg \left| \frac{\alpha_2}{\beta_2} \right| \right\};$$

$$S_3 = R_0^c(S_1), \quad S_4 = R_0^c(S_2);$$

$$S'_1: \left\{ \varphi \mid \arctg \frac{\alpha_1}{\beta_1} \leq \varphi < \arctg \left(\frac{\alpha_1 + |\alpha_4|}{\beta_1 + |\beta_4|} \right) \right\};$$

$$S_2' : \left\{ \varphi \mid \arctg \left(\frac{\alpha_1 + |\alpha_1|}{\beta_1 + |\beta_1|} \right) < \varphi < \arctg \frac{\alpha_4}{\beta_4} \right\};$$

$$S_3' : \left\{ \varphi \mid \pi - \arctg \left| \frac{\alpha_2}{\beta_2} \right| < \varphi < \pi - \arctg \left(\frac{\alpha_2 + |\alpha_3|}{|\beta_1| + \beta_3} \right) \right\};$$

$$S_4' : \left\{ \varphi \mid \pi - \arctg \left(\frac{\alpha_2 + |\alpha_3|}{|\beta_2| + \beta_3} \right) < \varphi < \pi - \arctg \left| \frac{\alpha_3}{\beta_3} \right| \right\};$$

$$S_i' = R_0^\pi(S_i'), \quad i = \overline{1, 4},$$

где R_0^π означает поворот вокруг начала координат на угол π . Имеет место следующая

Лемма 1. Функция Грина задачи (1, 2) допускает оценку

$$|G(x, \xi, \lambda)| < \frac{K_2}{|\lambda|^3} \quad (5)$$

в секторах S_i ($i = \overline{1, 4}$) для любых $x, \xi \in [0; 1]$ вне δ -окрестности спектра и имеет вид

$$G(x, \xi, \lambda) = G_1(x, \xi, \lambda) + G_2(x, \xi, \lambda),$$

где

$$|G_1(x, \xi, \lambda)| < \frac{K_3}{|\lambda|^3},$$

а

$$G_2(x, \xi, \lambda) = \begin{cases} \frac{A_1 \exp(\lambda \kappa_1(x - \xi))}{\lambda^3}, & \lambda \in S_1', S_1'' \\ \frac{A_2 \exp(\lambda \kappa_2(x - \xi))}{\lambda^3}, & \lambda \in S_2', S_2'' \\ \frac{A_3 \exp(\lambda \kappa_3(x - \xi))}{\lambda^3}, & \lambda \in S_3', S_3'' \\ \frac{A_4 \exp(\lambda \kappa_4(x - \xi))}{\lambda^3}, & \lambda \in S_4', S_4'' \end{cases}$$

где $A_i \neq 0$ — числа, зависящие от K_i .

Если одно или оба из неравенств (4) не выполнены, то при определении границ секторов S_i следует поменять местами $\frac{\alpha_1}{\beta_1}$ и $\frac{\alpha_4}{\beta_4}$, $\frac{\alpha_2}{\beta_2}$ и $\frac{\alpha_3}{\beta_3}$. Тем самым случай 1 рассмотрен полностью.

Следствие 1. Для того чтобы задача (1, 2) была регулярна, достаточно, чтобы векторы $\vec{\kappa}_1$ и $\vec{\kappa}_4$, $\vec{\kappa}_2$ и $\vec{\kappa}_3$ были противоположно направлены

и 2. Пусть $\alpha_1, \alpha_2, \alpha_3, \alpha_4, \beta_1, \beta_2, \beta_3, \beta_4 > 0$; $\beta_2, \beta_4 < 0$

$$\arctg \frac{\alpha_1}{\beta_1} > \arctg \frac{\alpha_3}{\beta_3}; \quad \arctg \left| \frac{\alpha_4}{\beta_4} \right| > \arctg \left| \frac{\alpha_2}{\beta_2} \right|. \quad (6)$$

12

Введем следующие сектора:

$$S_1 : \left\{ \varphi \mid \arctg \frac{\alpha_1}{\beta_1} < \varphi < \pi - \arctg \left| \frac{\alpha_4}{\beta_4} \right| \right\};$$

$$S_2 = R_0^\pi(S_1);$$

$$S_1' : \left\{ \varphi \mid 0 < \varphi < \arctg \frac{\alpha_3}{\beta_3} \right\};$$

$$S_2' : \left\{ \varphi \mid \arctg \frac{\alpha_3}{\beta_3} < \varphi < \arctg \frac{\alpha_1}{\beta_1} \right\};$$

$$S_3' : \left\{ \varphi \mid 2\pi - \arctg \left| \frac{\alpha_4}{\beta_4} \right| < \varphi < 2\pi - \arctg \left| \frac{\alpha_2}{\beta_2} \right| \right\};$$

$$S_4' : \left\{ \varphi \mid 2\pi - \arctg \left| \frac{\alpha_2}{\beta_2} \right| < \varphi < 2\pi \right\};$$

$$S_i' = R_0^\pi(S_i'), \quad i = \overline{1, 4}.$$

Имеет место

Лемма 2. Функция Грина задачи (1, 2) допускает оценку (5) в секторах S_i , S_2 , для любых $x, \xi \in [0; 1]$ вне δ -окрестности спектра и имеет вид

$$G(x, \xi, \lambda) = G_1(x, \xi, \lambda) + G_2(x, \xi, \lambda),$$

где

$$|G_1(x, \xi, \lambda)| < \frac{K_4}{|\lambda|^3}.$$

а

$$G_2(x, \xi, \lambda) = \begin{cases} \frac{A_1 \exp(\lambda \kappa_2(x - \xi))}{\lambda^3}, & \lambda \in S_3', S_3'' \\ \frac{A_2 \exp(\lambda \kappa_4(x - \xi))}{\lambda^3}, & \lambda \in S_4', S_4'' \\ \frac{A_3 \exp(\lambda \kappa_1(x - \xi))}{\lambda^3}, & \lambda \in S_2', S_2'' \\ \frac{A_4 \exp(\lambda \kappa_3(x - \xi))}{\lambda^3}, & \lambda \in S_1', S_1'' \end{cases}$$

где $A_i \neq 0$ — числа, зависящие от κ_i .

Если неравенства (6) не выполняются, то при определении границ секторов S_1 , S_2 следует поменять местами $\frac{\alpha_1}{\beta_1}$ и $\frac{\alpha_3}{\beta_3}$, $\frac{\alpha_2}{\beta_2}$ и $\frac{\alpha_4}{\beta_4}$.

Следствие 2. Для того чтобы задача (1, 2) была регулярна, достаточно, чтобы корни характеристического многочлена (3) были чисто мнимы и два из них располагались в верхней полуплоскости.

3. Пусть $\alpha_1, \alpha_2, \alpha_3, \beta_1, \beta_2, \beta_3, \beta_4 > 0$, $\alpha_4 \leq 0$. В этом случае верен результат, аналогичный случаю 2, где вместо S_1 и S_2 следует брать соответственно \tilde{S}_1 и \tilde{S}_2 , где

$$\tilde{S}_1 : \left\{ \varphi \mid \arctg \frac{\alpha_1}{\beta_1} < \varphi < \pi - \arctg \left| \frac{\alpha_4}{\beta_4} \right| \right\};$$

13

$$\operatorname{arctg} \frac{\alpha_1}{\beta_1} \geq \operatorname{arctg} \frac{\alpha_2}{\beta_2} \geq \operatorname{arctg} \frac{\alpha_3}{\beta_3}.$$

Замечание. Отметим, что преобразование $\mu = \lambda e^{i\theta}$ сводит к ситуации 1—3 произвольное расположение корней k_i , допускающее существование прямой d , проходящей через начало координат так, что в ограничиваемых ею полуплоскостях расположено одинаковое число k_i , где $\theta = (d, Oy)$.

Если с. с. ф. $\{y_i\}_{i=1}^{\infty}$ задачи (1, 2) 4-кратно полна в пространстве $L_2 [0; 1] [2]$, то возникает вопрос о сходимости разложений по этой системе. В случае, когда задача (1, 2) регулярна, имеет место равномерная сходимость ряда по с. с. ф. этой задачи к самой функции. В нерегулярном случае верна

Теорема. Для произвольной функции из области определения оператора L соответствующий ряд по с. с. ф. этого оператора суммируем методом Абеля порядка q к самой функции, где

$$1 < q \leq \frac{\pi}{2\psi_1}.$$

Доказательство проводится с использованием техники Костюченко—Шкаликова [3] и соответствующих оценок функции Грина.

Литература

1. Тамаркин Я. Д. О некоторых общих задачах теории обыкновенных дифференциальных уравнений и разложений произвольных функций в ряды. — Пр., 1917.
2. Вагабов А. И. — Дифференц. уравнения, 1982, т. 18, № 2, с. 194—205.
3. Костюченко А. Г., Шкаликов А. А. — Функцион. анализ и его приложения, 1978, вып. 4, № 12, с. 24—40.

ИММ АН АзССР

Поступило 3. XI 1986

М. Б. Искандерова

4 ТЭРТИБЛИ ДИФЕРЕНЦИАЛ ДЭСТЭНИН МЭХСУСИ ФУНКЦИЈАЛАРЫ
УЗРЭ АЈРЫЛЫШЫН АБЕЛ МЭНАДА ЈЫГЫЛМАСЫ

Мағаләдә штурм типли сәрһәд шәрһләрини өдәјән 4 тәртибли дифференциал дэстәни мэхсуси функцијалар узрә ајрылышы Абел мәнәдә јыгылмасы вә һәмин мәсәләни релујарлығы тәдгиг едилди.

M. B. Iskenderova

ON SUMMING BY ABEL OF SERIES OF OWN FUNCTIONS
OF THE 4TH ORDER DIFFERENTIAL BUNCHES

The summing by Abel of series of own functions for the 4th order differential bunches with Sturm conditions was studied.

УДК 539.3

МЕХАНИКА

Р. Ю. АМЕНЗАДЕ, М. Б. АХУНДОВ, С. А. МАМЕДОВ

ВЛИЯНИЕ ИНЕРЦИИ ПОПЕРЕЧНОГО ДВИЖЕНИЯ НА
КОЛЕБАНИЕ НАСЛЕДСТВЕННО-УПРУГОГО СТЕРЖНЯ

(Представлено академиком АН Азербайджанской ССР И. И. Ибрагимовым)

Сложность анализа точных уравнений колебаний цилиндрических стержней вызвала появление различного рода приближенных теорий. Наиболее простейшим вариантом является теория, основанная на уравнении Рэлея, в котором наряду с гипотезой плоских сечений учитывается инерция поперечного движения элементов стержня [1]:

$$\rho \frac{\partial^2 u}{\partial t^2} = \frac{\rho a^2 v^2}{2} \frac{\partial^4 u}{\partial x^2 \partial t^2} + E \frac{\partial^2 u}{\partial x^2}. \quad (1)$$

Здесь u —предельное смещение, ρ —плотность, a —радиус, v —коэффициент Пуассона, E —модель Юнга.

На основании принципа соответствия Вольтерра—Работнова, используя алгебру резольвентных операторов [2] для наследственного упругого стержня, получим следующий аналог уравнения (1):

$$\frac{\rho}{E_0} (1 + \mu K^*) \frac{\partial^2 u}{\partial t^2} = \frac{\rho a^2 v_0^2}{E_0} \left[1 - \frac{(1 - 2\nu_0)^2}{4\nu_0^2} \mu \Gamma^* (\gamma) + \right. \\ \left. + \frac{\mu}{4\nu_0^2} \Gamma^* (\gamma + \mu) \right] \frac{\partial^4 u}{\partial x^2 \partial t^2} + \frac{\partial^2 u}{\partial x^2}, \quad (2)$$

где K^* —оператор ползучести

$$K^* f = \int_{-\infty}^t K(t-\tau) f(\tau) d\tau,$$

а Γ^* —его резольвентный оператор; в свою очередь, постоянные μ и γ —параметры операторов K^* и Γ^* .

Если за ядро ползучести принять слабосингулярное ядро Абеля тогда уравнение движения (2) примет вид:

$$\frac{\rho}{E_0} (1 + \beta I_a^*) \frac{\partial^2 u}{\partial t^2} = \frac{\rho a^2 v_0^2}{E_0^2} \left[1 - \frac{(1 - 2\nu_0)^2}{4\nu_0^2} \beta \mathfrak{A}_2^* (-\beta) + \right. \\ \left. + \frac{\beta}{4\nu_0^2} I_a^* \right] \frac{\partial^4 u}{\partial x^2 \partial t^2} + \frac{\partial^2 u}{\partial x^2}. \quad (3)$$

Здесь

$$I_n(t) = \frac{t^{-\alpha}}{\Gamma(1-\alpha)}; \quad \mathcal{E}_\alpha(-\beta, t) = t^{-\alpha} \sum_{n=0}^{\infty} \frac{(-1)^n \beta^n t^{n(1-\alpha)}}{\Gamma[(n+1)(1-\alpha)]}, \quad (4)$$

$$0 \leq \alpha < 1; \quad \beta > 0$$

где $\Gamma(n)$ — гамма-функция Эйлера.

Рассмотрим продольные колебания стержня конечной длины. Пусть на левом торце стержня заданы гармонические колебания амплитудой u_0 и частотой ω , правый же торец свободен от усилий. В этом случае граничные условия для функции перемещения имеют вид:

$$u_0(0, t) = u_1 \cos \omega t; \quad \left. \frac{\partial u(x, t)}{\partial x} \right|_{x=l} = 0. \quad (5)$$

Таким образом, приходим к необходимости решения уравнения (3) с граничными условиями (5). Поиск решения уравнения (3) с граничными условиями (5) в виде гармонических волн при ядрах ползучести и релаксации (4) приводит к следующему выражению:

$$\frac{u(x, t)}{u_0} = R(x, \omega) \cos[\omega t - \varphi(x, \omega)], \quad (6)$$

где амплитуда $R(x, \omega)$ в безразмерных величинах

$$h = \frac{a}{l}; \quad \varepsilon = \frac{\beta}{\omega^{1-\alpha}}; \quad \lambda = \frac{\beta^{1-\alpha} \cdot l}{c_0}; \quad c_0^2 = \frac{E_0}{\rho}; \quad \xi = \frac{x}{l} \quad (7)$$

имеет вид:

$$R(\xi, \varepsilon) = \left\{ \frac{\operatorname{ch}[2p(1-\xi)] + \cos[2q(1-\xi)]}{\operatorname{ch} 2p + \cos 2q} \right\}^{1/2}, \quad (8)$$

где p и q — некоторые функции параметров $h, \nu_0, \lambda, \alpha, \varepsilon$, которые не приводятся здесь ввиду громоздкости их выражений.

С целью выяснения влияния параметров задачи на амплитуду колебания свободного торца стержня $\xi=1$ была проведена численная реализация при значениях $\lambda=0,4 \cdot 10^{-3}$; $\alpha=0,8$ для двух интервалов изменения безразмерной частоты ε : [0,2; 0,3] и [0,06; 0,15].

Влияние параметров неоднородности h , мгновенного значения коэффициента Пуассона ν_0 выяснялось путем сравнения соответствующих амплитудно-частотных характеристик, в частности, резонансных частот и соответствующих значений амплитуд колебаний.

Было обнаружено, что в интервале низких частот [0,2; 0,3] при $\nu_0=0,16$ для значений $h=0; 0,005; 0,01; 0,05; 0,1$ имеется лишь одна безразмерная резонансная частота $\varepsilon_p=0,1929$ (табл. 1), причем с увеличением h максимум значения амплитуды уменьшается незначительно, что говорит о малом вкладе первого слагаемого правой части уравнения (1), учитывающего инерцию поперечного движения элементов стержня. Как следует из табл. 1, с увеличением ν_0 вклад этого слагаемого растет и для $\nu_0=0,5$ становится порядка 5% для $h=0,1$.

С целью выяснения правомерности принятия коэффициента Пуассона константой была определена амплитудно-частотная характеристика для $h=0,01$ при $\nu_0=0,16$. Оказалось, что в отличие от случая, когда ν — оператор (табл. 1), для случая ν — константа $R_{\max}=952,3$, а $\varepsilon_p=0,1896$.

Это говорит о невозможности приближенного принятия коэффициента Пуассона ν константой.

На интервале [0,06; 0,15] численный счет был проведен для $h=0; 0,01; 0,1$ и $\nu_0=0,16$. Численный счет показал, что в отличие от предыду-

Таблица 1

		$\alpha=0,8; \lambda=0,4 \cdot 10^{-3}; \varepsilon \in [0,2; 0,3]$					
		h	0	0,005	0,01	0,05	0,01
$\nu_0=0,16$	R_{\max}		25,27	25,26	25,26	25,22	25,09
	$\varepsilon_{\text{рез}}$		0,1929	0,1929	0,1929	0,1929	0,1929
$\nu_0=0,5$	R_{\max}		—	—	25,26	—	23,98
	$\varepsilon_{\text{рез}}$		—	—	0,1929	—	0,1929
$\nu_0=0,3$	R_{\max}		—	—	25,26	—	—
	$\varepsilon_{\text{рез}}$		—	—	0,1929	—	—

щего интервала в малой области, прилегающей к $\varepsilon=0,1$, имеется большое число резонансных частот, а во всей остальной части интервала резонансных частот нет, здесь амплитуда монотонно возрастает. В табл. 2 сведены значения резонансных частот, в которых достигаются наи-

Таблица 2

		$\alpha=0,8; \gamma=0,4 \cdot 10^{-3}; \varepsilon \in [0,06; 0,1]$			
		h	0	0,01	0,1
$\nu_0=0,06$	R_{\max}		4,995	4,979	3,434
	$\varepsilon_{\text{рез}}$		0,1387	0,1387	0,1387

большие значения амплитуды колебаний. Из нее следует, что для h порядка 0,1 вклад неоднородности уже существенен и составляет не менее 30%. Так же как и в предыдущем случае интервала низкочастотных колебаний, здесь рассмотрен случай, когда коэффициент Пуассона ν — константа для $h=0,01$ и $\nu_0=0,16$. Сравнение с результатом для того же значения h и ν_0 при ν — оператор (табл. 2) показывает, что здесь резонансные частоты наблюдаются на всем интервале, а максимальное значение амплитуды $R_{\max}=74,6$ достигается при $\varepsilon_p=0,1374$, т. е. наблюдается увеличение амплитуды в 15 раз. Это, так же как и в предыдущем случае, говорит о неправомочности принятия коэффициента Пуассона константой.

Литература

1. Ляв А. Математическая теория упругости. — М. — Л: ОНТИ НКГП СССР, 1935.
2. Работнов Ю. Н. Элементы наследственной механики твердых тел. — М.: Наука, 1977.

АГУ им. С. М. Кирова

Поступило 3. XII 1986

Р. Ј. Әмәнзаде, М. Б. Ахундов, С. А. Мәмәдов
ЕНИНӘ ҺӘРӘКӘТ ӘТЛӘТИНИН ИРСИ-ЕЛАСТИКИ
ЧУБУГУН РӘГСИНӘ ТӘСИРИ

Мәгаләдә енинә һәрәкәтдә әтләти нәзәрә алараг, синлу уаулуға малик ирси-елас-тики чубугун мәчбури рәгсләри арашдырылып, Өзүлүк нүвәси олараг Абелин зәифсин-гулҗарлыг нүвәси гәбул едир.

Ғејри-бирчислилик параметри вә һәмчинини Пуассон әмсалы амплитуд-тезлиг ха-рактеристикаларында өзүнү көстәрир; хусусән резонанс тезлијинини мугәјисәсиндә вә чу-бугун учунун рәгсинини амплитудунун ујғун гиймәтиндә өзүнү көстәрир.

R. Yu. Amenzade, M. B. Ahundov, S. A. Mamedov

INFLUENCE OF THE CROSS MOTION INERTIA ON THE
VIBRATION OF THE INHERITEDLY-ELASTIC STICK

Forced oscillation of the inheritedly-elastic stick of end length with the cross motion inertia calculation of the stick's elements is researched.

As a creep kernel the Abel's kernel is taken. By the comparison of the amp- litude-frequency response the influence of the non-onedimensional parameter and Poisson coefficient is discovered.

УДК 621.315.592

ФИЗИКА ПОЛУПРОВОДНИКОВ

Акад. АН АзССР М. И. АЛИЕВ, М. А. ДЖАФАРОВА, А. А. ХАЛИЛОВА

ТЕПЛОПРОВОДНОСТЬ ТВЕРДЫХ РАСТВОРОВ
InSb—In₂Te₃

Наличие в структуре кристалла точечных дефектов, действие кото-рых распространяется на средний объем, занимаемый атомом, может вызывать изменение как межатомных сил, так и плотности. Практи-чески каждый тип дефектов вызывает одно или оба эти изменения. Теплопроводность кристаллов, содержащих точечные дефекты, ограни-чивается двумя видами рассеяния: ангармоническими процессами (про-цессы переброса и нормальные процессы) и дефектами.

Теория решеточной теплопроводности при наличии дефектов рас-сматривается в ряде работ при низких ($T < \Theta$, Θ — температура Дебая) и высоких ($T > \Theta$) температурах [1, 2]. Вклад точечных дефектов в рас-сеяние фононов зависит от их концентрации и температуры. В [1, 2] не учтено влияние нормальных трехфононных процессов (N -процессы) на теплопроводность решетки. В первом приближении эти процессы, про-исходящие с сохранением общего импульса, в отличие от U -процессов не могут непосредственно дать вклад в тепловое сопротивление. Однако N -процессы приводят к перераспределению импульса между фононами: длинноволновые фононы передают свой импульс коротковолновым, ко-торые эффективно рассеиваются на дефектах. Таким образом, косвенно, но в принципе очень сильно N -процессы могут влиять на теплопровод-ность решетки.

Роль N -процессов была учтена Парротом в [3] при анализе экспери-ментальных данных по теплопроводности сплавов Ge—Si.

В данной статье результаты исследования теплопроводности $(\text{InSb})_x - (\text{In}_2\text{Te}_3)_{1-x}$ ($0 \leq x \leq 0,15$) объясняются на основе теории рассеяния фононов на точечных дефектах с учетом N -процессов. Теплопроводность была измерена стационарным методом в области температур 100—500 К. В [4, 8] показано, что электронная доля тепло-проводности с учетом степени вырождения и механизма рассеяния элек-тронов в случае параболической зоны проводимости меняется в преде-лах 45÷28 % от общей теплопроводности при отмеченных выше зна-чениях x .

На рисунке представлена зависимость решеточной теплопровод-ности сплавов InSb—In₂Te₃ от их состава. Сильно уменьшаясь при вве-дении незначительного количества In₂Te₃ в InSb, решеточная теплопро-водность меняется затем незначительно.

Величина решеточной теплопроводности была определена вычита-нием значения электронной теплопроводности из общей.

Для количественного сравнения полученных результатов с тео-

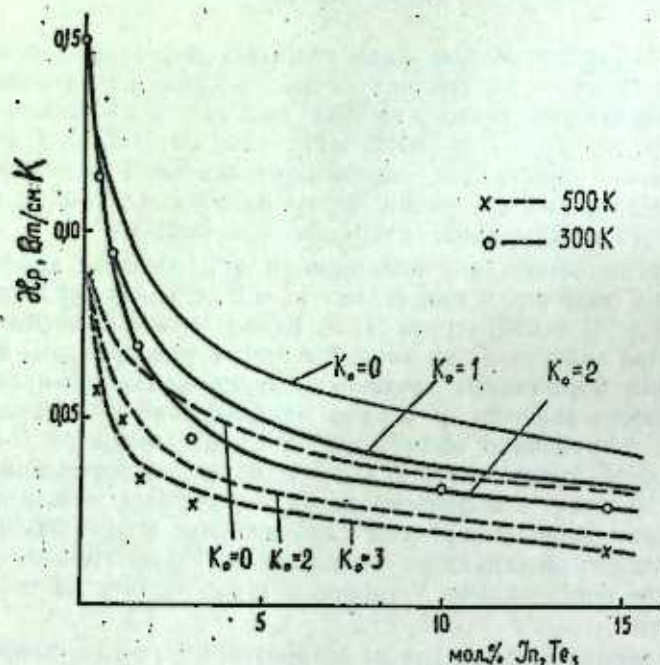
рией была рассчитана теплопроводность решетки по формуле Клеменса [2] в области $T > \theta$ (для InSb $\theta = 202$ K):

$$\kappa_p = \kappa_0 \frac{\omega_0}{\omega_D} \operatorname{arctg} \frac{\omega_D}{\omega_0}, \quad (1)$$

где

$$\left(\frac{\omega_0}{\omega_D} \right)^2 = \frac{\kappa}{2 \pi^2 v \kappa_0 \omega_0 A}.$$

Здесь κ_0 — гипотетическая теплопроводность, которая была бы в сплаве при отсутствии дефектов, $\omega_D = \frac{\kappa \theta}{h/2\pi}$ — частота Дебая, ω_0 — час-



Зависимость решеточной теплопроводности сплавов от их состава:
O, X — эксперимент, сплошные и пунктирные линии — расчетные

тота, при которой времена релаксации процессов переброса τ_u и рассеяния фононов на точечных дефектах τ_i равны:

$$\tau_u(\omega_0) = \tau_i(\omega_0).$$

Параметр A характеризует рассеяние на точечных дефектах и имеет вид:

$$A = \frac{x(1-x)}{4\pi v^3} \left[\left(\frac{\Delta M}{M} \right)^2 - \epsilon \left(\frac{\Delta \delta}{\delta} \right)^2 \right], \quad (2)$$

где ϵ — параметр, зависящий от упругих свойств среды, $\frac{\Delta M}{M}$ и $\frac{\Delta \delta}{\delta}$, соответственно локальное изменение массы и упругих свойств среды при замене атомов основного вещества примесями.

Известно, что In_2Te_3 имеет структуру цинковой обманки, как и InSb, и дефектна по отношению к подрешетке In (одна треть узлов в подрешетке In вакантна). При образовании сплавов они сильно влияют на рассеяние фононов вследствие локального изменения плотности и упругих свойств в элементе объема окружающей дефект.

Для исследуемых твердых растворов выполнение закона Вегардта дает возможность рассматривать изменение постоянной решетки как локального изменения упругих свойств среды [5]:

$$\frac{\Delta \delta}{\delta} = \left[\frac{a_{пр} - a_{осн}}{a_{осн}} \right] \cdot \frac{\mu}{1 + \mu}, \quad (3)$$

где $\mu = 1 + \frac{\nu(1-2\nu)}{2}$, ν — коэффициент Пуассона. Формула (3) с учетом зависимости параметра решетки от состава сплава принимает вид [6]:

$$\frac{\Delta \delta}{\delta} = \left[\frac{a(x) - a_{осн}}{x \cdot a_{осн}} \right] \cdot \frac{\mu}{1 + \mu}. \quad (4)$$

В исследуемых твердых растворах аналогичность кристаллических структур InSb и In_2Te_3 и образование гомогенных сплавов делают правдоподобным предположение, что эффект локального изменения упругих свойств мал по сравнению с эффектом изменения плотности. В [7] для твердых растворов GaSb— Ga_2Te_3 были учтены как локальное изменение плотности, так и изменение упругих свойств. Показано, что, действительно, влияние локального изменения упругих свойств незначительно.

Используя значения κ_0 , ν и ω_D для InSb и вычислив $\frac{\Delta M}{M}$, мы рассчитали теплопроводность сплавов InSb— In_2Te_3 по формуле Клеменса (1) (рисунок).

Как видно, экспериментальные значения ложатся ниже расчетных. Наличие добавочного теплового сопротивления может быть связано с наличием неконтролируемых примесей, а также с учетом N -процессов в теории Клеменса.

Как уже было отмечено, роль N -процессов была учтена Парротом. Приняв согласно Каллевею [6] времена релаксации N - и U -процессов равными $\tau_N^{-1} = B_N T \omega^2$ и $\tau_U^{-1} = B_U T \omega^2$, а отношение $\kappa_0 = \frac{B_N}{B_U}$ независимым от температуры, Паррот [3] и Абельс [5] получили для теплопроводности выражение:

$$\kappa_p = \kappa_0 \frac{1}{\left(1 + \frac{5}{9} \kappa_0\right)} \left[\frac{\frac{1}{y} \operatorname{arctg} y + \left(1 - \frac{1}{y} \operatorname{arctg} y\right)^2}{\left(\frac{1 + \kappa_0}{\kappa_0}\right) \frac{y^4}{5} - \frac{y^2}{3} + 1 - \left(\frac{1}{y} \operatorname{arctg} y\right)} \right], \quad (5)$$

где

$$y^2 = \frac{\left(\frac{\omega_D}{\omega_0}\right)^2}{1 + \frac{5}{9} \kappa_0}.$$

Расчетные кривые при $\kappa_0 = 0,1$ и 2 приведены на рисунке при 300 и 500K . При $\kappa_0 = 0$ формула (5) переходит в (1). Согласно с экспериментом наблюдается при значении $\kappa_0 = 2$, т. е. роль N -процессов в кристаллах с точечными дефектами существенна. С повышением температуры роль N -процессов в теплосопротивлении решетки увеличивается ($\kappa_0 = 3$).

Литература

1. Callaway J.—Phys. Rev., 1959, 113, 4, 1046—1051. 2. Klemens P. G.—Proc. Phys. Soc., 1955, A 68, 2, 1113—1128. 3. Parrott J. E.—Proc. Phys. Soc. (London), 1963, 81, 726—735. 4. Алиев М. И., Абдурахманова А. А., Зейналов С. А., Алиева М. А.—В сб.: Теплофизические свойства твердых веществ. Баку: Элм, 1971, с. 103—105. 5. Abeles B.—Phys. Rev., 1963, 131, 5, 1906—1911. 6. Callaway J., Baeyer H. C.—Phys. Rev., 1960, 120, 1149—1154. 7. Алиев М. И., Абдурахманова А. А., Араслы Д. Г.—Изв. АН АзССР. Сер. физ.-техн. и мат. наук, 1971, № 4, с. 64—67. 8. Алиев М. И., Джангиров А. Ю.—Изв. АН АзССР. Сер. физ.-техн. и мат. наук, 1965, № 2, с. 48—53.

Институт физики АН АзССР

Поступило 19. IV 1986

М. И. Элијева, М. Э. Чофарова, А. Э. Халилова

БЭРК МЭЪЛУЛЛАРЫНЫН ИСТИЛИК КЕЧИРМƏСИ

Мəгалədə дəјишəн дефектлi (In_2Sb)_x(In_2Te_3)_{1-x} бəрк мəълулуи истилик кечирмəsi фононларин, N -процесслəri нəзərə алараг, нөггəви дефектлəрдəн сəпилмəsi нəзəринјəси əсасында арашдырылмасындан бəһс едилir. Тəдгиг олунан кристалларда истилик кечирмədə N -процесслəрин ролу вə температурдан асыллыгы кəстəрлимшидир.

М. И. Алиев, М. А. Dzhalarova, А. А. Khalilova

HEAT CONDUCTIVITY OF $\text{In}_2\text{Sb}_x\text{—InTe}$ SOLID SOLUTIONS

The results of the investigations of heat conductivity of (InSb)_x(In_2Te_3)_{1-x} ($0 < x < 0.15$) solid solutions with variable imperfections are explained in terms of the theory of phonon-point defect scattering with regard to the N -processes. The M -processes are shown to play an essential role in the crystals under investigation, and with increasing temperature their role in lattice heat conductivity increases.

УДК 536. 48. 433

ФИЗИКА ПОЛУПРОВОДНИКОВ

М. А. АЛДЖАНОВ, Н. Г. ГУСЕЙНОВ, З. Н. МАМЕДОВ, А. А. АДУРРАГИМ ƏВ

ТЕПЛОЕМКОСТЬ СМЕШАННЫХ КРИСТАЛЛОВ

(Представлено академиком АН Азербайджанской ССР Г. Б. Абдуллаевым)

В настоящее время интенсивно изучаются фазовые переходы в кристаллах, связанные с модулированной структурой. Период модулированной структуры бывает как кратен, так и не кратен периоду исходной решетки (соизмеримая и несоизмеримая фазы). Исследования этих переходов в основном стимулировано тем, что до сих пор не ясна полная картина перехода из соизмеримой фазы в несоизмеримую [1, 2].

В слоистых кристаллах TlGaSe_2 и TlInS_2 оптическими и калориметрическими исследованиями [2—10] были обнаружены температурно-неустойчивые решеточные возбуждения и наблюден ряд фазовых переходов, связанных с модулированной структурой.

Настоящая статья посвящена изучению влияния на теплоемкость C_p и на фазовые переходы кристаллов TlGaSe_2 и TlInS_2 изоморфного замещения в них атомов Se на S и соответственно S на Se. С этой целью нами были проведены измерения C_p смешанных кристаллов $\text{TlGaSe}_{2(1-x)}\text{S}_{2x}$ и $\text{TlInSe}_{2(1-x)}\text{Se}_{2x}$ ($x = 0, 1; 0,2$) в интервале $4,2\text{—}350\text{K}$.

Измерения теплоемкости поликристаллических образцов проводились методом вакуумной адiabатической калориметрии [10]. Температурный шаг измерения C_p составлял $0,5\text{—}1,5\text{K}$, скорость нагрева была равна $0,06\text{—}0,2\text{K/мин}$. Относительная погрешность в определении C_p при $T > 10\text{K}$ составляла $\approx 0,3$, а ниже 10K — 2% от измеряемого значения.

На рис. 1 и 2 представлены результаты исследования C_p систем $\text{TlGaSe}_2\text{—TlGaS}_2$ и $\text{TlInS}_2\text{—TlInSe}_2$ в интервалах $4,2\text{—}100$ и $170\text{—}230\text{K}$. При $T_c = 20,6\text{K}$ и в области $T_1 \approx 154\text{K}$ наблюдаются аномалии теплоемкости $\text{TlGaSe}_{1,8}\text{S}_{0,2}$. Отметим, что в районе аномалии образцы выдерживались при каждой температуре $20\text{—}30$ мин. Из рис. 2 видно, что в области $170\text{—}202\text{K}$ у $C_p(T)$ $\text{TlInS}_{1,8}\text{Se}_{0,2}$ имеется ряд аномалий. Максимальные значения аномалий теплоемкости наблюдаются при $T_{11} = 201$, $T_c = 195$, $T_{12} = 186$, $T_{13} = 181\text{K}$. В интервале $170\text{—}190\text{K}$ для $\text{TlInS}_{1,6}\text{Se}_{0,4}$ наблюдается нарушение обычного хода изменения C_p с T . Однако резко выраженной аномалии в $C_p(T)$ не обнаружено.

Анализ экспериментальных данных показал, что ниже $\approx 10\text{K}$ выполняется почти кубический закон теплоемкости для $\text{TlGaSe}_{1,8}\text{S}_{0,2}$ и $\text{TlGaSe}_{1,6}\text{S}_{0,4}$ с характеристической температурой $\theta_D = (94 \pm 2)\text{K}$, а для $\text{TlInS}_{1,8}\text{Se}_{0,2}$ и $\text{TlInS}_{1,6}\text{Se}_{0,4}$ — $\theta_D = (95 \pm 2)\text{K}$. На рис. 3 приведена температурная зависимость θ_D для $\text{TlInS}_{1,8}\text{Se}_{0,2}$. Ниже $\approx 6\text{—}7\text{K}$ температурная зависимость теплоемкости становится слабее кубической. Это обычно связывается с вкладом дефектов в C_p [11]. Однако не исклю-

чен и вклад поверхностных эффектов в C_p , которые особенно проявляются в слоистых кристаллах при низких T [12].

Путем графической экстраполяции $C_p(T)$ выделены регулярный (C_{p0}) и аномальный (ΔC_p) вклады теплоемкости. Для $TiGaSe_{1.8}S_{0.2}$ ве-

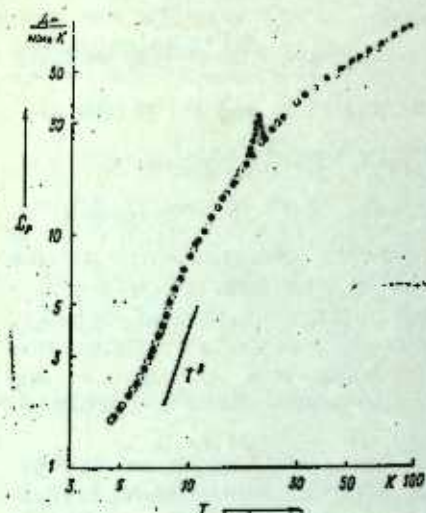


Рис. 1. Температурная зависимость теплоемкости:
— $TiGaSe_{1.8}S_{0.2}$; о — $TiGaSe_{1.8}S_{0.4}$

личина аномалии C_p при T_c составляет $\approx 35\%$ от ее регулярной части, а при $T_c \approx 154$ К — около 5%. Поведение C_p в критической области хорошо укладывается в $C_p \sim |T - T_c|^{-2}$ при $T < T_c$ и $C_p \sim |T - T_c|^{-2}$ при $T > T_c$.

Анализ показал, что экспериментальные данные для $TiGaSe_{1.8}S_{0.2}$

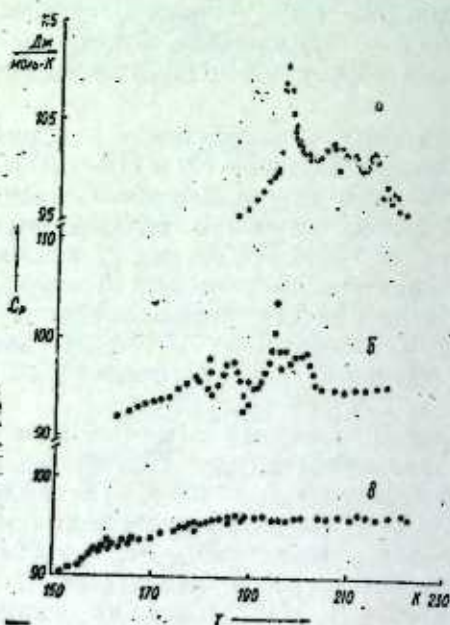


Рис. 3. Температурная зависимость теплоемкости:
а — $TiInS_2$; б — $TiInS_{1.8}Se_{0.2}$; в — $TiInS_{1.6}Se_{0.4}$

в интервале $0,5 < |T - T_c| < 2,5$ удовлетворительно описываются этой формулой ($\alpha = \alpha' = 0,13$). Малое значение C_p и особенности ее поведения при T_c характерны для фазового перехода второго рода. Однако симметричный вид $C_p(T)$ вблизи T_c свойствен фазовому переходу первого рода.

Измерения, произведенные нами ранее, показали, что у $C_p(T)$ $TiGaSe_2$ в области 100–119 и вблизи 250 и 340 К имеет место ряд аномалий, свидетельствующих о наличии фазовых переходов в этом соединении [10]. Максимальные значения аномалий C_p $TiGaSe_2$ наблюдаются при $T_{11} \approx 340$, $T_{12} \approx 253$, $T_{13} \approx 117,2$, $T_{14} \approx 113$, $T_{1c} \approx 109$, $T_{15} \approx 106$ К. Измерения теплоемкости показали, что фазовый переход обнаруживается при содержании серы менее 20% в $TiGaSe_{2(1-x)}S_{2x}$. По мере замещения Se на S фазовые переходы в $TiGaSe_2$ сильно смещаются в область низких температур. Надо отметить, что $TiGaSe_2$ и $TiGaS_2$ изоструктурны, и поэтому такое сильное смещение температуры переходов, по-видимому, связано не только с изменением химической связи. Не исключена и возможность появления нового фазового перехода в $TiGaSe_{1.8}S_{0.2}$ при T_c .

В [4,5] показано, что в $TiInS_2$ при 220 К имеет место переход в несоизмеримую, в интервале 202–195 К — сегнетоэлектрическую, а при ≈ 170 К — соизмеримую фазу. В [8] по измерениям C_p эти данные подтверждены, более того, обнаружены дополнительные аномалии в $C_p(T)$ в области 196,9–214,9 К. На рис. 2 показано также поведение теплоемкости в интервале 170–250 К.

Как видно из рис. 2, наблюдаемые аномалии на кривой $C_p(T)$ для $TiInS_{1.8}Se_{0.2}$ и $TiInS_{1.6}Se_{0.4}$ сопровождаются малым тепловым эффектом. При 195 К скачок теплоемкости $TiInS_{1.8}Se_{0.2}$ составляет $\approx 9\%$, для остальных точек фазового перехода — не более 3–4%.

Следует отметить, что наблюдаемые аномалии в $C_p(T)$ $TiGaSe_{1.8}S_{0.2}$ и $TiInS_2 - TiInSe_2$ (как и в $TiCaSe_2$ [10]) зависят от цикла нагрев — охлаждение при повторных измерениях и скорости нагрева. При этом заметно смещаются температуры фазовых переходов. Подобные явления наблюдались и в [13, 14]. Как уже было отмечено, в соединениях $TiGaSe_2$ и $TiInS_2$ обнаружены несоизмеримые фазовые переходы, для которых обычно характерен гистерезис исследуемых величин от T . Смещения температуры фазовых переходов могут обуславливаться и точечными дефектами в несоизмеримых кристаллах [14–16]. Как отмечено в [14, 16], концентрация дефектов может быть модулирована с периодом, равным периоду модуляции кристалла. Поскольку период модуляции кристалла с T изменяется, то дефекты должны мигрировать. Однако скорость изменения периода модуляции гораздо больше скорости миграции точечных дефектов, причем при низких T различие в скоростях значительное. Это приводит к зависимости температуры фазовых переходов от истории образца и скорости изменения T . Возможно, точечные дефекты в $TiGaSe_2$ [17] и $TiInS_2$ приводят к зависимости температуры фазового перехода от скорости нагревания и цикла нагрев — охлаждение при повторных измерениях.

В области аномалий теплоемкости $TiInS_{1.8}Se_{0.2}$ наряду с максимумами наблюдается и небольшой минимум. Такое поведение C_p обнаружено и для других соединений [18–20], в которых наличие минимума на кривой $C_p(T)$ предполагается связанным с возможностью политипных превращений или выделением метастабильной фазы.

Оптические исследования $TiJn_{1-x}Se_{0.2}$ показали [21], что в интервале 185—200 К существуют последовательные фазовые переходы. В $TiJnS_{1.8}Se_{0.2}$ при ≈ 200 и 190 К реализуются переходы соответственно в несоизмеримую и сегнетофазу. Как показано в [4,5], при $T \approx 213$ К происходит фазовый переход с появлением в кристалле волны длинно-периодической модуляции структуры. Ниже сегнетоэлектрического фазового перехода (< 200 К) авторы [5] обнаружили новую несоизмеримую фазу, направление которой определить им не удалось. Таким образом, можно предположить, что в соединении $TiJnS_2$ и аналогичном ему $TiJnS_{1.8}Se_{0.2}$ реализуются неполные „дьявольские лестницы“, так как переходы в несоизмеримую фазу происходят не скачкообразно, а через несоизмеримые фазы [1].

Используя результаты теории [22, 23], мы вычислили ширину критической области фазовой щели ($\Delta T_{кр}$), где существенна роль флуктуаций:

$$\Delta T_{кр} = \frac{K_B^2 T_c}{32 \pi^2 (\Delta \hat{C}_p)^2 \cdot L_c^6} \quad (1)$$

где K_B —коэффициент Больцмана, $\Delta \hat{C}_p$ —скачок теплоемкости в теории Ландау, а L_c —величина, характеризующая эффективный радиус взаимодействия. Строго говоря, формула (1) установлена только для $T < T_c$. При $T > T_c$ для определения размера критической области следует сравнивать флуктуации второго или более высоких порядков. Если предположить, что критическая область симметрична относительно T_c , то приведенная формула определяет также и критическую область при $T > T_c$ [23].

В [23] вычислены верхние границы критических областей $\Delta T_{кр}$ для наиболее характерных сегнетоэлектриков $BaTiO_3$, TiS , KH_2PO_4 и KP_2AsO_4 при значении $L_c = 4 \text{ \AA}$. Получено, что $\Delta T_{кр}$ не превышает для этих сегнетоэлектриков 0,1 К. Мы, принимая такую же величину L_c , рассчитали $\Delta T_{кр}$ для $TiGaSe_{2(1-x)}S_{2x}$ и $TiJnS_{2(x-1)}Se_{2x}$ ($x=0; 0,1$).

Кристалл	T_c , К	$\Delta \hat{C}_p^A$ Дж/м ⁻³ ·К ⁻¹	L_c , \AA	$\Delta T_{кр} = (T_c - T_{кр})$, К
$TiGaSe_2$	108,9	$1,3 \cdot 10^5$	4	0,98
$TiGaSe_{1,8}S_{0,2}$	20,6	$1,4 \cdot 10^5$	4	0,18
$TiJnSe_2$	196,9	$1,6 \cdot 10^5$	4	1,11
$TiJnS_{1,8}Se_{0,2}$	195,0	$1,3 \cdot 10^5$	4	1,66

Результаты приведены в таблице. Как видно из таблицы, $\Delta T_{кр}$ у исследованных нами соединений намного больше, чем у указанных сегнетоэлектриков.

Литература

1. Vak P.—Rep. prog. phys., 1982, 45, 587. 2. Loos B., Bergersen B., Gooding R.—J. Phys. Rev., 1983, B27, 457. 3. Волков А. А., Гончаров Ю. Г., Козлов Г. В., Лебедев С. П., Прохоров А. М., Алиев Р. А., Аллахвердиев К. Р.—Письма в ЖЭТФ, 1983, т. 37, № 11, с. 517—520. 4. Волков А. А., Гончаров Ю. Г., Козлов Г. В., Аллахвердиев К. Р., Сардарлы Р. М.—ФТТ, 1983, т. 25, № 12, с. 3583—3585. 5. Вахрушев С. Б., Жданов В. В., Квятковский Б. Е., Окунева Н. М., Аллахвердиев К. Р., Алиев Р. А., Сардарлы Р. М.—Письма в ЖЭТФ, 1984, т. 39, № 6, с. 245—

247. 6. Алиев Р. А., Аллахвердиев К. Р., Баранов А. И., Иванов Н. Р., Сардарлы Р. М.—ФТТ, 1984, т. 26, № 5, с. 1271—1276. 7. Абдуллаева С. Г., Абдуллаев А. М., Мамедов К. К., Мамедов Н. Т.—ФТТ, 1984, т. 26, № 2, с. 617—620. 8. Mamedov K. K., Abdullaeva A. M., Kerimova E. M.—Phys. St. Sol., 1986, 94, 115. 9. Allakhverdiev K. R., Aldjanov M. A., Mamedov T. G., Salayev E. Yu.—Sol. St. Com., 1986, v. 58, № 5, p. 295—297. 10. Алджанов М. А., Гусейнов Н. Г., Абдуллаев А. М., Мамедов З. Н.: Препринт № 182, ИФАН АзССР.—Баку, 1985. 11. Марадудин А., Дефекты и колебательный спектр кристаллов.—М.: Мир, 1968. 12. Косевич Ю. А., Сыркин Е. С.—ФНТ, 1983, т. 9 № 6, с. 624—629. 13. Бондарь А. В., Вихнин В. С., Рыбченко С. М., Ячменев В. Е.—ФТТ, 1983, т. 25, № 9, с. 2602—2609. 14. Зарецкий В. В., Шелег А. У.—ФТТ, 1986, т. 28, № 1, с. 63—71. 15. Aubry S.—J. Physique, 1983, vol. 44, № 2, p. 147—162. 16. Blinc R.—Physica Scripta, 1982, vol. T 1, p. 138—141. 17. Guseinov G. D., Aliev V. A., Bagirzade E. F.—Materials Chemistry and Physics, 1985, 13, p. 541—550. 18. Шелег А. У., Теханович Н. П., Якубенко Т. И.—Докл. АН БССР, 1982, т. 26, № 10, с. 882—885. 19. Ayache S., Bonjour E., Lagnier R., Fischer J. E.—Physica, 1980, vol. 99B, p. 547—550. 20. Петрова Ж. К. Автореф. дис. канд. физ.-мат. наук.—Минск, 1977. 21. Аллахвердиев К. Р., Бабаев С. С., Бахышов Н. А., Мамедов Т. Г.—ФТТ, 1985, т. 27, № 12, с. 3699—3701. 22. Гинзбург В. Л.—ФТТ, 1960, т. 2, № 9, с. 2031—2033. 23. Блинц Р., Жекки Б. Сегнетоэлектрики и антисегнетоэлектрики. Динамика решетки.—М.: Мир, 1975.

Институт физики АН АзССР

Поступило 1. IV 1987

М. А. Алчанов, Н. Г. Гусейнов, З. Н. Мамедов, Э. Э. Абдулрахимов TiGaSe₂—TiGaS₂ ВЭ TiJnS—TiJnSe₂ ГАРЫШЫГ КРИСТАЛЛАРЫН ИСТИЛИК ТУТУМУ

Бу моголалда $TiGaSe_2$ — $TiGaS_2$ ва $TiJnS_2$ — $TiJnSe_2$ гарышыг кристалларынын 4,2—350 К температур интервалында истилик тутуму тэдиг олунмушдур. Кестерилимишдир ки, $TiGaSe_2$ — $TiGaS_2$ ва $TiJnS_2$ — $TiJnSe_2$ системинде уйгун оларга S ва Se-нид мигдары 20%-дан аз олдугда фаза кечиллери мушанида олунур.

М. А. Aldjanov, N. G. Guseinov, Z. N. Mamedov, A. A. Abdurragimov HEAT CAPACITY OF MIXED CRYSTALS $TiGaSe_2$ — $TiGaS_2$ AND $TiJnS_2$ — $TiJnSe_2$

Heat capacity of the mixed crystals is investigated experimentally in temperature region of 4.2+350 K. It is shown, that the phase transition is observed in the systems of $TiGaSe_2$ — $TiGaS_2$ and $TiJnS_2$ — $TiJnSe_2$ when the concentration of S and Se is smaller than 20 at. %, respectively. The influence of isostructural substitution of Se by S to heat capacity and phase transition is also investigated in these crystals.

Г. А. АЛЕКПЕРОВ, Э. И. ВЕЛНЮЛИН, Э. К. ГУСЕЙНОВ,
член-корр. Ч. О. КАДЖАР, Б. М. РУСТАМБЕКОВ

ДЕФЕКТНОСТЬ ПОВЕРХНОСТИ КРИСТАЛЛОВ $Cd_xHg_{1-x}Te$

В данной статье приводятся результаты исследования методом электроотражения (ЭО) дефектности поверхности кристаллов $Cd_xHg_{1-x}Te$ после различных видов обработки.

Объектом исследования являлись кристаллы $Cd_xHg_{1-x}Te$ л-типа проводимости различного состава с концентрацией носителей $(2-5) \times 10^{14} \text{ см}^{-3}$ при 77 К и произвольной ориентацией поверхности. Применялись следующие виды обработки поверхности образцов: а) механическая полировка абразивом SiC с размером зерна 1 мкм и удельным давлением на образец менее 100 Г/см²; б) анодно-механическая электрополировка; в) химико-механическая полировка; г) бомбардировка ионами O_2^+ с энергиями 25 и 50 эВ; д) выращивание слоя собственного окисла и его последующее травление. Слой собственного окисла выращивался двумя методами: стандартным методом электрохимического анодирования (электролит — 0,1 М раствор КОН в 90% этиленгликоле + 10% H_2O , гальваностатический режим при плотности тока 1 мА/см²) [1] и окислением в области послесвечения кислородной плазмы положительного столба тлеющего разряда постоянного тока (ПСТРПТ). Собственный окисел выращивался до толщины 500 Å. Контроль толщины окисла проводился эллипсометром ЛЭМ-2. Удаление окислов проводилось в травителе $HCl:HNO_3=1:1$, а послойное удаление материала $Cd_xHg_{1-x}Te$ — в стандартном травителе 3% $Br_2+97\% Hbr$. Источником ионов O_2^+ служила плазма ПСТРПТ в кислороде. Энергия ионов регулировалась путем приложениия к образцу отрицательного относительно плазмы потенциала.

Измерения спектров ЭО проводились в спектральной области, соответствующей переходу типа E_1 кристаллов $Cd_xHg_{1-x}Te$, при комнатной температуре на спектрометре ЭО с частотной модуляцией поверхностного потенциала образца, резонансным усилением, нормированием полезного сигнала и синхронным детектированием [2]. Диаметр светового зонда составлял 100 мкм. Точность попадания светового зонда в заданную точку поверхности образца была не хуже ± 10 мкм. В качестве электролита использовался 1 М раствор KCl в воде.

Обработка спектров ЭО, получение значений энергии перехода E_1 и параметра уширения Γ проводились по составленной программе на мини-ЭВМ «Электроника ДЗ-28» на основе метода «трех точек» [3]. Критерием дефектности служил параметр уширения Γ , поскольку уширение спектров ЭО обусловлено процессами рассеяния носителей заряда на дефектах кристаллической решетки полупроводника.

Исследованы изменения спектров ЭО поверхности кристаллов $Cd_{0,295}Hg_{0,705}Te$ после механической полировки и послойного удаления

нарушенного слоя. Чтобы быть уверенными, что наблюдаемые изменения спектров ЭО соответствуют распределению дефектов по глубине нарушенного слоя, исследуемый кристалл делился на две части. Одна часть подвергалась обработке, другая служила для снятия спектров сравнения. Послойное травление проводилось одинаково для обеих частей образца. Анализировались изменения спектров ЭО только тех обработанных кристаллов у которых спектры сравнения не изменялись при послойном травлении, т. е. кристаллы были однородны по всей глубине послойного травления. По мере удаления нарушенного слоя после механической полировки спектры ЭО претерпевают существенные изменения как по амплитуде пиков, так и по параметру уширения. После удаления слоя толщиной 35÷40 мкм дальнейшее стравливание не приводило к изменению энергетического положения и амплитуд пиков ЭО, а параметр уширения стабилизировался на уровне 101 ± 5 мэВ.

Таким образом, механическая полировка поверхности $Cd_xHg_{1-x}Te$ приводит к образованию нарушенного слоя толщиной 35÷40 мкм, что значительно превышает размер абразивного зерна.

Аналогично определена глубина нарушенного слоя, создаваемого электрополировкой (15÷20 мкм) и химико-механической полировкой (менее 5 мкм). Таким образом, наименее травмирующим видом полировки кристаллов $Cd_xHg_{1-x}Te$ является химико-механическая полировка. Поэтому для исследования влияния на дефектность поверхности ионной бомбардировки и окисления образцы предварительно подвергались химико-механической полировке с последующим стравливанием слоя (5 мкм). Можно считать, что дефектность получаемой таким образом поверхности соответствует дефектности объема кристалла. Изменения параметров уширения спектров ЭО после окисления поверхности и ионной бомбардировки для одного из образцов приведены в таблице.

Результаты, аналогичные приведенным в таблице, были получены

Исходная поверхность, Γ , мэВ	Способ обработки	Обработанная поверхность, Γ , мэВ
84±4	Плазменное окисление	80±4
84±4	Скисел стравлен.	
86±4	Электрохимическое окисление.	97±4
	Скисел стравлен.	
84±4	Бомбардировка ионами O_2^+ с энергией 25 эВ. Доза $D=2 \cdot 10^{17} \text{ м}^{-2}$	101±5
	Бомбардировка ионами O_2^+ с энергией 50 эВ. Доза $D=2 \cdot 10^{17} \text{ м}^{-2}$	101±5

для всех исследованных образцов. Таким образом, плазменное окисление не изменяет, а электрохимическое окисление и бомбардировка низкоэнергетичными ионами увеличивают дефектность поверхности $Cd_xHg_{1-x}Te$.

Тот факт, что химико-механическая полировка является наименее травмирующей, подтверждается и исследованиями вольт-фарадных

характеристик тестовых структур $Cd_xHg_{1-x}Te$ — плазменный окисел-металл.

Наименьшая плотность поверхностных состояний для них вблизи середины запрещенной зоны $N_{ss} = (0,8 \div 1,2) \times 10^{11} \text{эВ}^{-1} \text{см}^{-2}$ была получена при использовании химико-механической полировки в качестве предокислительной обработки. Применение же анодного окисла в качестве диэлектрика не позволяло получить величину N_{ss} меньше $7 \cdot 10^{11} \text{эВ}^{-1} \text{см}^{-2}$ даже при использовании предварительной химико-механической полировки, что также согласуется с данными таблицы.

Таким образом, модуляционная спектроскопия ЭО является весьма информативным и эффективным методом определения дефектности поверхности $Cd_xHg_{1-x}Te$ после различных воздействий.

Литература

1. *Catagnus P. C., Baker C. T. US Patent № 3 977. 018 (24 August 1976).* 2. *Велиюлин Э. И., Каджар Ч. О., Мусаев С. А., Рустамбеков Б. М.* — Докл. АН АзССР, 1985, т. 41, № 3, с. 24—27. 3. *Aspnes D. E.* — *Surface Science*, 1973, v. 37, p. 418.

Институт физики АН АзССР

Поступило 30. III 1987

И. Э. Элакбаров, Е. И. Велиюлин, Е. К. Гусейнов,
Ч. О. Качар, Б. М. Рустамбеков

$Cd_xHg_{1-x}Te$ КРИСТАЛЛАРЫНЫН СӘТӢ ДЕФЕКТЛИГИ

Магаләдә $Cd_xHg_{1-x}Te$ кристалларынын мухталиф нөв тәсирләрдән соңра сәтӢ дефектлігінини электроексетмә методу илә тәдқиғатларын нәтичәләри верилмишдир.

Механики, электромеханики вә кимјәви-механики чилалама нәтичәсиндә алынмыш сәтӢ тәбәғәсини позулма дәринлиғи тәҗрибә олунмушдур; кәстәрилмишдир ки, чилалама нөвләриндән ән аз зәдәләҗичи кимјәви-механики чилаламадыр.

Мүәҗҗән едилмишдир ки, оксикен плазмасы илә сәтӢни оксидләшдирилмәси дефектліҗә тәсир етмир; электрохимјәви оксидләшмә вә оксикен ионлары илә бомбардман едилмә илә $Cd_xHg_{1-x}Te$ кристалларынын сәтӢ дефектлігінини артырар.

G. A. Alekperov, E. I. Veliyulin, E. K. Guseinov,
Ch. O. Qajar, B. M. Rustambekov

THE DEFECTIVENESS OF $Cd_xHg_{1-x}Te$ CRYSTALS SURFACE

This article presents the results of the investigation of $Cd_xHg_{1-x}Te$ crystal defectiveness after different types of treatment by the method of electroreflectance.

The depths of ruptured surface layers are determined, formed by mechanical, electromechanical and chemicommechanical polishing. The chemicommechanical type is shown to be the least breaking type of polishing.

The surface oxidation in oxygen plasma with subsequent removal of oxide does not affect the defectiveness, while the electrochemical oxidation with subsequent removal of oxide and oxygen ion bombardment increases the defectiveness of $Cd_xHg_{1-x}Te$ crystal surfaces.

УДК 621.315.592

ФИЗИКА ПОЛУПРОВОДНИКОВ

Т. Х. АЗИЗОВ, Б. Г. ТАГИЕВ, А. Г. ГУСЕЙНОВ, А. А. КУЛИЕВ

ИНЖЕКЦИОННЫЕ ТОКИ В МОНОКРИСТАЛЛАХ Gd_3X_4 ($X=S, Se, Te$)

(Представлено академиком АН Азербайджанской ССР
Ч. М. Джуварлы)

В связи с возможностью применения в качестве активных элементов инжекционных лазеров [1] в последнее время особое внимание привлекают халькогениды редкоземельных элементов с формулой Lp_2X_3 , Lp_3X_4 структурного типа Th_3P_4 . Они являются граничным составом фазы, в пределах которой сохраняется один и тот же структурный тип. Параметры решеток этих фаз почти не меняются, тогда как их электрические свойства изменяются в широких пределах [2].

Многие физические свойства полупроводниковых соединений определяются энергетическим положением и природой локальных уровней.

Исследования температурной зависимости электропроводности и инжекционных токов дают широкую информацию о механизме переноса, генерации и рекомбинации носителей тока, а также о параметрах локальных уровней.

Монокристаллы типа Lp_2X_3 , Lp_3X_4 обладают высокой фоточувствительностью и пьезоэлектрическими свойствами [1,3—6]. В Gd_2S_3 , L_2S_3 , La_2S_3 и $(La_2S_3)_{1-x}(Ga_2O_3)_x$ активированных неодимом, была обнаружена внутрицентровая фотолюминесценция с оптической накачкой зона—зона [7—10].

Сведения о физических свойствах монокристаллов соединений типа Gd_3X_4 весьма ограничены.

В настоящей статье приводятся результаты исследований температурной зависимости электропроводности $[\sigma(T)]$ и вольт-амперных характеристик (ВАХ) монокристаллов халькогенидов гадолиния Gd_3X_4 ($X=S, Se, Te$).

Монокристаллы были выращены методом химической транспортной реакции [11—12]. Для электрофизических измерений контакты создавались вплавлением индия.

На рис. 1 представлена зависимость электропроводности от температуры для Gd_3Se_4 . Как видно, кривая состоит из трех участков; значения энергии активации, рассчитанные из них, составляют соответственно 0,07; 0,19; 0,49 эВ.

На рис. 1 представлены стационарные ВАХ структур $Jp-Gd_3Se_4$ — Ip при 140 К, снятые по методике, указанной в [13].

На ВАХ имеются линейные и нелинейные (квадратичный, кубический) участки.

Подобная зависимость наблюдается и при других температурах (77÷293 К). Локальные уровни полупроводника в запрещенной зоне рассчитаны путем обработки ВАХ и зависимости $\alpha = \frac{d(\lg J)}{d(\lg V)}$ от V [14].

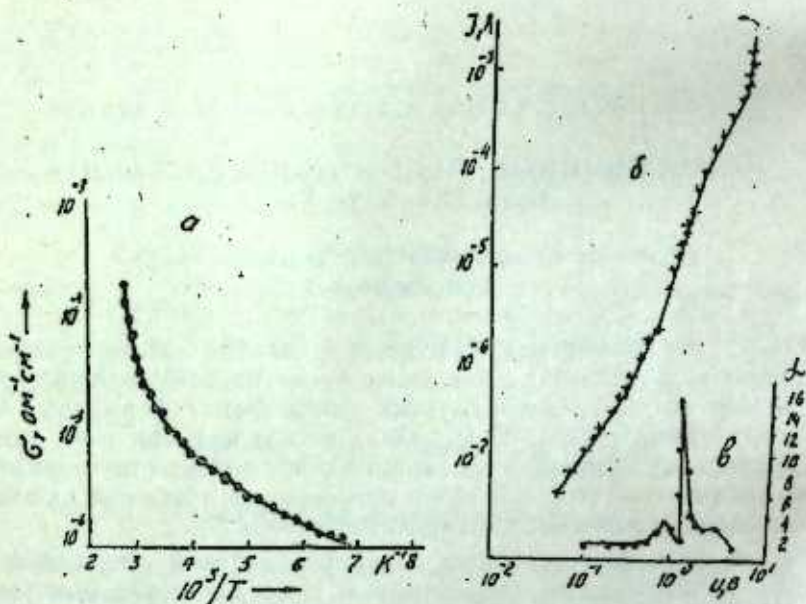


Рис. 1. Температурная зависимость электропроводности $\sigma(T)$ монокристаллов Gd_3S_4 (а); стационарные ВАХ структур $In-GdSe-In$ при 140 К (б); зависимости показателя степени (а) от напряжения (а)

Тип инжекции следует из определения дискриминационного коэффициента (Q_m) электропроводности [15].

$$Q_m = \frac{(2\alpha_m - 1)^2 (\alpha_m - 1)}{\alpha_m^3} \cdot \frac{s \varepsilon \mu \varepsilon_0 V_m}{4\pi L^3 J_m}$$

где α_m , J_m , V_m — показатель степени, плотность тока, и напряжение, соответствующие максимуму на зависимости $\alpha \sim I(u)$, ε — диэлектрическая проницаемость, L — расстояние между электродами, а $Q_m = 8,69 \times 10^{-5}$. Имеющиеся на кривой рис. 1 участки с квадратичной и кубической зависимостями, а также выполнение закономерностей $I \sim V^2$ и $Q_m \ll 1$ указывают на то, что в электрических полях напряженностью (10^3 – 10^9 В/см) перенос носителей тока обусловлен двойной инжекцией. Глубина залегания ловушек (E_t), приповерхностная концентрация (n_m) и плотность объемного заряда (ρ_m), соответствующие максимуму зависимости ($\alpha = f(u)$), определены по формуле, приведенной в [14], и равны: $E_t = 0,47$ эВ, $n_m = 5,2 \cdot 10^{13}$ см $^{-3}$, $\frac{\rho_m}{l} = 3,9 \cdot 10^9$.

При определении параметров ловушек эффективная плотность состояния, подвижность и электрическая постоянная равны: $N_v = 10^{19}$ см $^{-3}$, $\mu = 7,5$ см 2 /В·с, $\varepsilon = 17$ [11].

Уровни ловушек с энергией 0,47 эВ определены также из измерений

$\sigma(T)$. Приведенные оценки показывают, что за процессы проводимости и явления инжекции ответственны одни и те же уровни.

На рис. 2 показаны ВАХ структур $In-Gd_3S_4-In$ при различных температурах. На них выявляются линейный (I) и степенной (II)

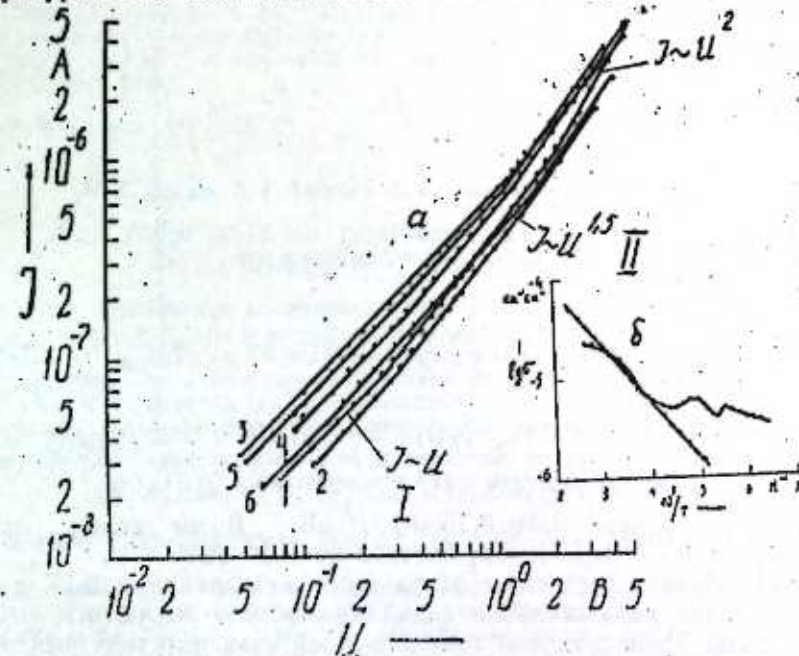


Рис. 2. Стационарные ВАХ структур $In-Gd_3S_4-In$ (а); температурная зависимость электропроводности $\sigma(T)$ монокристаллов Gd_3S_4 (б)

участки. Согласно [15] существование участка «трех вторых» позволяет сделать заключение, что механизм переноса заряда в линейной области ВАХ обусловлен двойной инжекцией при бимолекулярном законе рекомбинации [16]. На зависимости $\sigma(T)$, приведенной на рис. 2, отчетливо видны максимумы при температурах 181, 205 и 257 К.

Предварительный нагрев (или отжиг) образца в темноте до температуры 500 К приводит к освобождению неравновесных носителей заряда, ранее захваченных различными областями макроскопических неоднородностей материала, и тем самым к исчезновению пиков на $\sigma(T)$ (рис. 2, кр. 2). В этом случае на $\sigma(T)$ выявляется только один наклон с энергией активации $\sim 0,24$ эВ.

Так как при измерении температурной зависимости электропроводности монокристалла Gd_3S_4 прикладывалось электрическое поле из линейной области ВАХ, выявление максимумов на $\sigma(T)$ не может быть связано с инжекцией носителей заряда из контакта. Предполагаем, что максимумы на зависимости $\sigma(T)$ обусловлены наличием макроскопических неоднородностей, создающих рекомбинационные барьеры.

На рис. 3 представлена ВАХ структур $In-Gd_3Te_4-In$ при различных температурах. На ВАХ выявляются линейный, квадратичный, кубический участки и область резкого роста тока.

На рис. 3 для Cd_3Te_4 приведены температурные зависимости электропроводности. Видно, что электропроводность с ростом темпе-

ратуры увеличивается и носит экспоненциальный характер $\sigma = \sigma_0 e^{\frac{\Delta E}{KT}}$. На $\sigma(T)$ выявляются три наклона, соответствующие им энер-

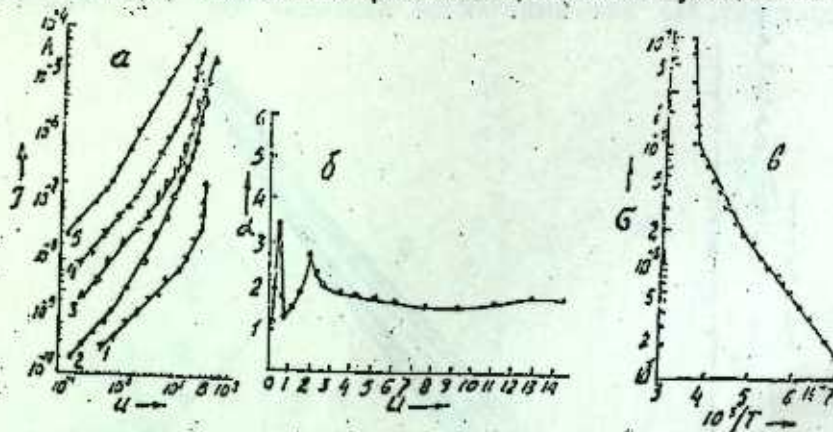


Рис. 3. Стационарная ВАХ структур In-Gd₃Te₄In (а); зависимость показателя степени (а) от напряжения (б); температурная зависимость электропроводности $\sigma(T)$ монокристаллов Gd₃Te₄ (в)

гии активации равны: 0,04; 0,15 и 0,97 эВ. Вычисленная энергия активации из ВАХ для Gd₃Te₄ составляет 0,37 эВ.

Таким образом, на основе результатов исследования ВАХ и $\sigma(T)$ монокристаллов халькогенидов гадолиния можно заключить, что они обладают полупроводниковой температурной зависимостью электропроводности и имеют проводимости *n*-типа по знаку термоэдс [12]. Механизм прохождения тока в нелинейной области ВАХ в них обусловлен инжекцией носителей заряда из электрода.

Выводы

На основе результатов исследований ВАХ, $\sigma(T)$ показано, что монокристаллы халькогенидов гадолиния типа Gd₃X₄ обладают полупроводниковым ходом температурной зависимости электропроводности и механизм прохождения тока в них из нелинейной области ВАХ обусловлен инжекцией носителей заряда из электрода.

Литература

1. Камарзин А. А., Камышлов В. Ф., Косцев Э. Г., Маловицкий Ю. Н.—Изв. АН СССР. Неорган. матер., 1981, т. 17, с. 2143—2145.
2. Ж. Всесоюз. хим. о-ва им. Д. И. Менделеева, 1981, т. XXVI, № 6.
3. Жузе В. П., Камарзин А. А., Соколов В. В., Маловицкий Ю. Н., Бульченко В. П., Смирнов И. А., Шелих А. И.—Письма в ЖТФ, 1980, т. 6, вып. 23, с. 1431—1432.
4. Жузе В. П., Камарзин А. А., Соколов В. В., Волконская Т. И., Смирнов И. А., Шелих А. И.—Письма в ЖТФ, 1981, т. 7, вып. 23, с. 1435—1436.
5. Голубков А. В., Гончаров Е. В., Жузе В. П., Логинов Г. М., Сергеева В. М., Смирнов И. В. Физические свойства халькогенидов редкоземельных элементов (Под ред. В. П. Жузе.)—Л.: Наука, 1973.
6. Batirov F. M., Fridkin V. M., Verkhovskaya A. A.—Phys. st. sol. (a), 1981, 65, № 2, к 163—164.
7. Каминский А. А., Саркисов С. Э., Чан Нчок, Денисенко Г. А., Камарзин А. А., Соколов В. В., Клыгин В. В., Маловицкий Ю. Н.—Изв. АН СССР. Неорган. матер., 1980, т. 16, вып. 8, с. 1333—1345.
8. Камарзин А. А., Мамедов А. А., Смирнов В. А., Соколов В. А., Щербаков И. А.—Квантовая электроника, 1983, т. 10, № 3, с. 569—573.
9. Глушков М. В., Мамедов А. А., Прохоров А. М., Пухлый Ж. А., Щербаков И. А.—Письма в ЖЭТФ, 1980, т. 31, вып. 2, с. 114—117.

10. Leiss M.—J. phys. c. sol. st. phys., 1980, 13, № 1, p. 151—152.
11. Азизов Т. Х., Тагиев Б. Г., Гусейнов А. Г.—Изв. АН АзССР. Сер. физ.-техн. и мат. наук, 1984, № 1, с. 65—68.
12. Азизов Т. Х., Тагиев Б. Г., Гусейнов А. Г. Электрические и фотоэлектрические свойства монокристаллов Gd₃S₄, Gd₃Se₄ (X=S, Se, Te): Препринт № 117, ИФАН АзССР.—Баку, 1984.
13. Солинский М. С. Полупроводники.—М.: Наука, 1961.
14. Зюганов А. И., Свечников С. В. Инжекционно-контактные явления в полупроводниках.—Киев: Наукова думка, 1981.
15. Рашба Э. И., Толпыго К. Б.—ЖТФ, 1956, т. 26, № 7, с. 1419—1427.
16. Webb A., Hall H.—Inorg. Chem., 1970, v. 9, № 5, p. 1084—1090.

Институт физики АН АзССР

Поступило 15. IX 1986

Т. Х. Азизов, Б. Г. Тагиев, А. И. Гусейнов, А. А. Гулиев

Gd₃X₄ (X=S, Se, Te) МОНОКРИСТАЛЛАХА ИНЖЕКЦИЈА ЧӨРӨЈАНЛАРЫ

Мөгаләдә гадолиниймун халькогенидләринин Gd₃X₄ типли монокристаллары кимјәви Дашыма реакциясы үсулу илә јетиндирилмәсидән бәһс едилір.

Мүәјјән олунмушдур ки, онлар јарымкечиричи хәссәләрә маликдирләр. In-Gd₃Te₄-In структурларында Вольт-Ампер характеристикасы гејри-хәтти сәһәсиндә чәрәјанын кечмә механизми икигәт инјексија илә шәртләнившдир.

Көстәрилән бирләшмәләрдә тутучу сәвијәләрин јерләшмә дәринлији вә гатылыгы тәјин олунмушдур.

T. Kh. Azizov, B. G. Tagiev, A. G. Huseinov, A. A. Guliev

THE INJECTION CURRENTS IN Gd₃X₄ (X=S, Se, Te) SINGLE CRYSTALS

It is found that the gadolinium chalcogenides of Gd₃X₄ type, grown by the chemical transport reaction method, have the semiconductor characters.

In In-Gd₃X₄-In structures the current passage mechanism in the non-linear region of current-voltage characteristic is due to the double injection. The bedding depth and concentrations of traps in the indicated compounds are determined.

М. М. АКПЕРОВ

ОБ УЧЕТЕ ТЕПЛОВОЙ НАГРУЗКИ В ТЕРМОЭЛЕКТРИЧЕСКИХ ПРЕОБРАЗОВАТЕЛЯХ ИНФОРМАЦИИ

(Представлено академиком АН Азербайджанской ССР
М. Н. Алиевым)

В [1] было получено выражение для коэффициента усиления термоэлектрического преобразователя информации (ТПИ) по напряжению в предположении, что тепловая нагрузка на рабочем спая термоэлемента (Q_2) отсутствует и теплотой Джоуля (Q_1), выделяющейся в ветвях термоэлемента, можно пренебречь.

В действительности в элементе из материала с фазовым переходом (ФМП, терморезисторы, позисторы) всегда выделяется теплота Джоуля:

$$C_2 = I_2^2 R = \frac{E^2}{R}, \quad (1)$$

где I_2 — ток во вторичной цепи, R — сопротивление элемента с фазовым переходом и E — падение напряжения на ФМП.

В ТПИ, построенном на основе применения сегнетоэлектрика, мощность, выделяющаяся в конденсаторе,

$$C_2 = U^2 \omega c \operatorname{tg} \delta, \quad (2)$$

где c — емкость конденсатора из сегнетоэлектрика, U — падение напряжения на сегнетоэлектрике.

В случае применения феррита роль нагрузки также играют потери в управляемом элементе.

В работе [1] не учтена также теплота Джоуля $C_1 \left(\frac{1}{2} I_1^2 R_r \right)$, которая поступает на рабочий спай из ветвей термоэлемента (этой теплотой можно пренебречь лишь в том случае, когда она много меньше теплоты Пельтье, что не всегда имеет место).

В данной статье рассматривается общий случай: учитываются нагрузки (Q_2) на рабочий спай термоэлемента и теплота Джоуля Q_1 , выделяющаяся в его ветвях.

При учете теплоты Джоуля, выделяющейся в ветвях термоэлемента, уравнение теплового баланса на рабочем спая термоэлемента будет иметь вид:

$$Q = \pm \alpha I_1 T \pm \kappa \Delta T_n + \frac{1}{2} I_1^2 R_r, \quad (3)$$

Знаки перед первыми членами в правой части (3) зависят соответственно от направления тока и теплового потока. Мы для определенности будем рассматривать случай, когда теплота Пельтье отрицательна и больше теплоты Джоуля. Тогда перед первым членом правой части (3) будет стоять знак минус (—), а перед вторым — плюс (+).

Ток через термоэлемент (I_1) при наличии нагрузки, так же как в [1], определяется выражением:

$$I_1 = \frac{U_{вх} - \alpha \Delta T_n}{R_r}, \quad (4)$$

Подставляя (4) в (3) и вводя безразмерные величины $\theta = \frac{\Delta T_n}{T}$,

$$U^* = \frac{u_{вх}}{\alpha T} \quad \text{и} \quad \zeta^* = \frac{Q_2 R}{\alpha^2 T^2},$$

получим квадратное уравнение для определения θ :

$$\theta^2 + \left(2 + \frac{2}{zT} - 2U^* \right) \theta + U^{*2} - 2U^* - 2Q^* = 0. \quad (5)$$

Решение его (имеющее физический смысл) принимает вид:

$$\theta_{1,2} = -1 + U^* - \frac{1}{zT} \pm \sqrt{1 + \frac{1}{z^2 T^2} + \frac{2}{zT} - \frac{2u^*}{zT} + 2Q^*}. \quad (6)$$

Нетрудно показать, что если пренебречь теплотой Джоуля по сравнению с теплотой Пельтье, то уравнение (6) приобретает вид:

$$\theta \left(1 + \frac{1}{zT} \right) = U^* - Q^*,$$

откуда после простых вычислений получим:

$$\Delta T_n = \frac{U_{вх}}{\alpha} \cdot \frac{zT}{1+zT} - \frac{Q_2}{\kappa} \cdot \frac{1}{(1+zT)}. \quad (7)$$

Первый член в правой части (7) в точности соответствует [1] (работе ТПИ без нагрузки), а второй учитывает влияние нагрузки Q_2 .

Однако второй член в правой части (7) не связан с $U_{вх}$ и поэтому создает ложный сигнал на выходе схемы, так же как и при $U_{вх} = 0$.

С целью исключения этих двух паразитных сигналов целесообразно применить мостовую схему, представленную на рисунке, где 1 — термоэлементы, включенные навстречу друг другу, 2 — два управляемых элемента, 3 — термостат, E — опорное напряжение, 4 — выходные сопротивления схемы, 5 — переменные сопротивления для точной балансировки схемы.

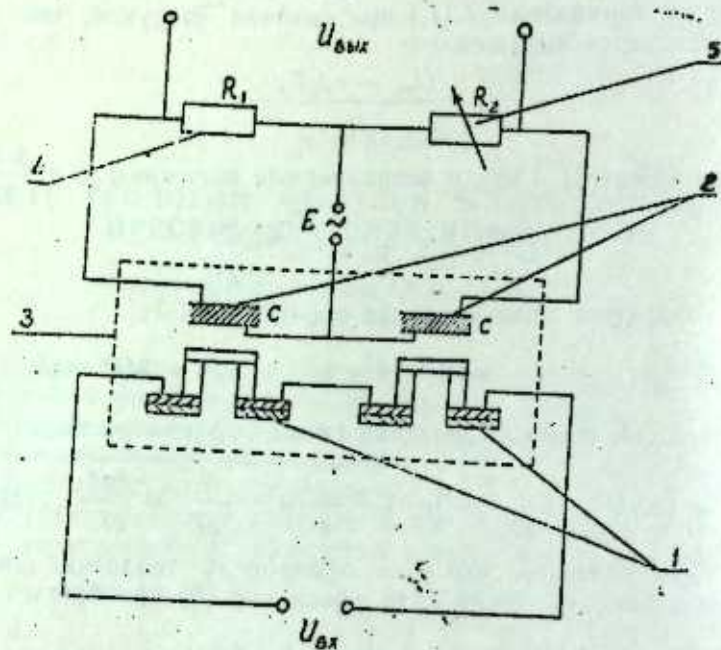
Нетрудно убедиться, что при правильной балансировке и при $U_{вх} = 0$ $U_{вых} = 0$. При подаче входного напряжения на термоэлемент один из рабочих спаев нагревается, а другой — охлаждается, в результате чего баланс мостовой схемы нарушается и на выходе появляется сигнал

$$U_{вх} = \beta U_{вых},$$

где β — коэффициент усиления по напряжению.

При учете изменения тепловой нагрузки (Q_2) на термоэлементе разность температур на его спаях.

$$\Delta T_n = \frac{U_{вх}}{\alpha} \frac{zT}{1+zT} - \frac{Q_2}{\kappa(1+zT)} \quad (8)$$



где $U_{вх}$ —входной сигнал на термоэлементе, α —коэффициент термоэдс термоэлемента, zT —параметр Иоффе, κ —эффективный коэффициент теплопроводности при учете теплообмена с окружающей средой,

$$Q_2 = Q_{2_0} + \Delta Q_2,$$

где

$$\Delta Q_2 = \frac{\partial Q_2}{\partial T} \Delta T_n \quad (9)$$

при $R = r$,

$$\Delta Q_2 = \frac{E^2}{4R^2} \frac{dR}{dT} \Delta T_n.$$

Следовательно,

$$Q_2 = Q_{2_0} + \frac{E^2}{4R^2} \frac{dR}{dT} \Delta T_n,$$

где Q_{2_0} —теплота, выделяемая в управляемом элементе при отсутствии входного сигнала, которую можно исключить, применяя мостовую схему. Поэтому мы в дальнейшем Q_{2_0} не будем учитывать.

При изменении входного сигнала ($U_{вх}$) изменяется ΔT_n , а следовательно, температура и сопротивление управляемого элемента. Это, в свою очередь, влияет на значение Q_2 , а значит, и на значение ΔT_n .

При учете изменения тепловой нагрузки (ΔQ_2) на термоэлементе и исключении Q_{2_0} получим:

$$\Delta T_n = \frac{U_{вх}}{\alpha} \frac{zT}{1+zT} - \frac{\Delta Q_2}{\kappa(1+zT)} \quad (10)$$

Подставляя значение ΔQ_2 согласно (9) в (10), после простых преобразований получим:

$$\Delta T_n = \frac{U_{вх}}{\alpha} \frac{zT}{1+zT} \left| 1 + \frac{E^2}{4R^2} \frac{1}{\kappa} \frac{dR}{dT} \right| \quad (11)$$

и, следовательно,

$$\beta = \frac{U_{вых}}{U_{вх}} = \frac{1}{\alpha} \frac{zT}{1+zT} \frac{E}{4\kappa} \frac{dR}{dT} \left| 1 + \frac{E^2}{4R^2} \frac{1}{\kappa} \frac{dR}{dT} \right| \quad (12)$$

Дифференцируя выражение (12) для β по E , находим оптимальное значение

$$E_{опт} = \sqrt{\frac{4\kappa R^2}{\frac{dR}{dT}}}$$

и максимальное значение коэффициента усиления ТПИ по напряжению

$$\beta_{max} = \frac{1}{\alpha} \frac{zT}{1+zT} \cdot \frac{\sqrt{\kappa}}{z} \left(\frac{dR}{dT} \right)^{1/2}.$$

Приведенные выше расчеты учитывались при создании ТПИ различных назначений.

Литература

1. Агеев Ю. И., Билялов А. Э., Стилбанс Л. С., Шер Э. М. — Письма в ЖТФ, 1981, т. 7, вып. 17, с. 1058—1061.

Сектор радиационных исследований
АН АзССР

Поступило 4. VII 1986

М. М. Эхбаров

ТЕРМОЭЛЕКТРИК МӨЛҮМАТ ЧЕВИРИЧИЛЭРИНДЭ ИСТИЛИК ЈУҚУНУН НЭЗЭРЭ АЛЫНМАСЫ

Мәғалә Пелтје эффекти илә идарә олуған мө'лумат чевиричиләриндә истилик јуқунун нәзәрә алынмасына өз белә чинәзләрдә кириш сигналы илә әләғәси олмајан чыхында алынған паразит сигналларын аридан галдырылмасы јолларына нәср олуңмуш-дур.

М. М. Акперов

ON THE RECORD OF THERMAL LOAD IN THERMAL INFORMATION CONVERTERS

The possibility of recording thermal load in thermal information converters is discussed. Parasitic signals independent of the input signal are shown to appear at the output of thermal information converters.

To eliminate the parasitic signals the bridge network is suggested.

М. Н. АЛИЕВ

ТЕОРИЯ ЭЛЕКТРОННОГО ПАРАМАГНИТНОГО РЕЗОНАНСА В ПОЛУМАГНИТНЫХ ПОЛУПРОВОДНИКАХ

(Представлено академиком АН Азербайджанской ССР Н. А. Гулиевым)

Полумагнитные полупроводники (ПМП), известными представителями которых являются тройные соединения $Hg_{1-x}Mn_xTe$ и $Hg_{1-x}Mn_xSe$, благодаря своим необычным полупроводниковым и магнитным свойствам стали в последнее время объектом многочисленных работ [1].

Неупорядоченность магнитной подсистемы и сильное обменное взаимодействие между электронами проводимости и локализованными спинами до настоящего времени затрудняют создание корректной физической модели ПМП. Изучение различных аспектов ЭПР в ПМП, видимо, может сыграть решающую роль в преодолении возникающих принципиальных трудностей [2]. Особенно информативными и легко наблюдаемыми величинами в ЭПР являются сдвиг и ширина линии.

Целью настоящей статьи является вычисление методом аналитических функций Грина (ФГ) ширины и сдвига линии ЭПР в ПМП при низких температурах. Ширина и сдвиг линии ЭПР согласно теории ФГ [3] отыскиваются как мнимая и реальная части массового оператора $M(E)$ соответствующей спиновой ФГ:

$$\langle S_e^+(t) | S_{e'}^-(t') \rangle = i\theta(t-t') \langle [S_e^+(t), S_{e'}^-(t')] \rangle.$$

Здесь S^\pm — операторы локализованных спинов, $\theta(t-t')$ — разрывная функция. Для отыскания $M(E)$ записываем уравнение движения (УД) ФГ:

$$E \langle S_e^+ | S_{e'}^- \rangle = -\delta_{ee'} + \langle [S_e^+, H] | S_{e'}^- \rangle. \quad (1)$$

Для УД (1) требует явного вида гамильтониана системы H . Для ПМП H имеет следующий вид: $H = H_0 + H_{int}$:

$$H_0 = \sum_{ko} E_{ko} b_{ko}^+ b_{ko} - h\omega_c \sum_j S_z(r_j) - h\omega_s \sum_j S_j^z; \\ H_{int} = - \sum_j I(R_j - r_j) \left\{ S_j^z S^z(r_j) + \frac{1}{2} [S_j^- S^+(r_j) + S_j^+ S^-(r_j)] \right\} - \\ - \sum_j \sum_{j'} \left[A_{jj'} S_j^z S_{j'}^z + \frac{1}{2} B_{jj'} (S_j^+ S_{j'}^- + S_j^- S_{j'}^+) \right]; \quad (2)$$

$$A_{jj'} = J_{jj'} + A_{jj'}^{DD}; \quad B_{jj'} = J_{jj'} + B_{jj'}^{DD}.$$

Здесь H_0 — гамильтониан невзаимодействующих электронов проводимости и локализованных спинов, H_{int} — их гамильтониан обменного

и диполь-дипольного взаимодействия, I, J — обменные интегралы, ω_c, ω_s — зеемановы частоты, $S^\pm(v)$, $S^z(v)$ — спиновые операторы электронов проводимости, $A_{jj'}^{DD}, B_{jj'}^{DD}$ — диполь-дипольные коэффициенты. УД для начальной ФГ находим, учитывая (2) в (1):

$$(E - \omega_s - M) \langle S_e^+ | S_{e'}^- \rangle = -\delta_{ee'}, \quad (3)$$

где

$$M(E) = M_{ex} + M_{ss} = \left\{ \frac{1}{h} I(R_e - r_e) \langle S_e^+ S^z(r_e) | S_{e'}^- \rangle - \langle S_e^z S^+(r_e) | S_{e'}^- \rangle \right\} + \frac{2}{h} \sum_j [A_{je} \langle S_e^+ S_j^z | S_{e'}^- \rangle - B_{je} \langle S_e^z S_j^+ | S_{e'}^- \rangle] G^{-1}. \quad (4)$$

M состоит из массовых операторов M_{ex} и M_{ss} , обусловленных электрон-локализованным спин, спин-спин обменным и диполь-дипольными взаимодействиями. M легко вычисляется, если использовать приближение случайных фаз (ПСФ) типа $\langle S_e^+ S^z(v_e) | S_{e'}^- \rangle \sim \langle S^z(v) \rangle \times \langle S_e^+ | S_{e'}^- \rangle$. Мы предполагаем, что ПСФ является недостаточно корректным, и будем в данной статье пользоваться методом нестандартной теории возмущения для ФГ [4].

Дифференцируя ФГ, стоящие справа в (4), по t' и оставляя ненулевыми в данном приближении ФГ, находим:

$$-(E - \omega_s) \langle S_e^+ S^z(r) | S_{e'}^- \rangle = \langle S^z(v) \rangle \delta_{ee'} -$$

$$\frac{1}{h} I(R_e - r_e) \langle S_e^+ S^z(r_e) | S_{e'}^- S^z(r_{e'}) \rangle - \frac{2}{h} \sum_j A_{je} \langle S_e^+ S^z(r_e) | S_j^z S_{e'}^- \rangle, \quad (5)$$

$$-(E - \omega_s) \langle S_e^z S^+(v) | S_{e'}^- \rangle = \frac{1}{h} I(R_e - r_e) \langle S_e^z S^+(v) | S_{e'}^- S^-(v) \rangle, \quad (6)$$

$$-(E - \omega_s) \langle S_e^+ S_j^+ | S_{e'}^- \rangle = \delta_{ee'} \langle S_j^+ \rangle -$$

$$-\frac{1}{h} I(R_e - r_e) \langle S_e^+ S_j^+ | S_{e'}^- S^z(v_{e'}) \rangle - \frac{2}{h} \sum_{j'} A_{j'e} \langle S_e^+ S_j^+ | S_{j'}^z S_{e'}^- \rangle, \quad (7)$$

$$-(E - \omega_s) \langle S_e^z S_j^+ | S_{e'}^- \rangle = \frac{2}{h} \sum_{j'} B_{j'e} \langle S_e^z S_j^+ | S_{j'}^- S_{e'}^- \rangle. \quad (8)$$

Найденные соотношения показывают, что наша задача свелась к отысканию ФГ более высокого порядка, чем начальная. Вводим поляризационные операторы $P = P_{ex} + P_{ss}$ и составляя УД, находим:

$$\langle S_e^+ S^z(v) | S_{e'}^- S^z(v_{e'}) \rangle = -\delta_{ee'} \langle S^z(v_e) S^z(v_{e'}) \rangle (E - \omega_s - P)^{-1}, \quad (9)$$

$$\langle S_e^z S^+(r_e) | S_{e'}^- S_j^+ \rangle = -\delta_{ee'} \langle S^z(v_e) S_j^+ \rangle (E - \omega_s - P_1)^{-1}, \quad (10)$$

$$\langle S_e^z S^+(v_e) | S_{e'}^- S_{e'}^- \rangle = -\delta_{ee'} \langle (S_e^z)^2 \rangle (E - \omega_s - P_2)^{-1}, \quad (11)$$

$$\langle S_e^+ S_j^+ | S_{e'}^- S^z(v_{e'}) \rangle = -\delta_{ee'} \langle S_j^+ S^z(v) \rangle (E - \omega_s - P_3)^{-1}, \quad (12)$$

$$\langle S_e^+ S_j^+ | S_{e'}^- S_{e'}^- \rangle = -\delta_{ee'} \langle S_j^+ S_{e'}^- \rangle (E - \omega_s - P_4)^{-1}, \quad (13)$$

$$\langle S_e^z S_j^+ | S_{e'}^- S_{e'}^- \rangle = -\delta_{ee'} \langle S_e^z S_{e'}^- \rangle (E - \omega_s - P_5)^{-1}. \quad (14)$$

Поляризационные операторы (ПО) P могут быть найдены из сравнения уравнений (9—14) и соответствующих УД. ПО возможно оценить также, используя экспериментальные данные. Отыскание яв-

ного вида P имеет самостоятельный интерес и является отдельной задачей.

Массовый оператор $M(E)$ находим, подставив (9-4) в (4):

$$M(E) = \Delta_1 + \frac{1}{h^2} P(R_c - r_c) [\langle (S^z(v))^2 \rangle (\Omega + i\gamma)^{-1} + \langle (S_c^z)^2 \rangle (\Omega_2 + i\gamma_2)^{-1}] + \frac{2}{h^2} \sum_{j'} A_{j'e} I(R_c - r_c) [(\Omega_1 + i\gamma_1)^{-1} + (\Omega_3 + i\gamma_3)^{-1}] \langle S^z(v) S_j^z \rangle + \frac{4}{h^2} \sum_{j'} \sum_{j''} [A_{j'e} A_{j''e} \langle S_j^z S_{j''}^z \rangle (\Omega_4 + i\gamma_4)^{-1} + B_{j'e} B_{j''e} \langle (S_c^z)^2 \rangle (\Omega_5 + i\gamma_5)^{-1}] \quad (15)$$

Введены следующие обозначения:

$$\Delta_1 = \frac{1}{h} I(R_c - r_c) \langle S^z(v_c) \rangle + \frac{2}{h} \sum_j A_{j'e} \langle S_j^z \rangle; \quad \Omega = \omega_1 - \lambda;$$

$$\omega_1 = \omega - \omega_s; \quad \lambda = R_c P(\omega); \quad \gamma = I_m P(\omega); \quad \Omega_2 = \omega_2 - \lambda_2;$$

$$\omega_2 = \omega - \varepsilon(q) - \omega_c; \quad \Omega_3 = \omega_1 - \lambda_3; \quad \Omega_4 = \omega_1 - \lambda_4; \quad \Omega_5 = \omega_1 - \lambda_5.$$

Здесь γ описывает вероятность перехода локализованного спина, λ — поправка к энергии системы.

Имея явный вид $M(E)$, нетрудно найти сдвиг Δ и ширину δ ЭПР в ПМП при низких температурах:

$$\Delta = \Delta_1 + \frac{I^2}{h^2} [\langle (S^z(v))^2 \rangle \langle \Omega (\Omega^2 + \gamma^2)^{-1} + \langle (S_c^z)^2 \rangle \Omega_2 (\Omega_2^2 + \gamma^{-1})^2 + \frac{2}{h} \sum_{j'} A_{j'e} I(R_c - r_c) [\Omega_1 (\Omega_1^2 + \gamma_1^2)^{-1} + \Omega_3 (\Omega_3^2 + \gamma_3^2)^{-1}] \langle S^z(v) S_j^z \rangle + \frac{4}{h^2} \sum_{j'} \sum_{j''} [A_{j'e} A_{j''e} \langle S_j^z S_{j''}^z \rangle \Omega_4 (\Omega_4^2 + \gamma_4^2)^{-1} + B_{j'e}^2 \Omega_5 (\Omega_5^2 + \gamma_5^2)^{-1} \langle (S_c^z)^2 \rangle]; \quad (16)$$

$$\delta = \frac{I^2}{h^2} [\gamma \langle (S^z(v))^2 \rangle (\Omega^2 + \gamma^2)^{-1} + \gamma_2 \langle (S_c^z)^2 \rangle (\Omega_2^2 + \gamma_2^2)^{-1}] + \frac{2}{h} \sum_{j'} A_{j'e} I(R_c - r_c) \langle S^z(v) S_j^z \rangle [\gamma_1 (\Omega_1^2 + \gamma_1^2)^{-1} + \gamma_3 (\Omega_3^2 + \gamma_3^2)^{-1}] + \frac{4}{h^2} \sum_{j'} \sum_{j''} [A_{j'e} A_{j''e} \langle S_j^z S_{j''}^z \rangle \gamma_4 (\Omega_4^2 + \gamma_4^2)^{-1} + B_{j'e}^2 \langle (S_c^z)^2 \rangle \gamma_5 (\Omega_5^2 + \gamma_5^2)^{-1}]. \quad (17)$$

Найденные выражения (16) и (17) показывают, что в ширину и сдвиг линии вносят свой вклад обменное и спин-спиновое взаимодействия. Наряду с отдельными вкладами этих взаимодействий имеется также и их интерференционный вклад. Рассмотрим интересные с точки зрения эксперимента частные случаи малых концентраций парамагнитных ионов ($I \gg A$) и быстрых флуктуаций локального магнитного поля ($\gamma \gg I$), $S(v) = S = \frac{1}{2}$. Для данного случая смещение ре-

зонансной частоты не происходит: $\Delta = 0$. Ширина линии имеет следующий вид:

$$\delta = \frac{1}{4} \frac{I^2}{\gamma_{ex}} \quad (18)$$

Соотношение (18) дает возможность оценки величины I . Измерив ширину линии ЭПР δ и вычислив γ_{ex} , легко найти величину обменного интеграла I .

При медленных флуктуациях локального поля ($\gamma \ll I$) для сдвига линии имеем:

$$\Delta_m = \frac{1}{h} I(R - r) \langle S^z(v) \rangle. \quad (19)$$

Для оценки обменного интеграла I соотношение (19) является наиболее простым и удобным, так как сдвиг линии Δ_m легко измеряется. Ширина линии при медленных флуктуациях получается в виде

$$\delta_m = \frac{\gamma_{ex}}{2}. \quad (20)$$

Уширение линии происходит в данном случае из-за переориентации локализованных спинов, обусловленных обменным взаимодействием с электронами проводимости.

Литература

1. Ляпилин И. И., Цидилоковский И. М. Узкощелевые полумагнитные полупроводники.—УФН, 1985, 146, В, № 5, с. 35.
2. Furdyna J. K.—J. Appl. Phys., 1982, 53, 7637.
3. Табликов С. В. Методы квантовой теории магнетизма.—М.: Наука, 1965.
4. Алиев М. Н. Нестандартная теория возмущения для функций Грина.—Изв. вузов. Физика, 1978, 8, с. 126.

АГУ им. С. М. Кирова

Поступило 26. VI 1986

М. Н. Алиев

ЖАРЫММАГНИТ ЖАРЫМКЕЧИРИЧИЛЭРДЭ ЭЛЕКТРОН ПАРАМАГНИТ РЕЗОНАНСЫНЫН НЭЗЭРИЛЖЭСИ

Мөгаләдә Грин функциясы методу илә Жарыммагнит жарымкечирчиләрдә электрон парамагнит резонансы әрчисини ашағы температурларда кечирчи электроларын локаллашмыш спинләрлә мүбәдилә вә спин-спин гаршилыгы тәсири һесабына жарымши ени вә сүрүшмәси һесаблинамшдыр.

M. N. Aliev

THEORY OF THE ELECTRON PARAMAGNETIC RESONANCE IN SEMIMAGNETIC SEMICONDUCTORS

The EFR linewidth and lineshift in semimagnetic semiconductors at low temperatures were found using Green's function method. Contributions to the linewidth and lineshift due to the exchange interaction and spin-spin interaction of the localized spins and conduction electrons were calculated.

Н. С. ДЖАЛИЛОВ, К. А. РУСТАМОВ

МАГНИТОГИДРОДИНАМИЧЕСКИЕ ВОЛНЫ В СИЛЬНО НЕОДНОРОДНОЙ АТМОСФЕРЕ С ГОРИЗОНТАЛЬНЫМ МАГНИТНЫМ ПОЛЕМ

(Представлено академиком АН Азербайджанской ССР Г. Ф. Султановым)

Современная теория магнитогиродинамических (МГД) волн с учетом влияния на их характеристики силы тяжести газа основывается на точных аналитических решениях уравнений, которые удается получить для случая изотермической атмосферы. Решения уравнения для МГД-волн в изотермической атмосфере для случая вертикального поля получены в [1], а случай наклонного поля исследован в [2, 3, 4]. Случай МГД-волн, бегущих вдоль горизонтального магнитного поля в изотермической атмосфере, впервые и наиболее полно рассмотрен Бренгаузом [5]. Им показано, что в атмосфере возникает сингулярный уровень, в котором волны сильно поглощаются.

Рассмотрение общего случая горизонтального поля затрудняется тем, что в атмосфере возникают два сингулярных уровня, на которых происходит поглощение волн (общий случай в том смысле, что волны могут распространяться под любым углом относительно магнитного поля). В сущности поглощение волн на сингулярном уровне является трансформацией в волны, которые распространяются в горизонтальном направлении вдоль этого уровня.

В [6] получено точное аналитическое решение волнового уравнения, описывающего распространения волн поперек горизонтального магнитного поля. Эти результаты используются для объяснения захвата низкочастотных волн в хромосферном резонаторе.

В данной статье рассматривается распространение МГД-волн в экспоненциальной сжимаемой атмосфере в присутствии горизонтального магнитного поля. Полагается, что в верхних слоях атмосферы существует холодный или горячий слой газа с определенной толщиной, с которого волны могут эффективно отражаться. Найдены энергетические коэффициенты прохождения и отражения волн. Полученные результаты применяются для объяснения некоторых свойств солнечных протуберанцев.

Уравнение и его решение. Уравнение малых колебаний неоднородной проводящей сжимаемой плазмы, находящейся в поле тяжести $g = [0, 0, g]$ и однородном внешнем горизонтальном магнитном поле $B = [B, 0, 0]$, является частным случаем уравнения, которое было выведено в [7]:

$$\frac{\partial^2 V}{\partial t^2} = c_0^2 \nabla (\text{div } V + g \cdot V) + (\gamma - 1) g \text{ div } V - v_A^2 i \times \text{rot rot } (V \times i), \quad (1)$$

где V — скорость движения плазмы, c_0 — адиабатическая скорость звука $v_A = \frac{B}{\sqrt{4\pi\rho_0}}$ — альвеновская скорость, $\rho_0(z) = \rho_{00} \exp \frac{z}{H}$ — невозмущенная плотность атмосферы, $H = c_0^2/\gamma g$ — высота однородной атмосферы, γ — отношения теплоемкостей, i — единичный вектор в направлении магнитного поля. Для волн, распространяющихся в изотермической атмосфере ($c_0 = \text{const}$) в направлении поперек магнитного поля ($\kappa_x = 0, \kappa_y \neq 0, \kappa = (\kappa_x^2 + \kappa_y^2)^{1/2}$ — горизонтальное волновое число), уравнение (1) сводится к виду:

$$\left[\prod_{j=1}^2 (\delta - b_j) + \xi \prod_{j=1}^2 (\delta - a_j + 1) \right] u = 0, \quad (2)$$

где $\xi = c_0^2/v_A^2$ — безразмерная независимая переменная, оператор $\delta = \xi \frac{d}{d\xi}$, u — амплитуда дивергенции скорости ($\text{div } V = u(z) \exp i \times (\omega t + \kappa_y y)$),

$$a_{1,2} = 1 \pm i\alpha/2, \quad b_{1,2} = (1 \pm i\beta)/2, \\ \alpha^2 = \frac{4}{\gamma} \Omega^2 - 1 + 4\kappa^2 \left(\frac{\gamma-1}{\gamma\Omega^2} - 1 \right), \quad \beta^2 = 4\kappa^2 \left(\frac{1}{\Omega^2} - 1 \right).$$

$\Omega = \omega c_0/\sqrt{\gamma g}$ — безразмерная частота, $\kappa = \kappa_y H$ — безразмерное волновое число. Фундаментальное решение этого уравнения выражается через функции Мейера [8]:

$$u = C_{1,2} G_{2,2}^{1,2} \left(\begin{matrix} a_1, a_2 \\ b_1, b_2 \end{matrix} \middle| \xi \right) + C_2 G_{2,2}^{1,2} \left(\begin{matrix} a_1, a_2 \\ b_2, b_1 \end{matrix} \middle| \xi \right), \quad (3)$$

где $C_{1,2}$ — произвольные постоянные. Анализ этого решения показывает, что квазиклассическое приближение для распространения волн реализуется при $\xi \gg 1$ ($c_0^2 \gg v_A^2$) и $\xi \ll 1$ ($c_0^2 \ll v_A^2$). При этих значениях переменной ξ решение (3) с достаточной степенью точности выражается приближенными формулами:

$$u \approx \xi^{-1/2} (C_1 \xi^{1/2} + C_2 \xi^{-1/2}), \quad \xi \gg 1, \\ u \approx \xi^{1/2} (C_1 \xi^{1/2} + C_2 \xi^{-1/2}), \quad \xi \ll 1. \quad (4)$$

Из (4) следует, что в глубоких слоях атмосферы, где выполняется условие слабого поля $c_0^2 \gg v_A^2$, вертикальная компонента волнового вектора равна:

$$\kappa_z^2 = \frac{\alpha^2}{4H^2} = \frac{\omega^2}{c_0^2} - \frac{1}{4H^2} + \kappa_y^2 g^2 \frac{\gamma-1}{c_0^2 \omega^2} - \kappa_y^2. \quad (5)$$

Это обычное дисперсионное уравнение для атмосферных волн изотермической атмосфере без магнитного поля. Таким образом, в слоях, где $c_0^2 \gg v_A^2$, магнитное поле в первом приближении не влияет на распространение волн.

Из второго выражения в (4) следует, что дисперсионное уравнение для волн в верхних слоях атмосферы, где выполняется условие сильного магнитного поля $v_A^2 \gg c_0^2$, имеет вид:

$$\kappa_z^2 = \frac{\gamma \kappa_y^2 g^2}{c_0^2 \omega^2} - \kappa_y^2 - \frac{1}{4H^2}. \quad (6)$$

Очевидно, что дисперсионное уравнение (6) получается из уравнения (5) предельным переходом $\gamma \rightarrow \infty$. Сильное магнитное поле делает проводящую плазму несжимаемой, т. е. в процессе колебаний плотность плазмы в лагранжевых переменных не меняется. Естественно, что в несжимаемой среде акустические волны отсутствуют. В случае дисперсионного уравнения (6) это выражается в том, что волны с частотой, большей

$$\omega = \left[\frac{V_T \kappa_y^2 g^2}{c_0^2 (\kappa_y^2 + H^2/4)} \right]^{1/2} \quad (7)$$

являются поверхностными. Волны с частотой, меньшей (7), являются гравитационными волнами.

Распространения волн. В предыдущем разделе было получено, что атмосферные волны (акустические, гравитационные, поверхностные), которые возникают в областях $c_0^2 \gg v_A^2$, трансформируются в бегущие несжимаемые гравитационные волны в сильном магнитном поле. Уровень трансформации соответствует уровню, где $v_A \approx c_0$. Будем предполагать, что выше этого уровня в атмосфере существует слой газа с толщиной l , температурой T , которая резко отличается от температуры окружающей атмосферы T_1 . Волны на пути своего распространения встречаются с этим слоем и из-за резкого изменения температуры среды в верхней и нижней границах слоя происходит отражение волн. Таким образом, рассматриваемый слой является волноводом для несжимаемых гравитационных волн.

Основная наша цель — найти энергетические коэффициенты прохождения и отражения волн от этого слоя.

Как известно из [9], граничные условия на резкой границе, вдоль которой расположено магнитное поле, имеют вид:

$$(\text{div } v) = 0, \quad \left\{ \frac{\partial v_z}{\partial z} \right\} = 0. \quad (8)$$

Знак $\{ \}$ означает разницу u по обеим сторонам границы. Далее полагаем, что сверху на слое отсутствует падающая волна, т. е. в слоях, где $\xi \rightarrow 0$, отсутствует источник колебания.

Из исходных уравнений магнитной гидродинамики легко можно найти, что, когда волны распространяются поперек магнитного поля; $V_z = 0$,

$$\delta V_z = \frac{1}{\xi} \frac{\gamma}{\Omega^4 - \kappa^2} (\kappa^2 - \Omega^2 \delta) (\delta - 1) u. \quad (9)$$

Совместимость условий (8) однозначно определяет амплитуды волн, отраженных от нижней границы и уходящих от верхней границы слоя. Выполняя довольно громоздкие промежуточные вычисления, находим энергетические коэффициенты прохождения Q и отражения R несжимаемых гравитационных волн от слоя с толщиной l и с температурой T :

$$Q = \frac{x^2 \beta_1^2 \beta^2}{\text{ch } \nu \cos^2(\beta \theta)} \frac{1}{P_1^2 + P_2^2}, \quad (10)$$

$$R = 1 - Q.$$

Здесь

$$P_1 = \beta (2\Omega^2 - x) \text{th } \nu + [(x-1)(2\Omega^2 \text{th } \nu - x +$$

$$+ \frac{2\kappa^2}{\Omega^2} \frac{e^{-\nu}}{\text{ch } \nu} - x^2 \beta_1^2] \text{tg }(\beta \theta),$$

$$P_2 = x \beta_1 [\beta + (2\Omega^2 - 1) \text{th } \nu \text{tg }(\beta \theta)],$$

$$\theta = \frac{l}{2H}, \quad \nu = \theta (1-x), \quad x = \frac{T}{T_1} \text{ — отношение температур,}$$

$$\beta_1^2 = \frac{4\kappa^2}{(x\Omega)^2} (x - \Omega^2) - 1.$$

Из (10) следует, что, когда отсутствует в атмосфере температурная структура $(x-1)$, $Q \rightarrow 1$, т. е. отражение волн не имеет места.

На рис. 1 показана зависимость коэффициента прохождения волн Q от κ при данной частоте $\Omega = 0,05$. Видно, что слой в атмосфере, кото-

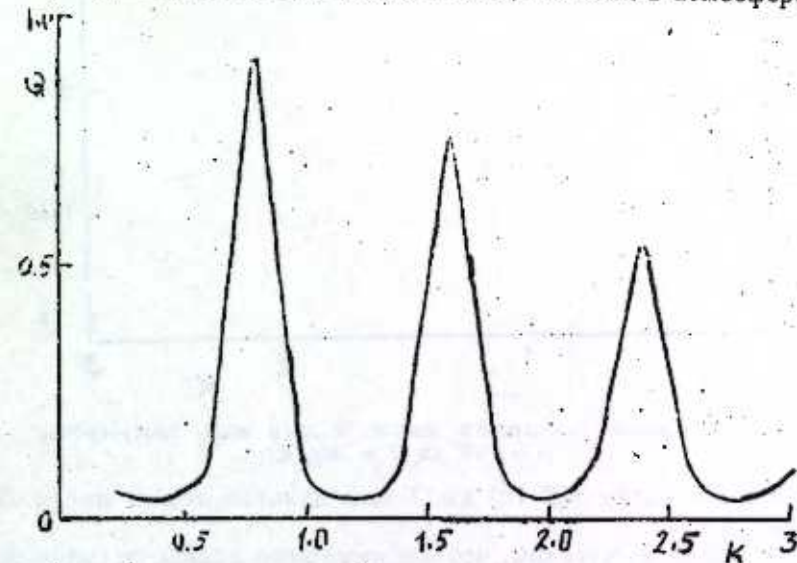


Рис. 1. Зависимость энергетического коэффициента прохождения несжимаемых гравитационных волн Q от волнового числа κ

рый имеет температуру, отличную от температуры окружающей среды, при падении на него волн действует как волновод. Появляются выделенные частоты и длины волн, при которых в результате эффекта резонанса усиливается проходимость волн.

Волны в солнечных протуберанцах. Солнечный протуберанец представляет собой огромный слой из плотной холодной плазмы, окруженный более горячим и разреженным корональным веществом. Средняя температура протуберанца равна 7000 К, а высота его $l = 5 \cdot 10^4$ км [10]. Внутри протуберанца существует множество тонкоструктурных элементов в виде нитей толщиной ≤ 300 км. Окружающая корона имеет температуру $\sim 10^6$ К.

Как известно из [11], вся атмосфера Солнца охвачена колебаниями с периодом около 5 мин. Естественно ожидать такие колебания и в протуберанцах. На рис. 1 $\theta = 0,1$, $x = 0,01$ и $\Omega = 0,05$. Это означает, что тонкоструктурные элементы протуберанца колеблются с довольно низкой частотой. Резонансные частоты и волновые числа, которые указаны на рис. 1, возникают за счет члена $\cos(\beta \theta)$ в (10), т. е.

должны удовлетворять условию $\beta\theta = \frac{\pi}{2}(2n+1)$, где $n = 0, 1, 2, \dots$

Отсюда находим условия для резонансных частот. На рис. 2 изображена кривая зависимости резонансных периодов от горизонтальной длины волн. В протуберанце существуют волны с периодом 5 мин и с горизон-

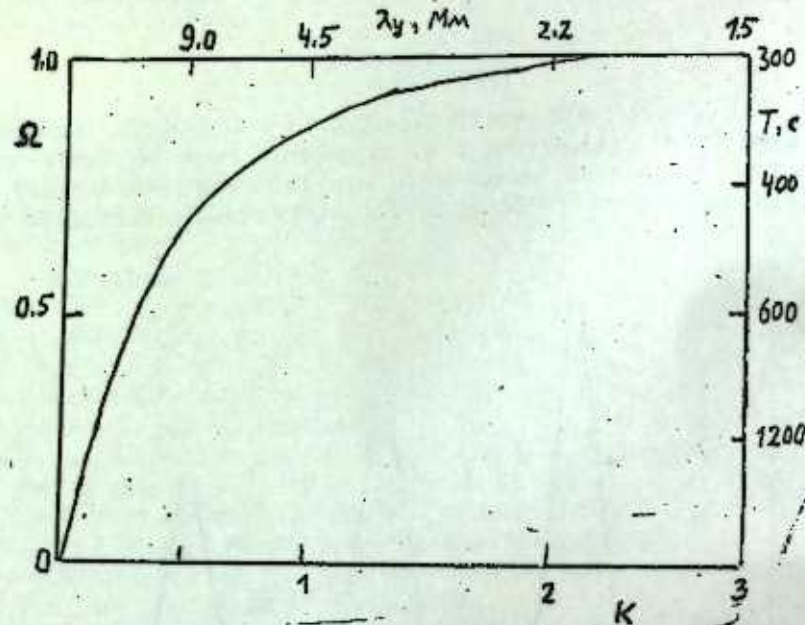


Рис. 2. Кривая резонансных частот и длин волн протуберанца ($l = 5 \cdot 10^4$ км, $T = 7000$ К)

тальной длиной волны $\leq 2 \cdot 10^3$ км. Более длинные волны имеют более низкие частоты.

Таким образом, находим, что несжимаемые волны, находящиеся в сильном горизонтальном магнитном поле протуберанца, оборачиваются с периодом ≥ 5 мин.

Литература

1. Жугжда Ю. Д., Джалилов Н. С.—Физика плазмы, 1982, 8, 990.
2. Zhugzhda Y. D. and Dzhalilov N. S.—Astron. Astrophys., 1984, 132, 45.
3. Zhugzhda Y. D. and Dzhalilov N. S.—Astron. Astrophys., 1984, 132, 52.
4. Жугжда Ю. Д., Джалилов Н. С.—Физика плазмы, 1983, 11, 1006.
5. Бренгауз В. Д.—Изв. АН СССР. Механика жидкости и газа, 1970, 1, 3.
6. Жугжда Ю. Д., Джалилов Н. С.—Письма в АЖ, 1985, 11, 712.
7. Сыроватский С. И., Жугжда Ю. Д.—Аж, 1967, 44, 1180.
8. Люк Ю. Специальные математические функции и их аппроксимация.—М.: Мир, 1980.
9. Ландау Л. Д., Лифшиц Е. М. Электродинамика сплошных сред.—М.: Наука, 1982.
10. Прист Э. Р. Солнечная магнитогидродинамика.—М.: Мир, 1985.
11. Deubner F. L., Ulrich R. K. and Rhodes E. J.—Astron. Astrophys., 1979, 72, 177.

Шемахинская астрофизическая обсерватория АН АзССР

Поступило 1. VIII 1986

Н. С. Чалилов, К. Э. Рустамов

ГОРИЗОНТАЛ МАГНИТ САНЪЛИ КУЧЛУ ГЕЈРИ-БИРЧИНС АТМОСФЕРДА МАГНИТ-ГИДРОДИНАМИК ДАЛГАЛАР

Магаләдә МНД-далгаларынын магнитләниш изотермик атмосфердә јайылмасы тәдгиг олуур. Тапылаи аналитик һәлл магнитгравитасија далгаларынын температуру

әтраф мүнһити температуридан кәскии фәргләниш газ лајындан енержи сымдырма нә кечмә әмсалларыны тапымаг имкан верир. Гурулаи изәри модел күнәш протуберансларында периоду 5 дәг. олаи далгаларын әмәлә кәлмәсини изәи едир.

N. S. Dzhalilov, K. A. Rustamov

MAGNETOHYDRODYNAMICAL WAVES IN GREATLY NONHOMOGENEOUS ATMOSPHERE WITH HORIZONTAL MAGNETIC FIELD

Magnetohydrodynamical wave distribution is considered in isothermal atmosphere at the presence of horizontal magnetic field. Analytical solution received allows to determine energetic passage and reflection coefficients of magnetogravitational waves from the gaseous layer, the temperature of which sharply differs from the surrounding temperature. The design of theoretical model explains the existence of oscillations in solar prominence within the periods of > 5 min.

Г. Г. ГАДЖИЕВ, Ф. Х. КАСУМОВ, М. А. СЕЙИДОВ, А. В. РАГИМОВ

ИССЛЕДОВАНИЕ СТРУКТУРЫ ОЛИГОАНИЛИНА

(Представлено академиком АН Азербайджанской ССР
Т. Н. Шахтахтинским)

С 30-х годов прошлого века структурная особенность высокомолекулярных соединений анилина, полученных при его окислении, является предметом исследования различных ученых [1—4]. Данное обстоятельство, прежде всего, было связано с широкомасштабным применением этих соединений, в частности, «анилинового черного» в качестве высокоэффективного красителя в текстильной промышленности [5]. В связи с требованиями текстильной промышленности в процессе окрашивания анилин подвергался глубокому окислению в присутствии сильных неорганических окислителей, с тем чтобы получить прочносвязанный с волокном и глубокоокрашенный полимерный продукт. Сильные окислители обычно приводят к образованию нерастворимых и неплавких полимеров с преобладающими л-хинондииминными звеньями $-N=\langle \text{C}_6\text{H}_4 \rangle=N-$, которые характеризуются высокими термо-, химо- и растворителестойкостями. Это осложняло изучение их структуры.

С появлением в последнее 25-летие новых областей применения поли- и олигоанилинов в качестве полупроводников [6], полимерных электродов [7, 8] и отвердителей эпоксидных смол [9] возникла настоятельная необходимость в получении растворимых и плавких олигофениленаминов. Наши усилия в этом направлении позволили с применением умеренных окислителей разработать новый метод синтеза [10] плавкого и растворимого олигоанилина.

Настоящая статья посвящена изучению и установлению структуры олигоанилина, полученного в присутствии гипохлорита натрия при следующих условиях: анилин: NaOCl —1:3 моль, 30%-ный водный раствор NaOCl , T —80°C, время—5 ч. Полученный олигоанилин представляет собой черное плавкое (70°C) и твердое вещество, растворяющееся в полярных (ацетон, диоксан, ТГФ, ДМФ и т. д.) и неполярных (ароматические и хлоруглеводороды) растворителях.

Олигоанилин характеризуется низкими ММ ($\bar{M}_w=580$, $\bar{M}_n=350$) и полидисперсностью ($\bar{M}_w/\bar{M}_n=1,65$), а по элементному составу (С—77,8; N—14,8%) близок к анилину (с—79,1; N—15,4%).

Электронный спектр олигоанилина, снятый из разбавленных диансановых растворов на спектрометре «Спекорд», указывает на поглощение

УФ-света в широкой области 250—350 нм. На нем проявляется два максимума при 270 (слабый) и 290 нм (сильный). Полоса поглощения при 290 нм вызвана феноленовыми ядрами олигоанилина. Если в спектре анилина данный пик благодаря участию неспаренных электронных пар азота в резонансе ароматической системы смещен на 25 нм по сравнению с аналогичной полосой бензольного ядра, то в спектре олигоанилина bathochromic сдвиг данной полосы поглощения составляет 35 нм. Это, очевидно, обусловлено системой полисопряжения макромолекул олигоанилина, в которой участвуют и атомы азота.

Направленность реакции окислительной поликонденсации анилина, а также известные данные о структуре анилинового черного позволили нам предположить, что макромолекулы олигоанилина должны быть построены из структурных фрагментов анилина и дифениламина. Поэтому для идентификации структуры олигоанилина в качестве исходной точки мы решили использовать ИК-спектры анилина, дифениламина (ДФА) и их смесей. Спектр анилина в четыреххлористом углероде отличается от спектра чистого анилина четкими и более строгими расщеплениями близко стоящих полос поглощения колебаний первичных аминных групп при 3365 и 3450, 1500 и 1465 cm^{-1} , а также колебаний гипсохромное смещение полосы поглощения анилина в области 3365 cm^{-1} ароматических СН-групп при 3030—3100 cm^{-1} . При этом наблюдаются гипсохромное смещение полосы поглощения анилина в области 3365 cm^{-1} на 10—15 cm^{-1} в растворе четыреххлористого углерода и увеличение интенсивности полосы поглощения аминных групп (1620 cm^{-1}) и ароматических ядер (1600 cm^{-1}). В ИК-спектре анилина в CCl_4 отсутствует полоса при 1400 cm^{-1} , что указывает на ее примесное происхождение. Наблюдаемые изменения в ИК-спектрах анилина в растворе CCl_4 , несомненно, обусловлены нарушением межмолекулярных взаимодействий.

В спектре ДФА в четыреххлористом углероде проявляются полосы поглощения валентных колебаний вторичных аминных групп при 3445 cm^{-1} и С—N-связей при 1315 cm^{-1} .

Полоса поглощения симметричных колебаний аминных групп при 3410 cm^{-1} в смеси анилина и ДФА (рис. 1) смещена на 30 cm^{-1} в сторону высоких волн по сравнению со спектром анилина. Колебания NH-групп ДФА при 3440 cm^{-1} заметно слабее полосы аминных групп в этой области. Полоса поглощения антисимметричных колебаний первичных аминных групп появляется при 3440 cm^{-1} в виде плеча у полосы поглощения в области 3480 cm^{-1} . Такая же картина характерна для полос поглощения деформационных колебаний NH_2 -групп при 1620 cm^{-1} и валентных колебаний С—N-связей при 1280 cm^{-1} . В спектре смеси анилина и избытка ДФА полоса поглощения С—N-связей вторичных аминов проявляется в виде интенсивной полосы в области 1315 cm^{-1} .

С увеличением количества ДФА в смеси с анилином от 2 до 5 молей в ИК-спектре возрастает интенсивность полосы поглощения NH-групп при 1315 и 3440 cm^{-1} . Напротив, уменьшаются интенсивности полос поглощения первичных аминных групп при 1280, 1620 и 3480 cm^{-1} .

ИК-спектр олигоанилина, снятый из раствора в CCl_4 , по характеру месторасположения и интенсивности полос поглощения сходится со спектром смесей анилина и ДФА (рис. 2). Так, в нем проявляются полосы поглощения первичных (1260, 1230, 3500 cm^{-1}) и вторичных (1310 и 3420 cm^{-1}) аминных групп. Причем интенсивность поглощения NH_2 -групп значительно слабее, чем полоса поглощения NH-групп.

Это обусловлено тем, что NH_2 -группы могут находиться только в виде концевых групп $\sim \text{C}_6\text{H}_4\text{—NH}_2$ и в небольших количествах.

Аминные группы, очевидно, являются одной из основных структурных единиц олигоанилина.

ИК-спектр тонкой пленки олигоанилина заметно отличается от спектра его разбавленного раствора в CCl_4 . В частности, под влиянием

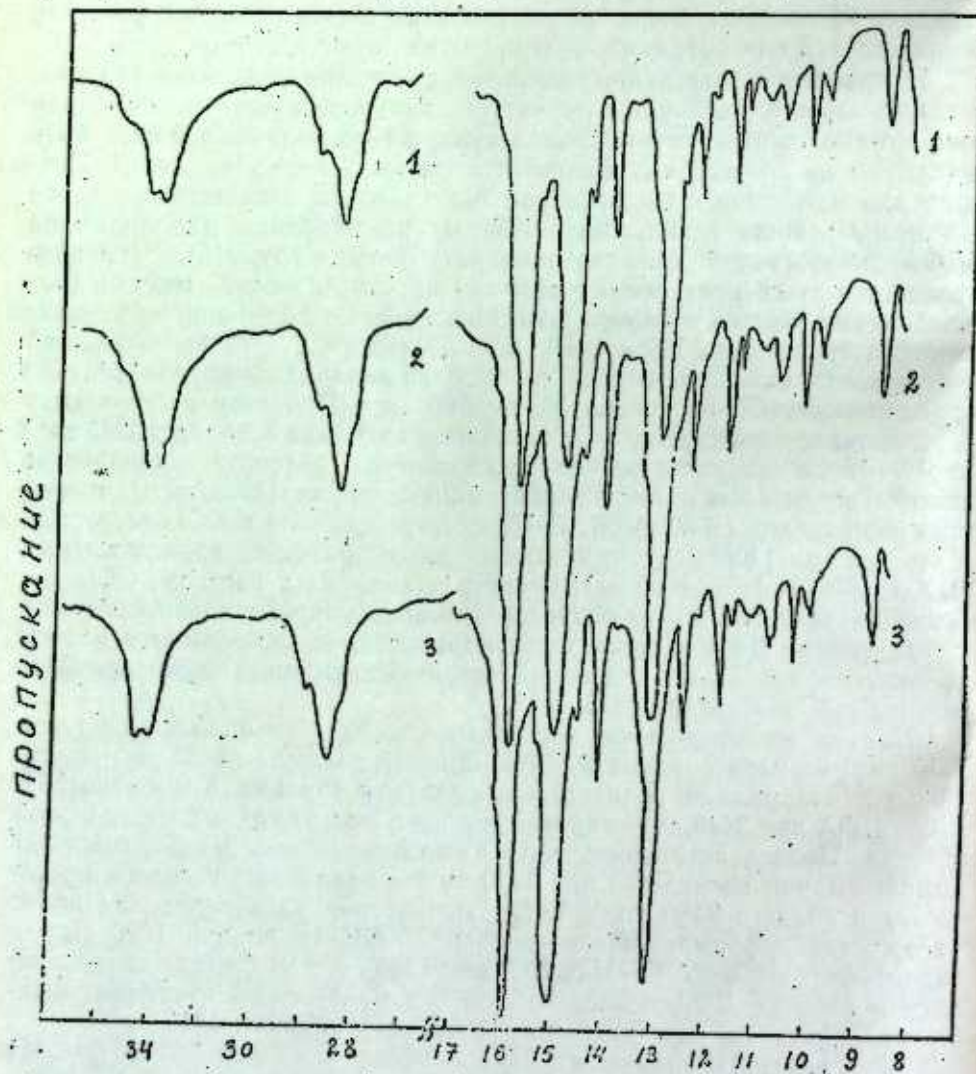


Рис. 1. ИК-спектры смесей анилина и ДФА при мольном соотношении 1:2 (1), 1:3 (2) и 1,5 (3)

сильных меж- и внутримолекулярных водородных связей и взаимодействий полисопряженных связей полосы поглощения в области $3000\text{—}3600\text{ см}^{-1}$ сливаются и проявляются в виде гладкой сплошной широкой полосы с максимумами при 3400 и 3090 см^{-1} . Полосы поглощения первичных аминных групп при 1640 и ароматических ядер при 1600 см^{-1} уединяются и обнаруживаются в виде одной полосы в области 1625 см^{-1} .

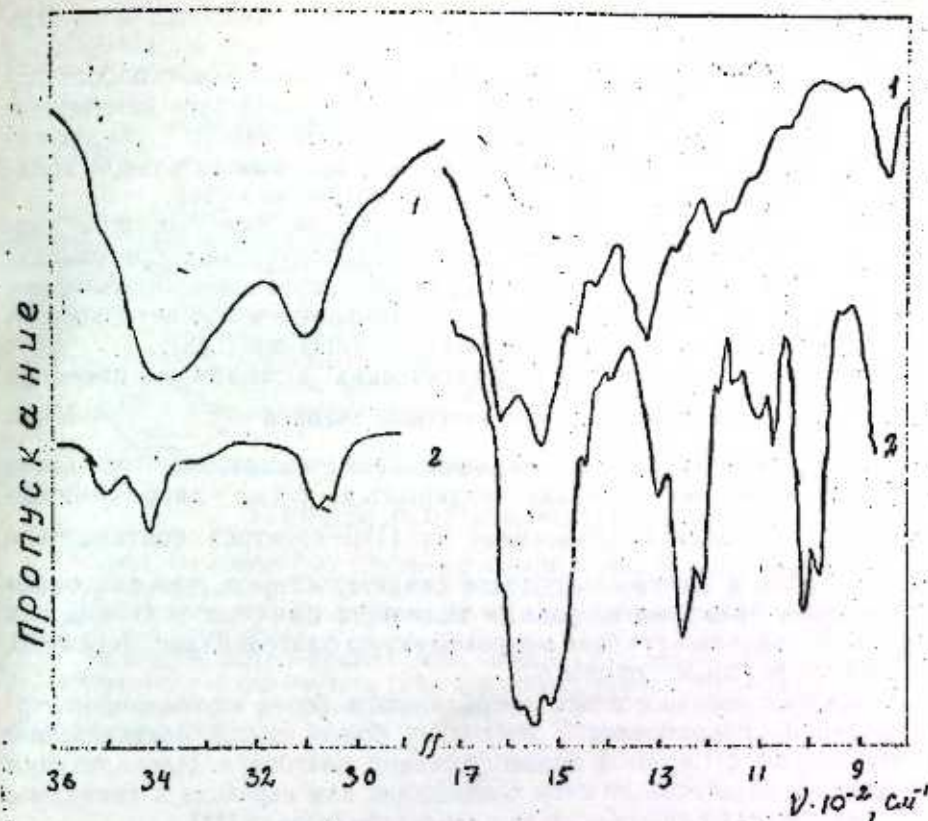


Рис. 2. ИК-спектры пленки (1) и раствора олигоанилина в CCl_4 (2)

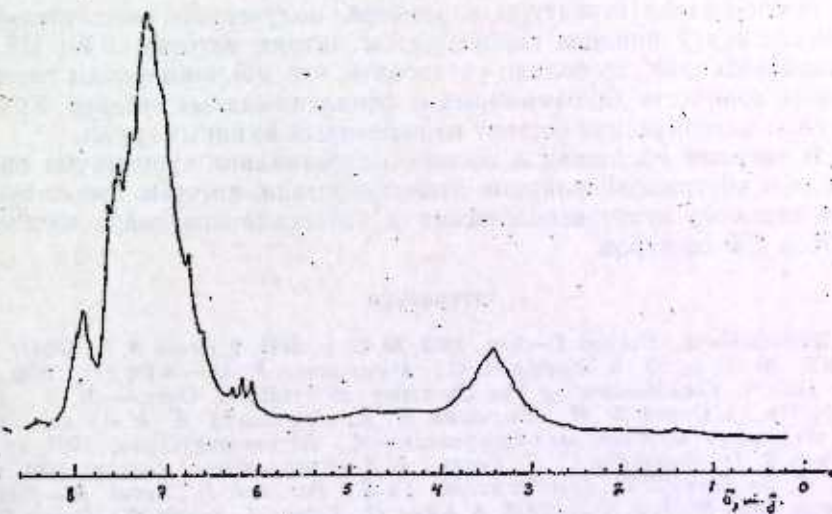
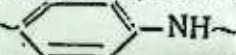


Рис. 3. ПМР-спектр олигоанилина

Полоса поглощения иминных групп при 1310 см^{-1} смещается в область 1335 см^{-1} .

Наблюдаемая в ИК-спектре олигоанилина интенсивная полоса поглощения внеплоскостных деформационных колебаний двух незамещенных смежных ароматических СН-групп в области 840 см^{-1} свидетельствует о протекании реакции полисочетания при окислительной поликонденсации анилина в параложенни ароматических ядер. ПМР-спектры, снятые в растворе дейтерированного ацетона, подтверждают (рис. 3), что в составе олигомера, полученного при окислительной поликонденсации анилина, содержатся протоны ароматических ядер и NH-групп. Сигналы этих групп проявляются соответственно в областях $6,4\text{--}8,0$ (тах при 7,17) и $3\text{--}4$ м. д. (тах при 3,43).

Соотношение количества ароматических и аминных протонов составляет 8:1, тогда как в составе иминных звеньев —NH—

это соотношение равно 4:1. Следовательно, в составе олигоанилина наряду с иминными группами содержатся также хиноидные звенья. Найденные из ПМР-спектров соотношения ароматических и аминных протонов свидетельствуют, что олигоанилин построен примерно из равных количеств иминных и хиноидных звеньев. В концевых группах макромолекулы олигоанилина, очевидно, содержатся аминные группы.

Хиноидные звенья должны преобладать в более высокомолекулярной фракции олигоанилина, поскольку более высокомолекулярные макромолекулы с системой полисопряжения благодаря делокализации неспаренного электрона по цепи сопряжения или перехода в хиноидное состояние обладают способностью к самостабилизации [11].

Выводы

1. Исследование структуры олигомера, полученного окислительной поликонденсацией анилина гипохлоритом натрия методом УФ-, ИК- и ПМР-спектроскопии, позволило установить, что макромолекулы состоят из равных количеств хиноидных и фенилениминных звеньев. Концевые группы олигоанилина состоят из первичных аминных групп.
2. В твердом состоянии в составе олигоанилина существуют сильные меж- и внутримолекулярные взаимодействия, которые существенно меняют характер месторасположения и интенсивности полос поглощения ИК- и УФ-спектров.

Литература

1. Willsfater B., Dorogi S.—Ber., 1909, № 42, p. 2147. 2. Green A. L., Wolff S.—Ber., 1913, № 46, p. 33. 3. Поффе И. С., Матрикина Р. М.—ЖРФХО, 1930, 62, № 5, с. 1101. 4. Venkataraman K. The Chemistry of Synthetic Dyes.— N. Y., 1952, № 11, p. 778. 5. Садов Ф. И., Корчагин М. А., Матецкий А. И.—В кн.: Химическая технология волокнистых материалов.—М.: Легкая индустрия, 1967, с. 783. 6. Парини В. П., Казакова С. Э., Берлин А. А.—Высокомолек. соедин., 1961, т. 3, с. 1870. 7. De Surville R., Josefowicz M., Yu S., Perichon J., Buvet R.—Electrochem. acta, 1968, № 13, p. 1451—1458. 8. Kaya M., Kitani A., Sasaki K.—Denki Kagaku zasshi Kagaku Kagaku, 1984, № 52, № 12, p. 847—848. 9. А. с. 854960 СССР. Полимерная композиция и способ ее получения (А. В. Рагимов, Б. А. Тагиев, А. Г. Мамедова, Бюл. № 30, 1981). 10. Рагимов А. В., Ахмедов А. И., Гаджиев Г. Г.,

Касумов Ф. Х., Гулиев Р. Я.—Азерб. хим. журн., 1987, № 3, с. 11. Берлин А. А., Давидов Б. Э. и др.—В кн.: Химия полисопряженных связей. М.: Химия, 1972. Азербайджанский медицинский институт им. Н. Нуриманова

Поступило 21. I 1987.

Г. Г. Гаджиев, Ф. Х. Касумов, М. А. Сейидов, Э. В. Рагимов

ОЛИГОАНИЛИНИН ГУРУЛУШУНУН ТЭДГИГИ

Магаләдә спектроскопик (УВ, ИГ ва ПМР) усуллардан истифадә едәрәк, анилиндән оксидләндиричи поликонденсациялә паситәснлә алынмыш олигоанилинин гурулушу тәдгиги едилмишдир. Олигоанилинин гурулушуну мүэјјән етмәк үчүн онун ва анилинни, дидифениламинни, оларын гарышыгларынын ИГ-спектирләри арашдырылмышдыр. Мүэјјән дән ва бирли амин сонлуғундан тәшкил олунмушдур.

Олигоанилинин тәбәғәсини ИГ-спектри көстәрир ки, дахилиндә күчлү молекуллар-дахили ва молекулларарасы олағәләр бардыр. Олар спектрини удулма золағларынын јерини ва интенсивлијини дәјшидирирләр.

G. G. Gadzhiev, F. Kh. Kasimov, M. A. Seyidov, A. V. Ragimov

STUDY OF OLIGOANILINE STRUCTURE

Oligoaniline obtained by oxidative polycondensation of aniline was subjected to structure analysis using UV-, IR- and PMR-spectroscopy. For oligoaniline structure identification along with its spectrum, IR-spectra of aniline, diphenylamine and their mixtures were interpreted.

Oligoaniline macromolecules were established to consist of equal amounts of phenyleneimine and quinonidine links and primary terminal amine groups.

IR-spectra point to the availability of strong inter- and intramolecular interactions affecting greatly the location and intensity of absorption bands.

А. В. РАГИМОВ, А. И. АХМЕДОВ, Г. Г. ГАДЖИЕВ, Ф. Х. КАСУМОВ

ОКИСЛЕНИЕ АНИЛИНА ПРИ РАЗЛИЧНЫХ ЗНАЧЕНИЯХ pH-СРЕДЫ

(Представлено академиком АН Азербайджанской ССР Т. Н. Шахтагинским)

Известно [1, 2], что при взаимодействии анилина с окислителями, происходят сложные процессы, зачастую приводящие к интенсивно-окрашенным продуктам. Несмотря на то, что эти продукты нашли широкое применение в текстильной промышленности в качестве черного анилинового красителя [2], его структура и механизм образования до сих пор полностью не раскрыты. Данная задача актуальна еще и тем, что продукты окисления анилина нашли новые области применения как полупроводники [3] и отвердители смол [4]. Несмотря на то, что установлены факты образования полимеров при взаимодействии анилина с окислителями как в кислой среде [3], так и в щелочной [5], однако пока отсутствуют данные, всесторонне характеризующие указанный процесс.

Настоящее сообщение посвящено изучению хода и продуктов окисления анилина с помощью водного раствора гипохлорита натрия при различных концентрациях водородных ионов.

В термостатируемый стеклянный реактор, снабженный мешалкой, двумя капельными воронками и термометром, загружали 3 г (0,32 моль) анилина. При интенсивном перемешивании и охлаждении к анилину со скоростью 24 мл/ч параллельно добавили 30 мл (1,2 моль) 30%-ного водного раствора NaOCl и минеральную кислоту. Температуру реакционной смеси поддерживали при 23—25°. Через определенное время остановили реакцию, а реакционную смесь промыли дистиллированной водой от примеси окислителя и кислоты. Далее, для тщательной очистки полученных продуктов к реакционной смеси добавили 20 мл толуола и промыли сначала 20%-ным водным раствором NaOH и дистиллированной водой до полного удаления хлор-ионов. Толуол и непрореагировавший анилин отделяли от реакционных продуктов перегонкой. Полученный полимерный продукт сушили при 105° до постоянного веса.

Анилин («ч»), толуол («чда») и дихлорэтан («ч») перегоняли. Водный раствор NaOCl («ч») и минеральную кислоту использовали без предварительной очистки. Минеральные кислоты применялись для нейтрализации водно-щелочного раствора NaOCl и создания кислой среды в процессе окислительной поликонденсации анилина.

Результаты исследований показывают, что при взаимодействии анилина с водным раствором гипохлорита натрия при широком интервале концентрации водородного иона наблюдается образование полианилина черного цвета. Однако на кривой зависимости выхода полианилина от pH фиксируются два максимума (см. рис. 1), т. е. наибольший выход продукта окислительной поликонденсации анилина образуется при двух значениях концентрации водородного иона в щелочной (pH-10,5) и

кислой среде (pH 0,5). Причем в кислой среде анилин проявляет высокую реакционную способность в отношении NaOCl и выход полианилина составляет почти 100%. Следовательно, соли анилина больше склонны к окислению, чем основная форма. Сказанное наблюдается так-

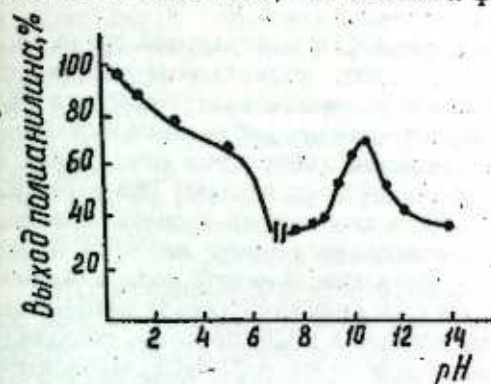


Рис. 1. Зависимость выхода полианилина от pH реакционной среды. NaOCl: анилин = 3:1 моль, т. 25° (кислой среды) и 80° (щелочной)

же в температурном режиме реакции. Так, если в щелочной среде количественный выход полианилина образуется лишь при высоких температурах (80°), то при нейтральных и кислых средах, даже при комнатной температуре (25°) реакция окислительной поликонденсации анилина идет интенсивно.

Как видно из табл. 1, повышение температуры реакции от 25 до 70° выход полимера почти не меняется и колеблется в интервале 25—27,6%.

Таблица 1

Влияние условий окислительной поликонденсации анилина гипохлоритом натрия на выход полианилина

№ п.п.	Анилин:NaCl, моль	T°, C	Время, ч	Выход полимера, %	pH срезы
1	1:1	50	5	26,5	7
2	1:1	25	5	27,0	5
3	1:1	42	5	25,0	5
4	1:1	50	5	25,0	5
5	1:1	58	5	25,1	5
6	1:1	70	5	27,6	5
7	1:1,5	50	5	37,4	5
8	1:2	50	5	53,8	5
9	1:2,5	50	5	59,7	5
10	1:3	50	5	69,3	5
11	1:4	50	5	87,2	5
12	1:3	50	1	67,6	5
13	1:3	50	2	68,3	5
14	1:3	50	3	68,9	5
15	1:3	50	4	69,4	5
16	1:3	50	5	69,7	5
17	1:3	50	6	73,4	5
18	1:3	50	7	73,8	5
19	1:3	50	3	74,3	5
20	1:3	50	3	84,1	5
21	1:3	50	3	99,2	0,5
22	1:3	50	3	88,5	1,6
23	1:3	50	3	78,6	2,9

Примечание. Оп. 1—18 — окислитель и кислота одновременно добавляются к анилину; оп. 20—23 — окислитель добавляется к смеси анилина и кислоты, оп. 19 — кислота добавляется к смеси анилина и окислителя.

Наиболее значительное влияние на окислительную поликонденсацию анилина оказывает количество окислителя. С увеличением его количества от 1 до 4 на моль анилина при 50° за 5 ч, выход полимера возрастает от 24,6 до 87%. Это обстоятельство проявляется также при окислительной поликонденсации анилина в щелочной среде [5].

Реакция взаимодействия анилина с NaOCl в нейтральной среде протекает с большой скоростью. За 1 ч выход полианилина достигает 67,6%. Далее, в течение 6 ч выход полимера увеличивается всего на 5%.

В этом процессе важную роль играет порядок добавления окислителя и кислоты к анилину. При параллельном добавлении окислителя и кислоты выход полианилина почти одинаков и составляет 73,5 и 74,3%, соответственно. Напротив, при добавлении окислителя к смеси анилина и кислоты выход целевого продукта повышается почти на 10%. Здесь может быть две причины: первая — лучшая окисляемость соли анилина, которая образуется быстро и легче, когда к анилину сначала добавляют кислоту; вторая — соли анилина растворимы в воде, поэтому, смешиваясь с водным раствором легко взаимодействуют с NaOCl. Сказанное согласуется с тем, что проведение реакции в среде органических растворителей, которые не смешиваются с водным раствором NaOCl приводит к уменьшению выхода полианилина. Так, при концентрации анилина, равной 4,5 моль/л т-ре 80° и трехкратном молярном избытке окислителя выход в дихлорэтаноле и толуоле составляет 61,7 и 62,3%, соответственно.

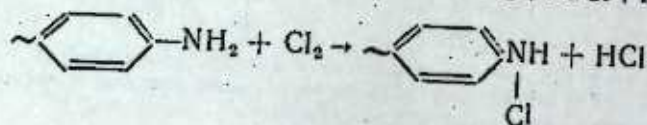
Анализ состава, структуры и параметров ММР показали, что у продукта окислительной поликонденсации анилина в зависимости от pH реакционной среды эти характеристики изменяются. Полианилин, полученный в щелочной среде, имеет чистый состав и по составу он очень близок исходному продукту-анилину (см. табл. 2).

Таблица 2

Состав и свойства полианилинов, полученных при различных значениях pH

№ пп	Анилин: NaOCl, моль	Т, °С	pH-среда	Амин. группы, %	Элементный состав, %, Параметры ММР							Темп °С
					С	Н	N	Cl	Mn	Mw	Mw/Mn	
1	1:1	80	10,5	16,8	78,9	5,5	15,4	—	350	550	1,57	60
2	1:2	80	10,5	15,7	77,8	6,9	14,8	—	350	580	1,65	70
3	1:3	50	5,0	15,9	78,0	5,8	14,7	1,2	355	570	1,61	75
4	1:3	50	2,9	16,0	75,7	5,2	14,2	4,5	430	600	1,38	100
5	1:3	50	1,6	15,8	73,1	5,7	13,6	6,1	445	680	1,53	125
6	1:3	50	0,5	15,4	70,9	5,3	12,8	9,6	460	700	1,52	125

Полимеры, синтезированные в кислой среде, в присутствии HCl включают довольно высокое содержание связанного хлора (до 9,6%). Включение в состав полианилина хлора в процессе образования, очевидно, обусловлено протеканием вторичной реакции окислительного хлорирования аминных групп по: $2\text{HCl} + \text{NaOCl} \rightarrow \text{Cl}_2 + \text{NaCl} + \text{H}_2\text{O}$



Это предположение основывается на способности смеси HCl и NaOCl хлорировать ароматические соединения [6].

ГПХ-анализы, проведенные согласно [7], показывают, что продукты окислительной поликонденсации анилина в присутствии гипохлорита натрия независимо от pH реакционной среды являются олигомерами с M_n 350—460 и M_w 550—700. Полидисперсность этих олигомеров низкая и колеблется в интервале 1,38—1,65. Характерной чертой кривых ММР (рис. 2) является обнаружение максимума в области ММ димеров ($V_R = 21-22$). Высокомолекулярная фракция с ММ равной 3200—4700 ($V_R = 16$ до 17) в составе олигомеров анилина содержится в небольших количествах — до 0,3%. В то время как тетра- и гексамеры ($V_R = 20$ до 21) анилина преобладают в их составах.

pH реакционной среды оказывает необходимое влияние на величины ММ. В частности, олигомеры, полученные в кислой среде, характеризуются относительно более высокими значениями M_n и M_w и максимумом на кривой ММР смещен в области три- и тетрамеров (рис. 2, кр. 1, 2). Аналогичная тенденция в изменении параметров ММР фиксируется при изменении порядка смешения окислителя и кислоты в процессе синтеза олигоанилина. При добавках к анилину сначала кислоты, потом окислителя (оп. 21) ММ олигомеров увеличивается и превышает содержание димера (рис. 2, кр. 3). В этом случае в соста-

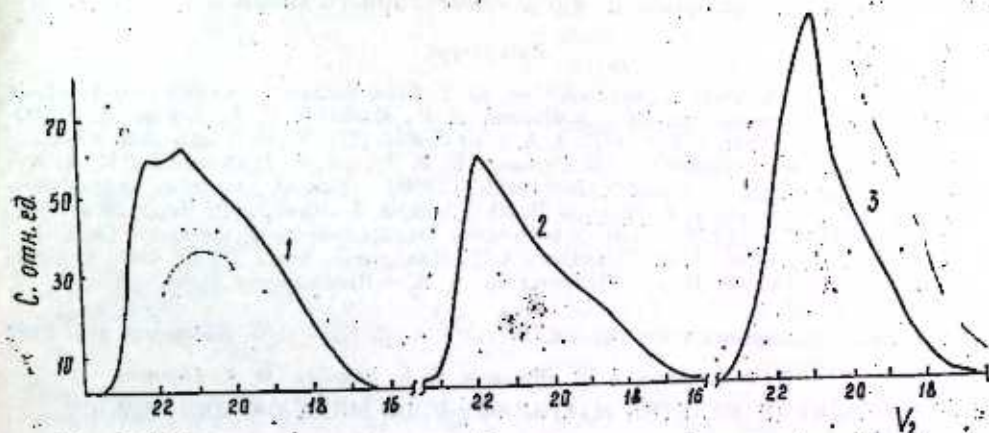


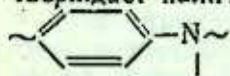
Рис. 2. ММР полианилинов, полученные в кислой (кр. 1, оп. 21) и нейтральной (кр. 2, оп. 10) средах.

ве олигоанилина возрастает содержание также высокомолекулярных фракций.

Синтезированные олигоанилины в соответствии с ММ являются низкоплавкими веществами. Под нагрузкой 1,59 кг/см² они текут в интервале 60—125°. Однако температура течения солей олигоанилина с минеральными кислотами заметно увеличивается. Как видно из термомеханических кривых, т. теч. солянокислой соли олигоанилина находится в интервале температур 175—185°, тогда как исходный олигомер течет при 125°.

Химический анализ обнаруживает до 15,7—16,8% суммы аминных групп в составе олигоанилина. Эта величина близка к значению аминных групп в анилине (17,4%). Проявления в ИК-спектре олигоанилина полосы поглощения в области 3500, 3440, 3410, 1630, 1520, 1310 и 1250 см⁻¹ также свидетельствует о наличии в его составе первичных

(концевые группы), вторичных (звенья) и третичных (разветвленные звенья) аминных групп. Найденное из ПМР-спектра соотношение водородных атомов ароматических и аминных групп, равное 8:1 также подтверждает наличие в структуре фрагментов трехзамещенного анилина



Отношение разветвленных звеньев к структурным единицам в составе олигоанилина составляет 1:2. Содержание третичных аминных групп увеличивается в составе олигомеров, синтезированных в кислых средах.

Содержание третичных аминных групп увеличивается в составе олигомеров, синтезированных в кислых средах.

Выводы

1. Исследована окислительная поликонденсация анилина с водным раствором гипохлорита натрия при pH-среде от 0,5 до 14 и установлено, что максимальный выход достигается в щелочной среде при 10,5 и в кислой — при 0,5 величине концентрации водородных ионов.

2. Показано, что в нейтральной и кислой средах анилин окисляется со значительно большей скоростью и меньшими энергозатратами, чем в щелочной среде.

3. Продукты окислительной поликонденсации анилина независимо от pH реакционной среды являются олигомерами, состоящими из *p*-замещенных анилиновых звеньев. Олигомеры, полученные в кислой среде, включают дополнительно до 9,6% элементарного хлора.

Литература

1. Green A. G., Wolff S. — *Ber.*, 1913, 46, 33.
2. Венкатарман К. Химия синтетических красителей. — Госхимиздат, 1957.
3. Парини В. П., Казакова С. З., Берлин А. А. *Высокомолек. соед.*, 1961, т. 3, с. 1870.
4. А. с. № 854960 (СССР). — Полимерная композиция и способ ее получения. (А. В. Рагимов, Б. А. Тагнев, А. Г. Мамедова, И. К. Кулиева). *Бюлл.* № 30, 1981.
5. А. с. № 712425 (СССР). — Способ получения анилинового черного (Б. А. Тагнев, А. В. Рагимов, В. Ю. Алиев, А. Г. Мамедова). *Бюлл.* № 4, 1980.
6. А. с. № 753852 (СССР). — Способ получения хлорированного полистирола (А. В. Рагимов, Г. А. Рагимов, Р. А. Джалилов, А. Г. Мамедова). *Бюлл.* № 29, 1980.
7. Кузнецов А. И., Колесников С. Д., Бриксштейн А. А. — *Высокомолек. соед.*, 1975, А 17, с. 1327.

Нахичеванский научный центр АН АзССР

Поступило 2. II 1987

Э. В. Рагимов, А. И. Әһмәдов, Г. Һ. Һачыјев, Ф. Х. Гасымов

АНИЛИНИН МУЪИТИН МУХТӘЛИФ РН-ЛАРЫНДА ОКСИДЛӘШМӘСИ

Мәғаләдә анилинин натриум гипохлоритин сулу мәһлулу илә муһитин мухтәлиф рН-ларында оксидләшмә поликонденләшмәсинин кедиши вә мәһсулу тәдгиг едилмишдир. Муәјјән едилмишдир ки, полианилинин чыхымынын гидроген ионларынын гатылыгындан асылдылыг әрисиңдә рН=0,5 вә 14 олдугда ики максимум муһитә нисбәтән турш муһитдә нәзәрә алыначаг дәрәчәдә жүксәк олур.

Кимјәви, спектрал вә ГИХ анализләр кәстәрир ки, анилинин оксидләшмәси мүтләг уч групплары вә *p*-әвәзедилмиш анилин дәстәләри олан олигомерләрин әмәлә кәлмәсинә кәтириб чыхарыр.

A. B. Ragimov, A. I. Ahmedov, G. G. Hajiyev, F. Xh. Kasimov

OXIDATION OF ANILINE AT VARIOUS VALUES OF pH-MEDIUM

The course and products of aniline's oxidative polycondensation in aqueous solution of sodium hypochlorite are studied at various pH of medium. It is established that the curve of polyaniline yield's dependency on the hydrogen ions concentration has two maxima at pH=0.5 and 14. The rate of products' oxidation reaction is markedly in acidic medium than in alkaline medium. Chemical, spectral and gel permeation chromatography analyses show that aniline's oxidation always leads to formation of oligomers which have *p*-substituted aniline units and terminal groups.

УДК 546.657.72.27.21.

НЕОРГАНИЧЕСКАЯ ХИМИЯ

О. А. АЛИЕВ, член-корр. АН АзССР П. Г. РУСТАМОВ,
Х. М. АЛЛАХВЕРДИЕВ

ФАЗООБРАЗОВАНИЕ В СИСТЕМЕ Nd₂O₃—Fe₂O₃—B₂O₃ ПРИ 1050 °С

В системах Ln₂O₃—Fe₂O₃—B₂O₃ где Ln=La, Pr, Tb, было обнаружено большое различие в растворимости отдельных р. з. окислов в ферроборатных расплавах, в связи с чем было решено исследовать эти системы более детально с участием других р. з. окислов.

Методом изотермического насыщения при 1050 °С изучены фазовые равновесия в системе Nd₂O₃—Fe₂O₃—B₂O₃. Методика исследования описана ранее [1, 2].

На рисунке представлена диаграмма изотермического разреза системы Nd₂O₃—Fe₂O₃—B₂O₃ при 1050 °С. Как видно, данная система характеризуется обширной областью расслаивания. Левая граница расслаивания проходит вблизи практически чистого оксида бора, правая — почти по прямой линии между точками *a* и *b*.

В правую границу расслаивания упирается изотерма растворимости двойного метабората состава NdFe(O₂)₆. Расплав, отвечающий при 1050 °С точке *b*, может находиться в равновесии с двумя другими фазами — практически чистым жидким оксидом бора и монокристаллами двойного метабората NdFe(BO₂)₆.

Кривая *b c* является изотермой растворимости указанного метабората. В пределах области равновесного сосуществования двойного метабората неодима и железа легко могут быть осуществлены расплавы, пересыщенные относительно NdFe(BO₂)₆. Некоторые из пересыщенных расплавов расслаиваются на две жидкие фазы, способные длительное время находиться между собой в метастабильном равновесии.

Монокристаллы двойного метабората NdFe(BO₂)₆ окрашены в светло-зеленый цвет и характеризуются высокой прозрачностью и однородностью, устойчивы на воздухе и в воде, трудно растворяются в концентрированной соляной кислоте; блеск стеклянный, твердость равна 7—7,5 по шкале Мооса.

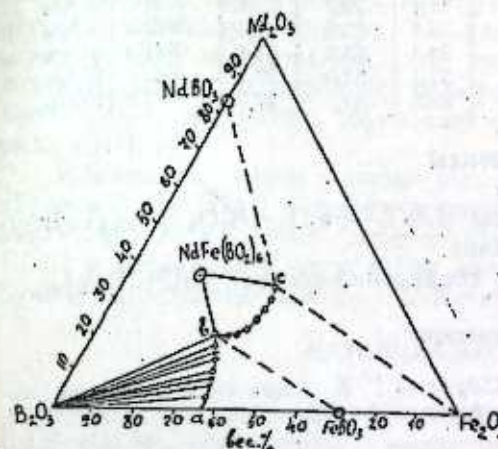


Диаграмма изотермического разреза системы Nd₂O₃—Fe₂O₃—B₂O₃ при 1050 °С

УДК 546.682.546.24

ФИЗИЧЕСКАЯ ХИМИЯ

Х. Б. ГЕЗАЛОВ, А. М. ГАСАНОВ, Х. И. АБДУЛЛАЕВА
ИЗУЧЕНИЕ ВЛИЯНИЯ ЭЛЕКТРИЧЕСКОГО
РАЗРЯДА НА В₂O₃ МЕТОДОМ ЭПР

(Представлено академиком АН Азербайджанской ССР
Ч. М. Джуварлы)

В последние годы с целью ускорения плазмохимических и радиационных процессов широко исследуется влияние различных катализаторов на диссоциацию молекул [1—3]. В частности, оксид бора В₂O₃ применяется в качестве катализатора в радиационно-гетерогенных процессах разложения молекул. Однако в литературе имеются весьма ограниченные экспериментальные данные об участии парамагнитных центров (ПМЦ) электронного и дырочного типа, генерируемых в катализаторах, в процессах, обусловленных действием электрического разряда (ЭР).

Изменения, происходящие под действием ЭР в В₂O₃, связаны с образованием ПМЦ в порах и поверхностных слоях диэлектрика. В этой связи актуальным является изучение закономерностей генерации ПМЦ в зависимости от условия воздействия параметров, ЭР и последующих химических превращений с их участием.

МЕТОДИКА ЭКСПЕРИМЕНТА

В качестве катализатора использовали порошкообразные образцы В₂O₃ «ОСЧ», обогащенного изотопом ¹¹B (99,3%). Образцы предварительно выдерживали при 490 К в воздухе в течение 8 ч, затем подвергали термовакuumной обработке. ЭР создавали с помощью электродов, один из которых помещался в центре ампулы с образцом, второй охватывал ампулу снаружи и заземлялся, при этом расстояние между электродами *d* составляло (1,5÷3,5) 10⁻³ м. Эксперименты проводили при давлениях (0,665÷13,3) Па, температуре 77 К и напряжениях (1÷15) кВ. Мощность разрядов и величину разрядного тока регулировали значениями подаваемого напряжения и подбором ампул различных диаметров — (2,5÷4,5) 10⁻³ м и определяли методом циклограмм [4, 5]. Спектры ЭПР снимали на радиоспектрометре РЭ-1306 при длине волны 3 см. В качестве эталона использовали ионы Mn²⁺ в MgO, а концентрацию ПМЦ и *g*-факторы определяли по методике [6].

РЕЗУЛЬТАТЫ ИССЛЕДОВАНИЯ И ИХ ОБСУЖДЕНИЕ

Спектры ЭПР В₂O₃, обработанного электрическим разрядом, снятые при 77 К, представлены на рис. 1, а, б. При малых значениях напряжения *U* ~ (1÷6) кВ спектр ЭПР представляет собой одиночный сим-

Результаты дифференциально-термического анализа NdFe(BO₂)₆ указывают на отсутствие потерь веса или каких-либо тепловых эффектов вплоть до температуры плавления 1092±5°C. Плотность NdFe(BO₂)₆, определенная пикнометрическим методом, равна 3,67 г/см³.

Попытки получить из раствора в расплаве и методом твердофазной реакции из исходных компонентов двойной ортоборат Fe и Nd при 1050°C не увенчались успехом. При дальнейшем увеличении содержания Nd₂O₃ и Fe₂O₃ в расплаве из раствора в расплаве выделяются монокристаллы Fe₂O₃ и ортобората неодима состава NdBO₃ (таблица).

Равновесные фазы в системе Nd₂O₃—Fe₂O₃—В₂O₃ при 1050°C

Состав жидкой фазы, вес. %			Равновесные фазы	Состав жидкой фазы, вес. %			Равновесные фазы
В ₂ O ₃	Nd ₂ O ₃	Fe ₂ O ₃		В ₂ O ₃	Nd ₂ O ₃	Fe ₂ O ₃	
63,0	00	37,0	В ₂ O ₃	49,1	21,4	29,5	В ₂ O ₃ и NdFe(BO ₂) ₆
60,5	4,3	35,2	В ₂ O ₃ и FeBO ₃	47,0	20,7	32,3	NdFe(BO ₂) ₆
57,3	7,4	35,3	В ₂ O ₃ и FeBO ₃	44,3	21,2	34,5	NdFe(BO ₂) ₆
56,8	9,0	34,2	В ₂ O ₃ и FeBO ₃	41,1	22,7	36,2	NdFe(BO ₂) ₆
55,0	11,3	33,7	В ₂ O ₃ и FeBO ₃	38,0	25,0	37,4	NdFe(BO ₂) ₆
53,2	14,6	32,2	В ₂ O ₃ и FeBO ₃	34,4	28,2	37,4	NdFe(BO ₂) ₆
52,0	16,3	31,7	В ₂ O ₃ и FeBO ₃	31,3	31,3	37,4	NdFe(BO ₂) ₆
51,3	18,2	30,7	В ₂ O ₃ и FeBO ₃	28,5	34,5	37,0	NdFe(BO ₂) ₆

Выводы

1. Исследуемый разрез системы Nd₂O₃—Fe₂O₃—В₂O₃ характеризуется обширной областью расслаивания.
2. В системе образуется новое соединение состава NdFe(BO₂)₆.

Литература

1. Рза-заде П. Ф., Ахмедова Д. А., Абдуллаев Г. К., Алиев О. А. — Неорган. матер., 1974, 10, 1654. 2. Алиев О. А., Зульфугарлы Дж. И. — Докл. АН АзССР, 1978, 34, 47.

АГУ им. С. М. Кирова

Поступило 1. IV 1986

О. А. Алиев, П. Г. Рустамов, Х. М. Аллаhverдиев

1050°C-дә Nd₂O₃—Fe₂O₃—В₂O₃ СИСТЕМИНДӘ
ФЭЗАМЭЛЭКЭЛМЭ

Магаләдә изотермики дојурма үсүлү илә 1050°C-дә Nd₂O₃—Fe₂O₃—В₂O₃ системиндә фаза таразлыгы дөңг олунмушдур. Төбөгөлөшмө вә NdFe(BO₂)₆-тин јашама областлары характеризә олунмушдур. Икигәт метаборатын NdFe(BO₂)₆ монокристаллары јетиндирилмиш вә ренткенографик, ДТ төдгиг едилмишидир.

O. A. Aliev, P. G. Rustamov, Kh. M. Allahverdiev

PHASEFORMATION IN Nd₂O₃—Fe₂O₃—В₂O₃ SYSTEM AT 1050°C

Nd₂O₃—Fe₂O₃—В₂O₃ system was studied by the method of saturation at 1050°C. The sphere of existence of solid phase NdFe(BO₂)₆ was described. Synthesized borate was investigated and obtained in monocrystallized condition.

метричный синглет с параметрами $g=2,0012$; $\Delta H=0,4$ мТл (рис. 1, б). При повышении напряжения $U \geq 6$ кВ в спектре ЭПР появляется новая мультикомпонентная линия (рис. 1, а) и наблюдаются пять компонентов и неразрешенное «плечо» в области низких магнитных полей.

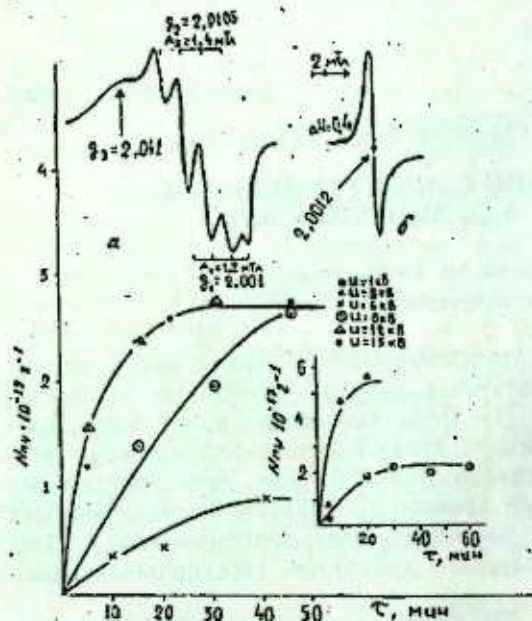


Рис. 1. Спектры ЭПР при 77 К порошкообразных образцов V_2O_5 , обработанных в среде электрического разряда и кинетики накопления парамагнитных центров: а — дырочные, б — электронные центры

Анализ спектров ЭПР показал, что симметричную линию можно отнести к электронам ($g < g_e = 2,0023$), захваченным на кислородных вакансиях, что хорошо согласуется с результатами работ [7, 8]. Наличие в спектре ЭПР мультикомпонентной линии позволяет предполагать, что в спин-гамльтониане помимо эффекта Зеемановского имеются и члены сверхтонкой структуры (СТС). Эта линия описывается спин-гамльтонианом, характеризуемым орторомбическими g - и A -тензорами:

$$H = \beta (g_1 S_1 H_1 + g_2 S_2 H_2 + g_3 S_3 H_3) + A_1 S_1 I_1 + A_2 S_2 I_2 + A_3 S_3 I_3,$$

где $S=1/2$, $J(^{\circ}B) = 3/2$

Главные значения g - и A -тензоров, найденные из экспериментальных спектров ЭПР, составляют:

$$\begin{aligned} g_1 = 2,001, \quad g_2 = 2,0105, \quad g_3 = 2,041, \\ A_1/g_1\beta = 1,2 \text{ мТл} \quad (A = 11,2 \cdot 10^{-4} \text{ см}^{-1}), \\ A_2/g_2\beta = 1,4 \text{ мТл} \quad (A = 13,1 \cdot 10^{-4} \text{ см}^{-1}). \end{aligned}$$

В области g_3 СТС не обнаруживается, поэтому определить A_3 не представляется возможным.

$g_{cp} = (g_1 + g_2 + g_3)/3 > g_e$, что позволяет отнести эту линию к дырочным центрам. Сравнением значений магнитных параметров g_1 , g_2 и g_3 с их значениями в γ -облученных окисных системах [8, 9] можно утверждать, что дырочные центры локализованы на мостиковом атоме кислорода >B-O^{\oplus} и взаимодействуют с ядром атома бора.

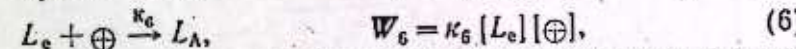
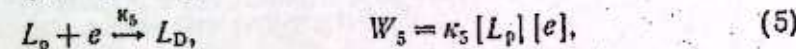
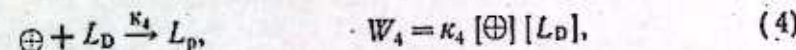
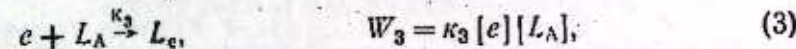
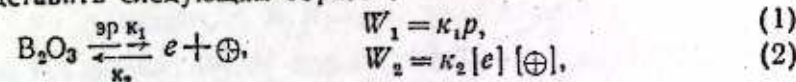
Одной из важных особенностей воздействия ЭР является низкая энергия бомбардирующих электронов, поэтому действие их ограничивается тонким приповерхностным слоем полостей, в которых происходит разряд. Беря радиус поры, равным радиусу окисной гранулы (10^{-5} м), получим для $U = 15$ кВ $d = 2,5 \cdot 10^{-3}$ м, что позволяет вычислить приближенно энергию электронов $E \approx 50$ эВ. Известно, что процессы ионизации в окисных диэлектриках характеризуются пороговой энергией $E_n \approx (2-3) \cdot E_g$, где E_g — ширина запрещенной зоны. Так как E_g для V_2O_5 равна 9,1 эВ, образование электронно-дырочных пар должно происходить при энергиях электронов $E \geq 20$ эВ, что подтверждается данными эксперимента. Действительно для $U < 6$ кВ ($E < 20$ эВ) в V_2O_5 наблюдаются только электронные центры, образование которых можно объяснить локализацией термолитованных электронов. При $U \geq 6$ кВ ($E > 20$ эВ) в V_2O_5 под действием ЭР создаются электронно-дырочные пары, и они локализируются в ловушках, образуя ПМЦ (рис. 1, а).

Кинетика накопления ПМЦ в V_2O_5 под действием ЭР описывается следующим выражением:

$$N_1 = N_{\infty} [1 - \exp(1 - kp\tau)],$$

где N_1 и N_{∞} — соответственно текущие и предельные концентрации ПМЦ, k — константа скорости рекомбинации частиц, p — мощность разряда, τ — время действия разряда.

Схематически процессы, происходящие под действием ЭР в V_2O_5 , можно представить следующим образом:



где L_A , L_D — электронно-акцепторные и донорные центры локализации, L_e , L_p — соответственно электронные и дырочные центры. Как видно

из схемы, выход электронных и дырочных центров в основном определяется конкурирующими процессами рекомбинации и локализации первичных неравновесных носителей заряда. Из рис. 2 видно, что концентрации ловушек электронов и дырок, а также соответствующих ПМЦ в V_2O_5 ограничены, поэтому после определенного значения $U \approx 10$ кВ наступает стационарная область в кривой зависимости W (ПМЦ) = $f(U)$. Начальная область кривой при $U < 6$ кВ характеризуется процессами накопления электронных центров, образовавшихся в результате локализации термолитованных электронов в системе V_2O_5 .

Большая концентрация неравновесных носителей зарядов в V_2O_5 обуславливает увеличение скорости процессов (5), (6) и уменьшение концентрации L_e и L_p центров. С возрастанием давлений в газовых включениях и времени экспозиции V_2O_5 в разряде, концентрация свободных неравновесных носителей увеличивается и скорость рекомбинации центров возрастает. На рис. 3 представлены кинетические кривые

накопления ПМЦ в B_2O_3 при 77 К и различных давлениях среды. Как видно, при больших временах и давлениях наблюдается уменьшение концентрации ПМЦ, что может быть объяснено протеканием процессов по схемам (5) и (6). Уменьшение скорости образования ПМЦ при

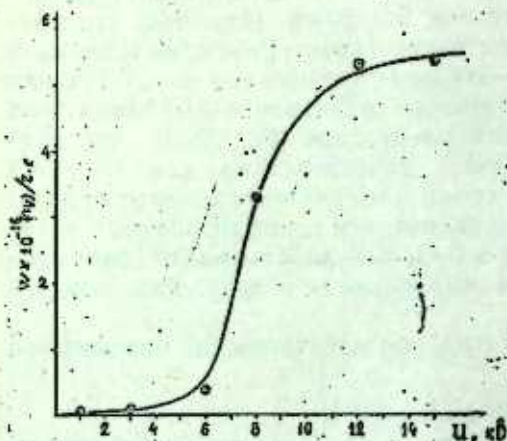


Рис. 2. Зависимость скорости накопления парамагнитных центров в B_2O_3 при 77 К от напряжения электрического разряда

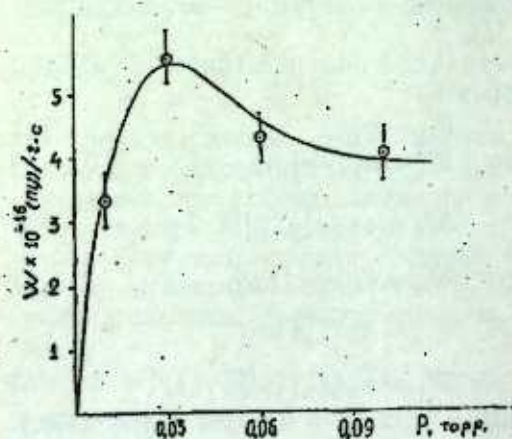


Рис. 3. Кинетика накопления парамагнитных центров в B_2O_3 , обработанных при различных давлениях воздуха (запись проведена при 77 К)

больших давлениях может быть связано с уменьшением длины свободного пробега и соответственно энергии электронов, образующихся в ЭР.

Таким образом, на основе изложенного можно сделать следующие выводы.

Методом ЭПР изучена природа и кинетика накопления ПМЦ в B_2O_3 , обработанного в среде ЭР при 77 К и различных напряжениях ЭР. Установлено, что в зависимости от приложенного напряжения изменяется тип ПМЦ, т. е. от 1 до 6 кВ генерируются электронные, от 6 до 15 кВ—дырочные центры.

Выявлены возможности проведения гетерогенного превращения веществ, протекающих под влиянием ЭР по электрофизическому механизму.

В заключение авторы выражают благодарность акад. Ч. М. Джуварлы за обсуждение результатов.

Литература

1. Дубровин В. Ю., Максимов А. И.—ХВЭ, 1980, т. 14, № 1, с. 54.
2. Гарибов А. А., Бакиров М. Я., Велибекова Г. З., Джафарова Я. Д.—ВАНТ. Сер. "Атомно-водородная энергетика и технологии". 1985, вып. 3, с. 57—59.
3. Русанов В. Д., Фридман А. А. Физика химически активной плазмы.—М.: Наука, 1985, с. 414.
4. Dakin T. W., Malinaring P. J. Integrated Corona-Charge Transfer and Power Loss per Cycle.—Power Apparatus and Systems, 1960, № 50, p. 648.
5. Dixon H. S. Rapid Determination of Corona Loss per Cycle.—Trans. AIEE, 1959, v. 78, 1, p. 207.
6. Пшежецкий С. Я., Котов Л. Т. ЭПР свободных радикалов в радиационной химии.—М.: Химия, 1972.
7. Griscom D. L. et al.—J. Chem. Phys., 1968, v. 48, № 11, p. 5158.
8. Griscom D. L. et al.—J. Chem. Phys., 1970, v. 53, № 1, p. 469.
9. Гарибов А. А., Гасанов А. М., Гезалов Х. Б., Керимов М. К.—В сб.: Современные методы и ЭПР в химии твердого тела, М., 1985, с. 228.

Сектор радиационных исследований
АНАзССР

Поступило 10. VII 1968

Х. Б. Кезалов, Э. М. Исэнов, Х. И. Абдуллаева

ЭПР МЕТОДУ ИЛЭ ЭЛЕКТРИК БОШАЛМАСЫНЫН B_2O_3 МАДДЭСИНЭ ТЭ'СИРИНИН ӨЖРЭНИЛМЭСИ

Мөгаләдә бор оксидидә электрик бошалмасынын тә'сирин алтында әмәлә кәләп парамагнит дефектләр вә онларын тәбиәти тәдгиг олунмушдур. Алыммыш итичәләр әсасында B_2O_3 маддәсиндә электрик бошалмасынын тә'сирин алтында әләвә каталитик актив мәркәзләрин әмәлә кәлмәси просәсләринин мүмкүн механизми верилмишдир. Бу мәркәзләр јығымынын кинетик гануна—ујғулулары өјрәнилмишдир.

Kh. B. Gezalov, A. M. Hasanov, Kh. I. Abdullaeva

THE INVESTIGATION OF THE INFLUENCE OF ELECTRICAL DISCHARGE ON B_2O_3 BY EPR METHOD

The nature of paramagnetic defects which were formed by electrical discharge on oxide boron was investigated. On the basis of obtained data the possible mechanism generating catalytic active centres in B_2O_3 was given. The features of the kinetic accumulation of these centres were studied.

П. С. НАГИ-ЗАДЕ

ОБЩИЙ ПРИНЦИП ХИМИЧЕСКОЙ КИНЕТИКИ (ОПХК)

(Представлено академиком АН Азербайджанской ССР
Т. Н. Шахтагинским)

В настоящее время одной из сложных и нерешенных проблем в химической кинетике (ХК) является количественное предсказание скоростей реакций с физической однородностью константы скорости для любой молекулярности и порядка реакции. Успешное решение данной проблемы может привести к созданию единого выражения скорости химической реакции (ХР).

Одним из основных законов ХК является закон действующих масс (ЗДМ) и созданные впоследствии принципы ХК. Этот закон и принципы ХК сконструированы для понимания в определенном приближении механизма протекания ХР и в какой-то мере осуществления управления им.

Как известно, любой физико-химический закон должен обладать постоянством физического смысла тех характеристик (величин или параметров), которые составляют его сущность. Однако в известных принципах ХК вопросы постоянства физического смысла (физическая однородность) и размерности константы скорости, безразмерности величин константы равновесия и единого принципа, описывающего протекание ХР для любого порядка и молекулярности, игнорируются. Поэтому известные принципы ХК имеют в этом плане очень приближенный и неполный характер описания, т. е. чисто формальное математическое описание реальных объектов.

Сосредоточим основное внимание на наиболее слабых положениях в известных принципах ХК (ИПХК):

1. В классических принципах ХК (КПХК) необоснованно учитывается взаимодействие в виде произведения неограниченного количества концентраций, т. е. $\prod_{i=1}^m C_i^{n_i}$.

2. Из этих принципов видно, что константы скорости реакций k и равновесия K для различных порядков n имеют различный физический смысл и соответственно размерности или единицы измерения, например, скорость реакции:

$$W = k \text{ при } n = 0 \text{ и } k = \frac{\text{моль}}{\text{м}^3 \cdot \text{с}};$$

$$W = kc \text{ при } n = 1 \text{ и } k = \text{с}^{-1};$$

$$W = kC^2 \text{ или } W = kC_1C_2 \text{ при } n = 2 \text{ и } k = \frac{\text{м}^3}{\text{моль} \cdot \text{с}};$$

$$W = kC^m \text{ при } n = m \text{ и } k = \frac{(\text{м}^3)^{m-1}}{(\text{моль})^{m-1} \cdot \text{с}}.$$

Из описанного следует, что при $n \neq 1$ константа скорости не имеет точного и ясного физического смысла и для каждого порядка реакции получается как бы отдельный закон ХК, существенно отличающийся от других физико-химическими свойствами и смыслом.

3. В литературе [1—7] имеются данные, указывающие на возможность появления наряду с положительными, целочисленными и нецелочисленными значениями порядков реакций. Это объясняют в основном сложностью механизма протекания реакции: КПХК не позволяют полностью раскрыть физико-химическую сущность протекающих процессов в исследуемых системах, так как при этом константы скорости, равновесия и других лишены точного и ясного физико-химического смысла и понятия.

4. В [1, 2] имеются данные, указывающие на изменчивость порядка реакции в зависимости от давления. Это, в свою очередь, приводит к изменению физического смысла константы скорости реакции и единицы измерения.

5. КПХК также не в состоянии дать точное определение выражения скорости $W = kC_A C_B$ для случая, когда $C_A \gg C_B$. Просто принимается $C_A \approx \text{const}$ и включается в константу скорости, реакции, т. е. $k_{\text{фик}} = kC_A$ и т. д., и реакция второго порядка переходит в первый.

6. Согласно [6, 7] порядок реакции может принять $n < 0$ значение. Если это так, то из выражения $W = kC_1^{-1} \cdot C_2$ получим: при $C_1 \rightarrow 0$ $W \rightarrow \infty$ и $C_1 \rightarrow \infty$ $W \rightarrow 0$, при этом получаются абсурдные результаты.

7. На основе КПХК для реакций типа $A + B \xrightleftharpoons[k_{-1}]{k_1} D$ для константы равновесия при динамическом равновесии, т. е. при $W = 0$, получаем $W_1 = W_{-1}$, откуда $\frac{k_1}{k_{-1}} = \frac{C_D}{C_A C_B} = K$, $\frac{\text{м}^3}{\text{моль}}$ и т. д., т. е. K для разных порядков n имеет разный физический смысл и единицу измерения. Подобных примеров, указывающих на неточность КПХК, можно перечислить множество.

Приведенные доводы указывают на неточность ИПХК и не дают возможность ясно и полно ответить на те физико-химические явления, которые протекают в исследуемых химических и других системах.

Таким образом, КПХК в существующей трактовке нельзя считать совершенными. Мы видим, что в одних случаях они дают правильные ($n=1$), в других—неправильные ($n \neq 1$) результаты в понятии приближения к описанию истинной картины исследуемых реальных процессов. Таковы в краткости характерные особенности КПХК—формальной кинетики.

Резюмируя изложенное, можно сказать, что в настоящее время в ХК существует множество еще нерешенных проблем, для решения и развития которых требуются новые пути. В данной статье рассмотрены

некоторые новые аспекты принципов ХК — в основном развитие основ КПХК. Другими словами, это создание ОПХК или единого выражения скорости реакции (ЕВСР) для любой молекулярности и порядка, что позволяет с лучшим приближением описать множество наблюдаемых различных процессов.

Разработанный нами ОПХК (как и все известные принципы) установлен опытным путем как обобщение большого количества опытных фактов. Предлагаемый ОПХК основан на двух постулатах:

1. В качестве основного требования выбрана физико-химическая однородность константы скорости k' — частота столкновений, c^{-1} .

2. Впервые в уравнении скорости реакции вместо $\prod_{i=1}^m C_i^{n_i}$ принято

$$\mu^N = \frac{\prod_{i=1}^n C_i^{2m_i}}{\sum_{i=1}^n m_i C_i}$$

постулированное выражение приведенной концентрации μ^N (или масса) для одновременно взаимодействующих m -частиц (или тел), где n — общее число сортов частиц (молекул), m_i — число частиц i -го сорта, N — суммарный эффект парциальных порядков N_i , т. е. $\mu^{N_1} \mu^{N_2} \dots$

$\dots \mu^N = \mu^1 = \mu^N$, где $0 < N_i < 1$ — вероятностная величина, а $N \geq 0$.

Согласно принятым постулатам, обобщению опытных фактов и некоторым теоретическим соображениям, установлено, что

$$\left. \begin{array}{l} W' \propto \mu^N \\ W' \propto k' \end{array} \right\} \text{ тогда } W' \propto k' \mu^N = k' H \mu^N, \frac{\text{моль}}{\text{м}^3 \text{с}}$$

где $k' = k_0 e^{-E/RT}$, c^{-1} ;

μ^N — приведенная концентрация, $\left(\frac{\text{моль}}{\text{м}^3}\right)^N$;

H — коэффициент пропорциональности, $\left(\frac{\text{м}^3}{\text{моль}}\right)^{N-1}$.

Для коэффициента H были рассмотрены некоторые приближения, используемые при интерпретации и определении выражения скорости реакции. Для H установлено, что $H = v_0^{N-1} = \left(22,414 \cdot 10^{-3} \frac{\text{м}^3}{\text{моль}}\right)^{N-1}$.

Согласно ОПХК для схемы реакции $A + B \rightarrow D$ про $C_A \gg C_B$ получим: $W' = k_1 H_1 \mu_1^{N_1} = k_1 H_1 \left(\frac{C_A C_B}{C_A + C_B}\right)^{N_1} = k_1 H_1 \frac{C_B}{1 + \frac{C_B}{C_A}} = k_1 H_1 C_B \frac{\text{моль}}{\text{м}^3 \cdot \text{с}}$

если $C_A = C_B$, то $\mu_1 = \frac{C_A}{2}$ или $\frac{C_B}{2}$, то $W' = k_1 H_1 \left(\frac{C_A}{2}\right)^{N_1}$ или $W' =$

$= k_1 H_1 \left(\frac{C_B}{2}\right)^{N_1}$; если $A + B \xrightleftharpoons[k_{-1}]{k_1} D$, то $W' = k_1 H_1 \mu_1^{N_1} - k_{-1} H_{-1} \mu_{-1}^{N_{-1}}$ при

$$\begin{aligned} \text{динамическом равновесии } W' = 0, \text{ тогда } W'_1 = W'_{-1} \text{ или } k_1 H_1 \mu_1^{N_1} &= \\ = k_{-1} H_{-1} \mu_{-1}^{N_{-1}}, \text{ или } k_1 H_1 \left(\frac{C_A C_B}{C_A + C_B}\right)^{N_1} &= k_{-1} H_{-1} C_D^{N_{-1}}, \text{ откуда } \frac{k_1}{k_{-1}} = \\ = \frac{H_{-1} \mu_{-1}^{N_{-1}}}{H_1 \mu_1^{N_1}} = \frac{H_{-1} C_D^{N_{-1}}}{H_1 \left(\frac{C_A C_B}{C_A + C_B}\right)^{N_1}} &= K' \text{ — симплексная величина, б/р.} \end{aligned}$$

Очевидно, что предлагаемый в данной статье принцип может стать справедливым только в том случае, если он удовлетворительно опишет опытные данные для многочисленных процессов. В качестве экспериментального подтверждения ОПХК можно указать на расчеты, проведенные по настоящее время для 16 процессов разной сложности. Сформулированный в данной статье ОПХК позволяет получить ЕВСР для любой молекулярности и порядка с единичными и постоянными физическими понятиями таких физико-химических величин, как константы скорости реакции k' , равновесия K' , приведенной концентраций μ , «порядка реакции N », коэффициента пропорциональности H и, наконец, выражения скорости реакции W' .

ОПХК позволяет перейти от формальной картины ХК к неформальной. Это стало возможным благодаря принятию физической однородности константы скорости, симплексности константы равновесия, пропорциональности скорости реакции приведенной концентрации для m одновременно взаимодействующих частиц и др. Из изложенного следует, что ОПХК позволяет внести ясность в наши представления о скорости химической реакции. В рамках ОПХК была развита теория ХК как для простых, так и для сложных ХР. Нами накоплено много конкретных примеров разной сложности, подтверждающих его правоту. Проведенные расчеты на основе ОПХК для различных ХР показали, что он позволяет правильно предсказывать многие закономерности исследуемых реальных процессов и хорошо описывает широкий круг экспериментальных данных.

Литература

1. Лейдлер К. Кинетика органических реакций. — М.: Мир, 1966.
2. Робинсон П., Холбрук К. Мономолекулярные реакции. — М.: Мир, 1975.
3. Эмануэль А. М., Кнорре Д. Г. Курс химической кинетики. — М.: Высшая школа, 1974.
4. Еремин Б. Н. Основы химической кинетики в газах и растворах. — М.: Изд-во МГУ, 1971.
5. Фичини Ж., Ламброзе-Бабер Н. Основы физической химии. — М.: Мир, 1972.
6. Кондратьев В. Кинетика химических газовых реакций. — М.: Изд-во АН СССР, 1958.
7. Франк-Каменецкий Д. А. Диффузия и теплопередача в химической кинетике. — М.: Наука, 1967.

Поступило 4. III 1987.

АзНПО «Нефтегазавтомат»,
НИПИ Нефтехимавтомат

П. С. Нагыззаде

КИМЈӨВИ КИНЕТИКАНЫН ҮМУМИ ПРИНЦИПИ

Мағаләдә илк дөфә оларағ кимјөви реаксияларын сүр'әтини тә'јин етмәк үчүн үмуми принцип верилмиш вә практикә оларағ тәсдиғ едилмишдир.

P. S. Nagi-zade

GENERAL PRINCIPLE OF CHEMICAL KINETICS

The questions of creating unit expression for reaction rate with physical homogeneity of rate constant for any molecularity and order are considered in this article.

Б. В. ГРИГОРЬЯНЦ, И. С. ГУЛНОВ

ОБРАТНЫЕ СООТНОШЕНИЯ В СКЛАДЧАТОЙ СТРУКТУРЕ РАЗНОВОЗРАСТНЫХ ФОРМАЦИОННЫХ КОМПЛЕКСОВ ОТЛОЖЕНИЙ И ВОЗМОЖНЫЕ ПРИЧИНЫ ИХ ВОЗНИКНОВЕНИЯ (НА ПРИМЕРЕ ЮЖНО-КАСПИЙСКОЙ ВПАДИНЫ)

(Представлено академиком АН Азербайджанской ССР Ш. Ф. Мехтиевым)

В истории развития идей о механизмах складкообразования отчетливо намечаются этапы, характеризующиеся преобладанием тех или иных концепций. Наиболее распространенные представления исходят из определяющей роли внешних воздействий (движения плит, мантийный диапиризм, горизонтальные течения в мантии, неравномерность вращения Земли и т. д.) на земную кору.

За последние десятилетия широкое распространение получила идея формирования складчатости непосредственно за счет процессов, происходящих в земной коре. Наиболее четкую интерпретацию эти представления получили в концепции инверсии плотностей, обусловленной процессами метаморфизма на инверсионной стадии геосинклинального режима. Вместе с тем накапливались данные (в основном по молодым сверхглубоким депрессиям), в которых описывались примеры возникновения складчатости непосредственно на стадии накопления осадков, в связи с чем соответствующие структуры получили название структур роста. Однако деформациям, синхронным с накоплением осадков, придавалось значение случаев, осложняющих складчатость, облик которой сформировался в основном на орогенной стадии развития бассейнов.

Обобщение большого фактического материала по складчатой структуре осадочных толщ в областях развития грязевого вулканизма наглядно показало наличие обратных соотношений в строении кровли и подошвы этих толщ. Наиболее наглядно обратные соотношения между кайнозойским осадочным чехлом и мезозойским или докайнозойским складчатым основанием выражены в Южно-Каспийской впадине (ЮКВ), где мощности первого измеряются величинами более 10—15 км, достигая даже 25 км [1]. Аналогичный вывод сделан и относительно структурных соотношений между альпийским (мел, юра) геосинклинальным комплексом отложений и доальпийским фундаментом на востоке Большого Кавказа [2].

Была выдвинута идея о том, что возникновение обратных, или инверсионных, соотношений (в особенности в поверхностном выполнении прогибов) связано с формированием складчатой структуры в результате прогибания как следствие автономных процессов, протекающих в этом поверхностном выполнении, обусловленных внутренней энергетикой осадочной толщи и не зависящих непосредственно от воздействий внешних сил [2]. С точки зрения оценки физико-химических условий и механических процессов возможность проявления автономно-

го складкообразования в осадочном бассейне оказалась реальной. Л. А. Буряковский и Р. Д. Джаваншир (1985) наглядно показали возникновение в процессе осадконакопления резких различий в поровых давлениях осадочного выполнения прогибов, в их краевых и центральных частях. В результате формируется горизонтальный градиент эффективного давления и плотности, направленный от периферии к центру и определяющий бассейн, точнее, его поверхностное выполнение как неравновесную систему.

Чрезвычайно существенным, возможно, решающим фактором, вызывающим механическую нестабильность системы напластований, являются процессы газообразования, протекающие в глубоких горизонтах ЮКВ. Так, показано, что высокая интенсивность протекания процессов газообразования в ЮКВ сохраняется на больших глубинах [3].

Численные оценки показали, что в глубоководных горизонтах ЮКВ могут быть достигнуты такие скорости образования (миграции) газов, что глинистое вещество разуплотняется до состояния псевдосжижения и даже течения подобно вязкой жидкости [4].

Наличие таких разуплотненных глинистых пород четко фиксируется по скоростям распространения сейсмических волн. В частности, на скоростной модели ЮКВ зоны недоуплотнения (низкоскоростной интервал) фиксируются на глубинах начиная с 7 км (рис. 1). До этих глубин скорости сейсмических волн возрастают, что свидетельствует об уплотнении пород с глубиной.

Неизбежный итог разуплотнения — инверсия плотностей и механическая нестабильность системы напластований, приводящие к перераспределению вещества в соответствии с плотностями, глинистому и соляному диапиризму и грязевому вулканизму и в целом к увеличению объема пород.

Так, в пределах ЮКВ образование складчатости и частная инверсия геотектонического режима (трансформация прогиба в поднятие) отчетливо выражены на участке Бакинского архипелага (рис. 2). Этот процесс при низких температурах и практически при отсутствии мантийных флюидов в ЮКВ [3] в значительной степени идет за счет собственной энергии осадочной толщи.

Достаточно контрастно процесс автономного складкообразования проявляется и в других молодых сверхглубоких депрессиях, где в связи с высокой скоростью погружения, затрудненным оттоком воды, низкой степенью катагенетической превращенности органического вещества и самих пород формируются неравновесные системы; релаксация (выравнивание) которых путем механического перемещения в пространстве представляется весьма реальным, практически неизбежным явлением. Такие процессы фиксируются в виде дисгармоничной складчатости, имеющей изоклинально-чешуйчатый характер, повторения в разрезе осадочного выполнения одних и тех же горизонтов, глинистого диапиризма и грязевого вулканизма и в конечном итоге в виде обратных соотношений в структуре кровли и подошвы осадочного чехла. Достаточно уверенно они могут быть объяснены и в рамках существующих физико-химических представлений и подтверждены натурным, физико-химическим и математическим моделированием процессов складкообразования и грязевого вулканизма.

С изложенных позиций складкообразование и инверсия тектонического режима представляются как свойство осадочных пород, неизбежно реализующиеся на определенных стадиях развития осадочно-пород-

ных бассейнов. Наставая на справедливости этого положения, авторы не отрицают роли глубинных тектонических процессов в формировании складчатой структуры. Принципиально важным, однако, является то, что внешний источник энергии может воздействовать на осадочную

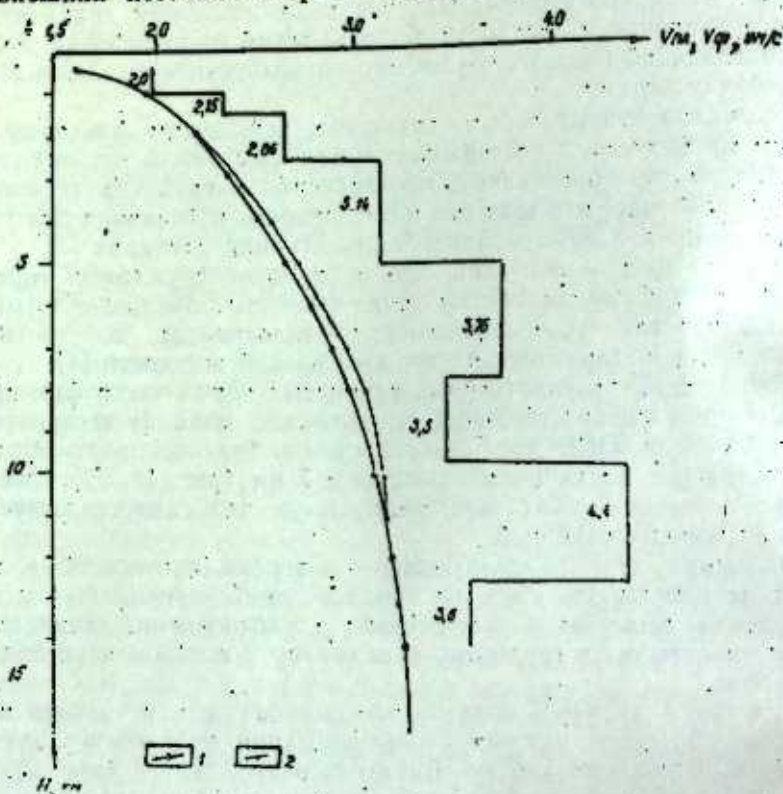


Рис. 1. Обобщенная скоростная модель осадочного чехла Южно-Каспийской впадины (по М. М. Раджабову и др.): 1 — кривая средних скоростей по данным параметров обобщенной скоростной модели; 2 — принятая кривая средних скоростей для данной зоны

толщ не механически, а опосредованно, через флюидную динамику и тепловой поток, которые обеспечивают реализацию потенциальной энергии в самой осадочной толще, например, в виде разуплотнения пород. Приведенная аргументация ставит своей задачей акцентировать внимание на том факте, что уже на стадии прогибания толщ осадочных пород представляют собой не инертную среду, складчатая структура которых обусловлена исключительно внешним воздействием — приложением горизонтальных или вертикальных сил, а богатую потенциальной энергией неравновесную систему, обеспечивающую проявление автономных процессов. Надо полагать, что именно за счет таких процессов формируются обратные соотношения между кровлей и подошвой толщ, выполняющих прогибы и не несущих свидетельств непосредственного (механического) воздействия глубинных процессов.

Представляется достаточно вероятным, что возникновение на глубинах 8—10 км и более неравновесных систем возможно не только в осадочных, но и в вулканосадочных толщах. В этом случае обратные соотношения в структуре поверхности и подошвы одного и того же

формационного комплекса или смежных формационных разновозрастных комплексов отложений вообще должны рассматриваться как следствие приведения в равновесие сложных систем в земной коре на указанных глубинах.

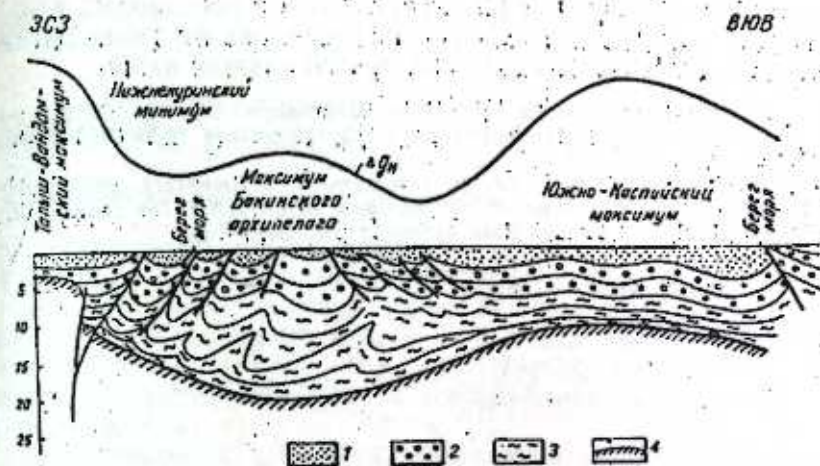


Рис. 2. Принципиальная схема структурных соотношений между осадочным (кайнозойским) выполнением и докайнозойским складчатым основанием Южно-Каспийской впадины. Возрастные комплексы отложений: 1 — квартер, 2 — плиоцен, 3 — миоцен-палеоген, 4 — поверхность докайнозойского складчатого основания, построенная по обобщенным материалам ГСЗ и данным бурения Саатлинской СГ; Δg_n — кривая наблюдаемого поля силы тяжести

Есть достаточно убедительные примеры и теоретические предпосылки полагать, что обратные соотношения в складчатой структуре — явление более общее, характерное не только для областей развития грязевого вулканизма: в последнем случае оно выражено более наглядно и может быть надежно установлено.

Литература

1. Shikhalibelly E. Sh., Grigorjants B. V. — Tectonophysics, 1980, 69, 113—321.
2. Григорянц Б. В. — Геотектоника, 1982, № 4, с. 42—53.
3. Дадашев Ф. Г., Гулиев И. С. — В кн.: Очерки по геологии Азербайджана. Баку, 1984, с. 126—148.
4. Иванов В. В., Гулиев И. С. — Бюлл. Моск. о-ва испытателей природы. Отд. геол. 1986, т. 61, вып. 1, с. 72—80.

Институт геологии АН АзССР

Поступило 26. III 1987,

Б. В. Григорянц, И. С. Гулиев

МУХТЭЛИФ ЈАШЛЫ ФОРМАСИЈА КОМПЛЕКСИ ЧӨКҮНТҮЛЭРИНИН ГЫРЫШЫГЛЫГ СТРУКТУРАЛАРЫНДА ЭКС НИСБЭТИ ВЭ ОНЛАРЫН ЈАРАНМА СЭБЭБЛЭРИ (ЧЭНУБИ ХЭЗЭР ЧӨКӘКЛИЈИ ТИМСАЛЫНДА)

Мағаләдә дәрн чөкәкликләри долдурулмуш чөкмә сүхур гатларында мүстәгил гырышыглыг эмәләктәтирмә вә кеотектоник инверсија режимини зәрурилијиндәи бәис едилир вә бу процесни чөкүнтү гатыныи өз енержи ресурсу илә барлы олмасы асылы-

лығы көстөрүлүр. Ејни заманда дөриллик процесләринин чөкмө гатлара олан тә'сирини механики дејил, флүидләрин динамикасы вә истилик ахымлары һесабына баш вердји-нәзәрдә тутулур.

B. V. Grigoryants, I. S. Guliev

INVERSE RELATIONS IN FOLD STRUCTURE OF DISCORDANT AGE FORMATION COMPLEXES AND POSSIBLE REASONS OF THEIR ORIGIN (ON THE EXAMPLE OF THE SOUTH-CASPIAN BASIN)

The article deals with inevitability of the independent folding and the geotectonic regime inversion within the sedimentary series of surface filling of trough (first of all superdeep).

This process is stipulated by energy resources of sedimentary series. Abyssal processes or external energy resources are assumed to influence the sedimentary series not mechanically but through fluid dynamics and heat flow.

УДК 631.416.8

Н. А. АГАЕВ

ПОЧВОВЕДЕНИЕ

К БИОГЕОХИМИИ МЕДИ И МОЛИБДЕНА В ЛАНДШАФТАХ МАЛОГО КАВКАЗА АЗЕРБАЙДЖАНСКОЙ ССР

(Представлено академиком АН Азербайджанской ССР Г. А. Алиевым)

Ставя конечными целями работы биогеохимическое районирование Малого Кавказа на территории Азербайджанской ССР (за исключением Нахичеванской АССР) и агрохимический прогноз размещения и эффективности микроудобрений в сельском хозяйстве, полагаем, что успешное решение данной задачи может иметь определенное научное значение и играть практическую роль в использовании природных богатств указанного региона.

Среди рассеянных химических элементов в качестве объектов изучения были взяты медь и молибден. Выбор этих элементов обусловлен двумя обстоятельствами: во-первых, физиологической важностью их для живых организмов и, прежде всего, для растений; во-вторых, недостатком или отсутствием сведений по биогеохимии и агрохимии данных элементов в условиях Малого Кавказа Азербайджанской ССР, необходимых для решения ряда научных и практических вопросов.

Исследования проводились с 1980 по 1985 г. Но и раньше нами проводились аналогичные исследования в рассматриваемом регионе: 1966 — 1970 гг. — в Кировабад-Казахской зоне и 1973 — 1975 гг. — совместно с Х. И. Халиловой и А. М. Али-заде в почвах пастбищных угодий Малого Кавказа.

Во время исследований кроме почвенных образцов собраны также образцы культурной и дикой растительности, взяты пробы поверхностных и почвенно-грунтовых вод.

На типичных с точки зрения комплекса природных условий участках закладывали почвенные разрезы. Из разрезов образцы брали в мешки из ткани по всем генетическим горизонтам. Здесь же собирали с почвы, охарактеризованной разрезом, надземную часть растительности, которую в поле же подсушивали, разделяя ее на систематические группы до воздушно-сухого состояния. С целью определения содержания микроэлементов в травяной массе на сенокосах и пастбищах выборочно делали пробные укосы. Воду из озер, рек, ручьев, а также грунтовые воды, вскрытые разрезами, отбирали в стеклянные банки, бутылки белого цвета или полиэтиленовые канистры разного объема. Объем проб воды зависел от степени ее минерализации. По сравнению с засоленными пресные воды брали в большем количестве.

Объектами исследования также служили различные типы, подтипы и виды почв Малого Кавказа, сельскохозяйственные растения, выращенные или распространенные в районах отбора образцов (проб) для анализов.

К изученным сортам сельскохозяйственных растений и видам луговых трав относятся: виноград Ркацитли, картофель Лаймдота, лю-

черна Азербайджан-262, дуб, каркас, можжевельник, держи-дерево, боярышник, земляника, молочай, ромашка, чертополох, злаковое разнотравье и др.

Пробы растений брали в фазу летней вегетации (цветения). Соответствующие анализы микроэлементов проводили в абсолютно сухой биомассе растений.

Почвенные образцы отбирали по методикам М. Г. Снягиной и И. Г. Важенниа.

Валовое содержание микроэлементов в большинстве образцов горно методом эмиссионного спектрального анализа, частично химическими методами. Определение валовых форм — приближенных количеств меди и молибдена — проведено на дифракционном спектрографе ДФС-8-1 испарением из кратера угольного электрода.

Валовое содержание микроэлементов в почвах рассчитано на прокаленную при 450°C навеску.

Все спектральные определения микроэлементов в горных, почвообразующих породах, почвах и частично в растениях и природных водах выполнены в лаборатории спектрального анализа Управления геологии Совета Министров Азербайджанской ССР Т. Гусейновой и С. Алекперовой.

Другие микроэлементы в растениях, природных водах, а также подвижную форму в почвах, которые невозможно было пропустить по спектральному анализу, определяли калориметрическим методом.

Кроме этого, часть анализов проведена в лаборатории массовых анализов Почвенного института им. В. В. Докучаева.

Как показывают результаты проведенных исследований (таблица), содержание валовых и подвижных форм меди в пахотном слое (0—30 см) различных типов почв Малого Кавказа колеблется в пределах соответственно 1,0—58,0 и 0,8—6,5 мг/кг. Высоким содержанием меди характеризуются такие почвы, как горно-луговые черноземовидные, горные черноземы, горные темно-каштановые и другие, а наименьшим — горно-лесные бурые слабо- и среднеподзоленные и другие. Отдельные типы изученных почв отличаются ролью органических веществ и ила при накоплении как валовых, так и подвижных форм меди.

Несмотря на некоторую степень накопления меди в перегнойно-аккумулятивном горизонте, в целом распределение меди по профилю идет равномерно.

Концентрация молибдена в пахотном слое (0—30 см) изученных почв Малого Кавказа варьирует в пределах: валовые формы — 0,6—7,5, подвижные формы — 0,03—1,20 мг/кг. Это показывает, что содержание подвижных форм молибдена в почвах Малого Кавказа гораздо ниже, чем в других почвах.

Наименьшее валовое содержание молибдена наблюдается в горно-лесных перегнойно-карбонатных, горно-луговых торфянистых, дерновых, степных каштановых гажевых и других почвах (0,6—1,6 мг/кг), наибольшее — в горно-луговых черноземовидных, горных черноземах и бурых горно-лесных почвах (1,9—7,5 мг/кг).

Между содержаниями гумуса, илстой фракции и молибдена определена прямая корреляционная связь.

Установлено, что во многих исследованных типах почв Малого Кавказа содержание гумуса и илстой фракции оказывает влияние на распределение молибдена в почве.

В большинстве типов почв Малого Кавказа, несмотря на оптималь-

ное содержание валовых запасов микроэлементов, выявлено весьма низкое содержание их подвижных форм. Так, это содержание в гумусовом горизонте (0—30 см) составляет: меди — 0,8—6,5, молибдена — 0,03—1,20 мг на 1 кг почвы.

Содержание меди и молибдена в некоторых почвах малого Кавказа Азербайджанской ССР

Глубина образца, см	Гумус	Ил	CaCO ₃	pH воды	Медь			Молибден		
					формы					
					валовая	подвижная	подвижная, % от валовой	валовая	подвижная	подвижная, % от валовой
%				мг/кг		мг/кг				

Горно-луговые черноземовидные среднемошные почвы на щелче порфирита. Кедабекский р-н. Разрез 161

0—20	10,4	30,1	нет	6,7	25,6	3,1	12	3,4	0,60	18
20—40	6,0	39,1	"	6,8	27,4	3,4	12	3,9	0,57	15
40—60	4,2	20,2	"	6,6	20,2	2,2	11	2,0	0,29	14
смеш. обр. 0—30	7,4	36,1	"	6,7	26,0	3,3	13	3,1	0,55	18

Горно-лесные бурые слабо- и среднеподзоленные. Кельбаджарский р-н. Разрез 360

0—20	4,2	14,2	нет	6,1	8,8	0,8	9	1,6	0,07	4
20—45	2,8	15,5	"	6,0	8,0	0,7	9	1,8	0,09	5
45—60	1,7	10,0	"	6,1	7,1	0,4	6	1,2	0,05	4
60—80	1,2	13,8	"	5,8	7,8	0,6	8	1,3	0,05	4
80—100	н/о	15,0	"	5,9	6,2	0,3	5	1,4	0,06	4
смеш. обр. 0—30	3,5	15,1	"	6,0	7,9	0,7	9	1,6	0,07	4

Горные каштановые, остаточо-засоленные легко-, средне- и тяжелосуглинистые почвы на лесовидных гипсоносных суглинках. Физулинский р-н. Разрез 525

0—30	2,0	29,2	9,6	7,7	23,3	2,8	12	2,2	0,5	23
30—60	1,1	33,3	18,0	7,9	20,0	2,1	10	1,7	0,2	12
60—90	0,7	23,4	14,1	8,2	15,7	1,6	10	1,8	0,2	11
90—120	0,4	24,0	15,5	8,4	12,4	1,2	10	1,8	0,3	11
120—150	н/о	25,5	17,8	8,8	8,6	0,6	7	1,5	0,2	13
смеш. обр. 0—30	2,1	30,7	10,7	7,8	24,7	2,7	11	2,1	0,5	24

Коричневые светлые маломощные легко- и среднесуглинистые на молодых порфиритах. Дашкесанский р-н. Разрез 267

0—20	2,2	26,7	7,2	7,2	16,8	1,7	10	1,2	0,05	4
20—40	1,9	39,8	10,9	7,4	15,1	1,4	9	1,2	0,04	3
40—60	1,2	41,2	11,6	7,3	12,7	1,0	8	1,1	0,02	2
смеш. обр. 0—30	2,0	33,3	8,6	7,3	15,7	1,5	10	1,2	0,03	2

Это, видимо, зависит от валового количества микроэлементов, гранулометрического состава почв, а также от содержания в почве гумуса и реакции почвенной среды. Между подвижной формой микроэлементов и указанными факторами существует корреляционная связь разной силы.

Доля подвижной формы в валовом количестве каждого из исследованных микроэлементов в пахотном горизонте (0—30 см) неодинакова: для меди 9—13% для молибдена — 2—24%.

По генетическим горизонтам почв распределение подвижной формы микроэлементов не всегда повторяет распределение их валового количества. Для всех почв Малого Кавказа подвижные формы микроэлементов в основном аккумулируются гумусовом горизонте. С глубиной их содержание падает.

В пахотном горизонте (0—30 см) Малого Кавказа проведена группировка почв, отражающая уровень содержания валового количества и подвижной формы микроэлементов, что имеет большое практическое значение.

Значительным колебаниям подвержены также содержания микроэлементов в природных водах. Здесь в основном повышение количества микроэлементов в водах наблюдается от высокогорий к низкогорьям.

В зависимости от природного гидрологического района концентрация изученных микроэлементов заметно изменяется.

Различия между минимальными и максимальными концентрациями достигают 1—2 математических порядков.

Изученные речные, родниковые и озерные воды Малого Кавказа по концентрации микроэлементов не превышают норму международного стандарта и ГОСТа, установленную для питьевой воды.

На миграцию микроэлементов в ландшафте большое влияние оказывает растительность. Почти все изученные микроэлементы относятся к группе слабого накопления и среднего захвата (КБП < 1). Исключения составляют следующие виды растений: шиповник (листья), дуб (листья), клен (листья), граб (листья), держи-дерево, боярышник, земляника и другие, которые по изученным микроэлементам относятся к биофилам (КБП > 1).

Институт почвоведения и агрохимии
АН АзССР

Н. А. Агаев

Поступило 8.X 1985

АЗЕРБАЙЖАН ССР КИЧИК ГАФГАЗ ЛАНДШАФТЛАРЫНДА
МИС ВЭ МОЛИБДЕН БИОКЕОКИМЈАСЫ ҲАГГЫНДА

Мәғаләдә бир нечә ил әрзиндә (1966—1970, 1973—1975 вә 1980—1985 илләр) дәр вә торпаг әмәләктәтирмә сүхурларында, торпагларда, биткиләр вә суларда апарылмыш микроэлементләрни миғдары вә пајланмасын ил өјрәнилмәсиндән данышылып.
Тәдқиғатлардан мүјјән олунмушдур ки, микроэлементләрни миғдары бүтүн объектларда хәјли дәрәдәдә вәркәл етмишдир. Беләки, торпагларын мүхтәлиф типләрә мәнсуб олмасындан асылы олараг мис вә молибденни миғдары ашағыдакы миғдарда олмушдур: үмуми формалары 1,0—58,0 вә 0,6—7,5 мг/кг вә мүтәһәррик формалары 0,8—6,5 вә 0,03—1,20 мг/кг. Бу гаһунаујғуцлуг суларда вә биткиләрда дә мүһәндә едилмишдир.

N. A. Agaev

THE BIOGEOCHEMISTRY OF COPPER AND MOLYBDENUM
IN THE LANDSCAPES OF THE MINOR CAUCASUS
OF THE AZERBAIJAN SSR

Among the disperse chemical elements in quality of objects study the copper and the molybdenum are taken.
The research of these questions was carried out during some years (1966—1970,

1973—1975 and 1980—1985), and the content and distribution of shown microelements in mountains and soil-forming rocks, soils, plants and natural water in the Minor Caucasus were studied.

The result of carried out researches shows that the content of copper and molybdenum in arable layer (0—30 cm) of different types of soils of the region varies within: the gross form—accordingly 1.0—58.0 and 0.6—7.5 mg/kg and the mobile form—0.8—6.5 and 0.03—1.20 mg/kg.

The considerable vibration exposes also the content of microelements in natural water. Here rising quantity of microelements in water observes from high and low mountains.

It is determined that also the great influence on migration of microelements in landscape has vegetation. All studies of microelements concern the weak accumulation and middle accumulation of group.

Акад. АН АзССР Г. А. АЛИЕВ, Г. Р. АЛЛАХВЕРДИЗАДЕ

ОБ АНТРОПОГЕННОМ ВЛИЯНИИ НА ПОЧВЫ И ПОЧВООБРАЗОВАНИЕ В АРИДНЫХ РЕДКОЛЕСЬЯХ АДЖИНОУРА

Аджиноурские аридно-денудационные низкогорья занимают особое географическое положение, обладают своеобразным геологическим строением, находятся на стыке нескольких типов климата, характеризуются активными эндогенными и экзогенными процессами рельефообразования, неповторимыми ботанико-географическими особенностями и другими специфическими чертами, не свойственными ни одной из аналогичных территорий не только Закавказья, но и сопредельных регионов, т. е. являются вообще уникальными в биоклиматическом отношении. Поэтому здесь имеются условия для развития различных видов деятельности человека. Об этом свидетельствуют исторические, археологические и другие материалы.

В. В. Акимцев пишет: «Здесь (в Азербайджане. — Г. А.), как, возможно, нигде в другом месте Советского Союза почвы несут следы интенсивного воздействия человека. Они издавна являлись объектом труда и средством производства» [1]. Это утверждение нашло более подробное обоснование в исследованиях геоботаников [2, 3, 4], почвоведов [5] и ландшафтоведов [6].

Л. И. Прилипко указывает, что деятельность человека внесла большие изменения в современную флору. Найденные остатки *Juniperus oblonga* М. В. в кировых плейстоценовых отложениях Апшерона [7] и сохранившиеся «священные роши» можжевельника многоплодного (*J. polusagra* С. Коч) в полупустынных окрестностях ст. Дуванный свидетельствуют о произрастании редколесий с сосной эльдарской по всему пространству Боздага и Степного плоскогорья*.

Ныне сосновые редколесья сохранились только в местечке Элляроюгу, на западной границе Джейранчель-Аджиноурского региона. Во многих случаях на месте сведенных лесов развивалась нагорно-ксерофитная растительность. Значительное распространение получил полиурусовый шибляк на месте уничтоженного аридного редколесья, а в ряде случаев — полустепные травянистые сообщества.

Изменение растительности оказало значительное влияние на характер почв и почвообразование. Однако значительные изменения почв и почвенного покрова произошли в результате развития земледелия. Следует заметить, что рассматриваемый регион относится в целом к слабообжитым с древнейшего времени территориям. Однако по обрамлениям этого массива размещены такие древние очаги культуры, как Мингечаур, Кабала и др. Как указывает П. А. Буятов [8], в этих районах

* Степное плоскогорье — общенаучное название Аджиноурских низкогорий, встречающееся в работах геоботаников, а также почвоведов Азербайджана.

земледелие стало развиваться начиная с I тысячелетия до н. э. По условиям рельефа для земледелия пригодны почвы Арешской, Трутской и Сарыджинской равнины (особенно урочище Агязы), где было возможно возделывание хлебных злаков в богарных условиях. Мингечаур-Ханабадская синклиналичная долина и Аджиноурская котловина менее пригодны для земледелия ввиду распространения засоленных почв и недостаточности естественного увлажнения. Почвы выровненных поверхностей Дашюз-Амирванского хребта также в значительной степени использовались для земледелия.

Территория Аджиноурских низкогорий в течение многих веков используется как пастбище для отгонного животноводства. Благоприятные климатические условия этого региона позволяют вести выпас скота в зимнее время. Поэтому растительный покров повсеместно носит вторичный характер.

Аридные редколесья, некогда покрывавшие склоны отрогов Аджиноурских низкогорий, в историческое время в сильной степени сведены, а наименее нарушенные участки сохранились небольшими островками на крутых склонах и ныне охраняемых массивах Турянчайского заповедника. Изменение растительного покрова, а отчасти и его уничтожение привели к заметным изменениям почв. Прежде всего нужно отметить усиливающуюся эрозию почв, которая способствовала оголению крутых склонов.

В Аджиноурских низкогорьях встречаются почти все типы эрозии. Наиболее распространенными в этом районе являются плоскостная и линейная, а ирригационная и ветровая эрозии имеют подчиненное значение.

Интенсивному развитию эрозионных процессов в Аджиноурских низкогорьях, кроме таких природных факторов, как глубина местных базисов эрозии, уклоны поверхности, расчлененность территории, литологический состав слагающих пород, климат (особенно характер выпадающих осадков), способствует также и хозяйственная деятельность человека.

Исследованиями Ф. Д. Эйюбова [9] выявлено, что 51,0 земель от общей площади территории в различной степени поражены эрозией: из них 17,3 в слабой, 14,3 в средней и 20,3 в сильной степени. Смыв почвы вызывает большую потерю питательных элементов. Из 0—30-см слоя среднесмытых разностей горно-лесных коричневых остепненных почв она составляет: гумуса 56 (38,5%), общего азота 1,4 (20,2%), усвояемого фосфора 0,044 т/га (100%).

Развитию ложбин, старых русел, оврагов и других форм линейной эрозии способствовало интенсивному расчленению территории, а также иссушению почвенной массы, ибо увеличение доли поверхностного стока привело к уменьшению запасов почвенной влаги. Расчлененность территории оврагами и балками на исследуемом регионе составляет 5—8 км/км.² Длина оврагов — 60—120, а иногда доходит до 1000 м.

Нарушение целостности почвенного покрова и изменение водного режима, уменьшение поступления органического вещества и ряд других причин, прямо или косвенно связанных с антропогенным фактором, привели к изменению направления почвообразования.

Необходимо указать, что антропогенный фактор способствовал нарушению характера взаимодействия факторов почвообразования. Прежде всего необходимо подчеркнуть усиление самого антропогенного фактора, а через него и изменение растительности. В зависимости от поста-

ледней, с одной стороны, произошло изменение гидротермического режима почв, а с другой — усилилась интенсивность минерализации органических продуктов, изменилось количество и качество биомассы. Если учесть, что эти процессы протекали в течение длительного исторического периода, можно говорить о возможности изменения направления почвообразования.

Так, на крутых склонах изменение растительности (уничтожение) способствовало смыву и размыву почв, что привело к их деградации в сторону бедлендов. На сравнительно пологих склонах этот процесс приводит к образованию маломощных недоразвитых, малогумусных скелетных почв. Смывтый со склонов мелкозем под влиянием временных водных потоков транспортируется в понижения и депрессии, и тем самым происходит формирование намытых почв. Если учесть, что этот процесс продолжался в течение довольно длительного периода, можно констатировать, что антропогенный фактор оказал заметное влияние и на характер котловин и межгорных понижений (Агязы, Сарыджа, Трут, Аджиноур и др.).

Таким образом, можно предполагать, что в историческое время произошли заметные изменения процессов почвообразования и дифференциации почвенного покрова. Поэтому наиболее типичные почвы сохранились под комплексами аридно-редколесных ассоциаций, почвы равнин и пологих склонов эволюционируют в сторону степного типа почвообразования, а почвы крутых и расчлененных склонов, деградируя, постепенно превратились в бедленды.

Все это наводит на размышление о парагенезисе и полигенезе почв исследуемой территории. По-видимому, с этим связано то обстоятельство, что исследователи выделяли множество самостоятельных таксономических единиц почв, что приводило порой к противоречивым объяснениям их генезиса.

Действительно, на сравнительно небольшом регионе, каким является Аджиноур, выделение черноземов, каштановых, коричневых и серо-бурых почв требует фундаментального обоснования специфичности как условий почвообразования, так и наличия своеобразной общности генетически самостоятельных типов почв. Разумеется, что эта задача ждет своего решения как предмет специальных исследований.

Литература

1. Акимцев В. В. Почвы прикаспийской низменности Кавказа. — Ростов-на-Дону, 1957, с. 48. 2. Бейделман И. Н., Беспалова З. Г., Рахманина А. Т. Эколого-геоботанические и агролесомелиоративные исследования в Кура-Араксинской низменности Закавказья. — М. — Л.: Изд-во АН СССР, 1962. 3. Сафаров И. С. Важнейшие древесные третичные реликты Азербайджана. — Баку: Изд-во АН АзССР, 1962. 4. Прилипко Л. И. Растительный покров Азербайджана. — Баку: Элм, 1970. 5. Бабаев М. П. — Докл. АН АзССР, 1978, № 2, с. 72—75. 6. Гарибова Я. А. Антропогенное изменение естественных ландшафтов Ширванской равнины и пути их дальнейшей рациональной реконструкции: Автореф. дис... канд. географ. наук. — Баку, 1982. 7. Бурчак-Абрамович Н. И. О распространении можжевельника на Апшеронском полуострове. — Природа, 1946, № 8, с. 69—70. 8. Бунятов П. А. Земледелие в древнем и средневековом Азербайджане. — М.: Наука, 1964. 9. Эйюбов Ф. Д. Эрозия почв на третичном плато (в междуречье Аджиганчай и Геокчай): Автореф. дис... канд. с.-х. наук. — Баку, 1967.

Институт географии АН Аз ССР

h. Ə. Əliyev, K. P. Allahverdiyev

АЧИНОВУР СЕЈРЭҚ АРИД МЕШЭЛЭРИН ТОРПАГ ВЭ ТОРПАГЭМЭЛЭКЭЛМЭ ПРОСЕСИН АНТРОПОКЕН ТЭ'СИРИ НАГГЫНДА

Мәғаләдә Ачиновур эразисиндә антропоген факторун тә'сири нәтижәсиндә торпаг-әмәләкәтирән факторларын гәршылығлы алағәсиндән вә онларын мүүҗәи нисбәтдә позулмаја мә'руз галмасындан данышылып. Антропоген факторла алағәдәр торпаг өртүҗүн позулмасы, су рәжиминин дәјишмәси, үзвү мәддәләрин парчаланмасы вә башга бир сыра сәбәбләр торпагәмәләкәлмә просесинин истигамәтини дәјишмишдир.

H. A. Aliyev, G. T. Allahverdiyev

ON ANTHROPOGENIC INFLUENCE ON THE SOILS AND SOILFORMING PROCESS IN THE ARID THIN FOREST AREAS OF AJINOUR

The anthropogenic factor favours the breach of the character of the interrelation of the factors of the soilforming in the territory of Ajinour. The breaches conned with anthropogenic factors integrity of the soil cover, the change of the water regime, decrease of the organic matter and other reasons lead to the change of the soil forming process in these areas.

Поступило 21. XII 1986

Ф. В. ГАДИРОВ

ЕЩЕ РАЗ О ДАТИРОВКЕ ОБОРОНИТЕЛЬНЫХ СТЕН КАБАЛЫ (КАЛЫ)

(Представлено академиком АН Азербайджанской ССР З. М. Буниятовым)

Руины городища Кабала находятся на восточной оконечности сел. Чухур-Кабалы Куткашенского района Азербайджанской ССР. Его оборонительные стены до настоящего времени изучены не полностью. Первые исследования по этому вопросу основывались лишь на наземных наблюдениях.

И. П. Щерблякин, основываясь на размерах верхних остатков южных оборонительных стен Кабалы (Калы), предполагает, что этот памятник является албанским и построен в V—VI вв. [1, 90—94]. Это предположение нуждается, однако, в подтверждении археологическими фактами.

Впоследствии, во время проведенных наземных наблюдений, время постройки оборонительных стен на основании обломка глазурованной керамической посуды, обнаруженной в известковом растворе кирпичной кладки, предполагалось отнести к IX—X вв. [2].

В связи с этим предположением надо отметить, что оборонительные стены Кабалы (в особенности Калы) неоднократно подвергались восстановительным операциям. Самые крупные восстановительные работы в Кале проводились в 80-х годах XVI в. Это подтверждают письменные источники [3] и археологические данные (4, 41). Поэтому правильнее было бы предположить, что оборонительные стены Калы в IX—X вв. были не построены, а в очередной раз реставрированы.

Как известно, И. П. Щерблякин, говоря о кирпичной кладке оборонительных стен Кабалы [1, 93], отмечал использование здесь обожженных кирпичей квадратной формы разного размера (15 видов). Время использования этих кирпичей — с VIII—IX вв. до XVIII в. При строительстве оборонительных стен использовались кирпичи, относящиеся к разным периодам. Данный материальный факт еще раз подтверждает, что кладки из обожженных кирпичей в оборонительных стенах появились вследствие дальнейших реставрационных работ. Если это так, то на основании ранней глазурованной керамической посуды, обнаруженной в известковом растворе обожженной кирпичной кладки, предположение о строительстве оборонительных стен Калы в IX—X вв. теряет силу.

Для изучения времени закладки оборонительных стен Калы, устройства их основания, техники их строительства и т. д. в 1983 г. у основания южных оборонительных ворот с внутренней стороны (на месте ворот) были проведены археологические исследования.

В результате проведенных раскопок было выяснено, что двухчастное основание крепостной стены (высота 3 м) находится в материковом

слое (рис. 1). Нижняя часть (высота 0,5, ширина 6,2 м) шире верхней (высота 2,5, ширина 5 м). Это было сделано с целью укрепления крепостных ворот. Обе части фундамента и стена, сохранившаяся примерно на 1,5 м, выстроены из известняковых кубиков крупного размера (в



Рис. 1

среднем 40×60×40 см). Верхняя же часть каменной кладки выстроена из квадратных обожженных кирпичей разного размера на известковом растворе. Интересно, что верхние ряды каменной кладки, расположенной ниже кирпичной, находились в разрушенном состоянии. Так, в некоторых местах каменная кладка разрушена, и пустоты заполнены кирпичной [4, 49—53]. Это свидетельствует о том, что кирпичная кладка появилась в результате ремонтных работ, проведенных после сильного



Рис. 2

разрушения каменной кладки. На основании этого археологического факта можно утверждать, что южные оборонительные стены первоначально были выстроены из известняка (рис. 2).

Что же касается времени закладки оборонительных стен Калы, то надо отметить, что поверх выступающего наружу первого слоя были найдены обломки керамической посуды, характерной только для ялой-лутепинской культуры (III—I вв. до н. э.), и обломки античной черепицы [4, 52—53]. На основе этих археологических материалов можно утверждать, что южные оборонительные стены Кабалы (Калы) были заложены в преддверии нашей эры (примерно I в. до н. э.).

Известно, что Плиний Старший, упоминая о Кабале, употребил термин «oppidum». Этот термин, как правило, переводится как «укрепленное место» [5]. Поэтому нет основания не доверять письменным источникам, сообщавшим о Кабале как об укрепленном городе. С этой точки зрения археологический материал, выявленный поверх первого слоя фундамента, при сравнении его с сообщениями письменных источников доказывает правдивость сведений Плиния Старшего.

Литература

1. Шеблыкин И. П. Остатки крепостных стен Кабалы. — Докл. АН АзССР, 1945, т. 1, № 2.
2. Ахмедов Г. А. Археологические раскопки на территории Калы городища Кабала. — В сб.: Археологические и этнографические изыскания в Азербайджане (1978 г.). — Баку, 1982, с. 31.
3. Азербайджан юрт билкиси. Станбул, 1932, с. 130. — НАИИ АН АзССР, д. № 5113 (на тур. яз.).
4. Гадиров Ф. В. Отчеты Кабалинской археологической экспедиции (III отряд, 1983 г.). — Фонд САЭ Ин-та истории АН АзССР, 1983.
5. Дворецкий И. Х. Латинско-русский словарь. — М., 1976, с. 707.

Институт истории АН АзССР

Ф. В. Гадиров

Поступило 10. VI 1985

БИР ДАҒА ГЭБЭЛЭНИИ (ГАЛАНЫ) МУДАФИЭ ДИВАРЛАРЫНЫ ДӨВРҮ ҲАГҒЫНДА

И. П. Шеблыкин Гэбэлэни (Галаны) чэнуб мудафиэ диварларынын эзэмэтли көрүнүшүнө эсасланып күман этмишидир ки, бу абида албанлара анд олуб, тэхминэн V—VI эсрлөрдө тикилмишидир.

Сон вахтларда Јерүстү мушаһидэлэр нәтичәсиндә чәнуб мудафиэ диварынын бишмиш көрүнч һөркүсүндә истифада едилән мәһлулуи ичәрисиндән тапылан ширин сахәм габ гырыгына эсасән бу диварларын IX—X эсрләрдә тикилдији күман едилмишидир.

Шәһәрин Гала һиссәсини мудафиэ диварларынын эсасынын гојумасыны өјрәймәк үчүн, 1983-чү илдә чәнуб дарвазасы дибиндә археоложи тәдқиғатлар апарылмишидир. Газынты нәтичәсиндә мудафиэ диварынын ики пилләли бунөврәси ашкар едилмишидир. Бунөврәнин биринчи пилләсини үстүндән тапылан археоложи материаллара эсасән шәһәрин тәхминән е. э. I эсрдә тикилдији күман едилди.

F. V. Gadyrov

ONCE AGAIN ABOUT DATE OF DEFENSIVE WALLS OF KABALAH

Based on dimension of upper rest of south defensive walls of Kabalah (Kala), I. P. Tcheblykin supposes the monument to be an Albanian one, built in V—VI A. D. On the grounds of a fragment of glazing ceramic vessel found in a lime solution of a brickwork as well as during further ground observations carried out, the date of foundation of the defensive walls was supposed from IX—X A. D. In 1983 before the foundation of the south defensive walls from inside (on the spot of the former gate), the archaeological researches to study the date of laying of defensive walls of Kala were carried out.

On the ground of the archaeological researches one can say, that the south defensive walls of Kabalah (Kala) were laid on the threshold of A. D. (approximately in I B. C.).

АХМЕД ИСАЗАДЕ

ИЗ ИСТОРИИ ЗАПИСИ АЗЕРБАЙДЖАНСКОЙ НАРОДНОЙ МУЗЫКИ

(Представлено академиком АН Азербайджанской ССР М. З. Джафаровым)

Азербайджан издавна славится своей народной музыкой. История развития различных жанров музыкального фольклора таит в себе богатые возможности для изучения художественной и материальной культуры нашего народа.

Одним из многочисленных проявлений большого интереса к азербайджанскому фольклору следует считать публикацию героического эпоса «Кер-оглу» в первой половине XIX в., причем основная роль в этой публикации принадлежит русской этнографической науке.

Так, в 1840 г. в журнале «Маяк» были опубликованы отдельные главы дастана «Кер-оглу» с примечаниями И. Шопена [1]. Через два года польский писатель и ученый (посол России в Тегеране) Александр Ходзько, записав эпос со слов азербайджанского ашыга Садыха, издал на английском языке в Лондоне книги [2], способствовавшую широкой известности дастана «Кер-оглу» в Европе. В последующие годы эта же книга была переведена С. Пенном на русский язык и опубликована вначале в газете «Кавказ» [3], а затем отдельным изданием под названием «Кер-оглу, восточный поэт-наездник. Полное собрание его импровизаций с присовокуплением его биографии» (Тифлис, 1856).

Переведенное на русский язык издание Ходзько получило сильный резонанс в России. В одном только 1856 г. относительно этой книги было опубликовано несколько статей на страницах периодической печати [4].

В книге Ходзько особо интересным представляется нотное приложение, где воспроизведены девять образцов народных мелодий в обработке для фортепиано Антони Деконтского.

Первые три нотных образца снабжены заголовками: «Кер-оглу», «Азербайджанская песня» и «Финджан», последующие же указаны номерными знаками.

«Кер-оглу» является мелодией, входящей в обширный круг ашыгских напевов, посвященных легендарному народному герою, и принадлежит соответственно к жанру исторических песен.

«Азербайджанская песня» — вариант известной и широко распространенной песни «Галаны дибиндэ» (У подножия крепости)* — относится к жанру хороводных песен «Яллы». Это подтверждается не

* Данная песня приобрела широкую популярность под двумя названиями — «Галаны дибиндэ» и «Галадан галай», замеченными из начальных строк первых двух куплетов.

только фактом бытования песни в настоящее время в Нахичеванской АССР, но и утверждением Ходзько о том, что эта песня сопровождается танцем [2, 411].

Данная мелодия имеет большое сходство с образцом, записанным еще в 30-е годы XIX в. композитором А. А. Алябьевым в период его пребывания на Кавказе (1832—1838 гг.), и использована им во «Французской кадрили из азиатских песен» для фортепиано (Москва, 1834) [5].

Если учесть, что мелодии, зафиксированные Алябьевым и Ходзько, интонационно и ритмически близки друг другу, то можно предположить, что популярная азербайджанская песня в 30-е годы XIX в. бытовала именно в таком виде.

Мелодия «Финджан» («Чашка») является одним из многочисленных образцов азербайджанских народных игровых песен. Наименование мелодии непосредственно связано с названием игры, в которой обычно участвует молодежь. Как описывает в своих воспоминаниях выдающийся мастер азербайджанского мугамного оперного искусства, народный артист республики Г. К. Сарабский, игра в финджан обычно проводилась в чайхане в сопровождении различных музыкальных номеров [6].

Все три песни принадлежат к различным песенным жанрам — историческому, лирическому и игровому, и это обуславливает разные для каждого жанра ладовые основы, мелодические структуры, принципы интонационного развития, а также метроритмические рисунки. В то же время все три песни имеют двусоставную форму. При этом несколько особняком стоит песня «Кер-оглу», так как структура ее расширена за счет своеобразных заключений после каждого раздела, что также объяснимо закономерностями жанра.

Ряд характерных, типических интонаций, определенность ладокаденционного строя, логика драматургии мелодического развития этих песен дают возможность причислить напевы «Кер-оглу», «Финджан» наряду с популярной песней «Галанын дибиндэ» к характерным и интересным образцам азербайджанского народно-песенного творчества.

Последующие песни не снабжены заголовками, вследствие чего трудно определить их принадлежность к тому или иному жанру. Однако, анализируя эти мелодии с позиции строения их формы, мелодического содержания, а также ладовой основы, можно сделать некоторые выводы, позволяющие причислить их к азербайджанскому народно-песенному творчеству. Прежде всего это касается мелодической структуры песен, каждая из которых в своем строении четко делится на двутакты либо четырехтакты. Кроме того, большинство из них завершается своеобразным дважды повторенным заключительным мотивом, играющим роль резюмирующего построения. Такая структура свойственна многим азербайджанским песням.

Еще одной характерной чертой, сближающей их с азербайджанскими народными песнями, является принцип мелодического движения, которое почти во всех песнях разворачивается в нисходящем направлении — от опевания более высоких устоев к опеванию более низких. Интонационное содержание отмечено отсутствием резких скачков — в основном это опевание определенных ступеней, постепенное движение либо мягкое секвентное развитие.

Несколько сложнее вопрос ладовой принадлежности данных песен. В некоторых из них ощущается принадлежность к ладу раст.

Однако каденции в основном размыты, порой неожиданны и даже нелогичны, что затрудняет определение ладовой основы песен. Вероятнее всего предположить неточность фиксации мелодии. Тем не менее все, отмеченное в статье, дает нам право рассматривать исследуемые песни как образцы азербайджанского народно-песенного творчества.

Литература

1. Тахмасиб М. Азербайджанские народные дастаны (средние века): Автореф. дис. д-ра филол. наук.—Баку, 1965.
2. Chodzko A. Specimens of the popular poetry of Persia as found in the adventures and improvisations of Kurroghlou, the bandit minstrel of northern Persia.—London, 1842.
3. Кер-оглу, восточный поэт-наездник. Полное собрание его импровизаций с присовокуплением его биографии.—Газ. «Кавказ», 1856, 11, 15, 18, 22, 29 марта; 1, 12, 15, 26, 29 апр.; 5, 10, 15, 17, 20, 24, 27, 31 мая.
4. Садыхов М. Кер-оглу в русской прессе 1856 г.—Докл. АН АзССР, 1959, т. 15, с. 973—976.
5. Димитриади Н. Б. К вопросу о первоисточнике «Персидского хора» из оперы «Руслан и Людмила».—Уч. зап. Азгосконсерватории им. У. Гаджибекова. Сер. XIII, 1968, № 1.
6. Сарабский Г. К. Старый Баку.—Баку: Изд-во АН АзССР, 1958, с. 74.

Институт архитектуры и искусства
АН АзССР

Поступило 9. VII 1986

Ә. Исзада

АЗЭРБАЈЧАН ХАЛГ МУСИГИСИННИН НОТ ЈАЗЫ ТАРИХИНДЭН

Мәгалә Ходзконун 1840-чы илдә Лондонда чап едилән «Короғлу» дастаны китабына элавә кими верилинш нот нумунәләрини тәдгигинә һәср олунуб. Нот элавәсинә Антони Деконтскинин фортепиано үчүн ишләдији 9 халг мелодија нумунәлери дахилдир. Илк үч нот нумунәлери «Короғлу», «Азербайчан маһнысы» вә «Финчан» башлығы алтында, сонракылар исә рәғәм ишараләри илә тәгдим едилмишдир. Бу мелодијаларын форма гурулушлары, мәзуунлары, һәмчинин лад әсасы бахымындан тәһлил, онлары Азербайчан халг маһны јададчылығынын нумунәлери кими гимәтләндирмәјә әсас верир.

A. Isazade

SOME FACTS FROM THE HISTORY OF RECORDING AZERBAIJAN FOLK MUSIC

In this article the author makes some studies of note samples given in the supplement to the book of A. Chodzko about "Koroglu" published in London in 1840.

In this supplement nine samples of folk music are given in improvisation of Antony Dekontsky for piano. The first three of these note samples have such titles as: "Koroglu", "The Azerbaijan song" and "Fındjan", others are enumerated.

The results of analyses from the point of view of their structural peculiarities, and form, melody content, modal principles give us the possibility to consider them as the samples of Azerbaijan folk songs.

Е. Б. МАНСУРОВ

«АЗƏРБАЈЧАН МУСИГИСИНДƏ «САГИНАМƏ» ЖАНРЫ

(Азərbayжан ССР ЕА академики М. Ч. Чəфəров тəғдим етмишидир)

Əн'əнəви Азərbayжан мусигисиндə, дəсткаһ мугамларда—«дəрамəd», «тəсниф», «дирикə» вə «рəнклэр»лə жаншы «сагинамə» жанры да өзү-нəмəхсус јер тутур. «Сагинамə» эрəб вə фарс сөзлэриндэн эмэлə кəл-мишидир. Гəдим шаирлэрин сагијə хитабəн јаздыглары гəсидə, мəнзумə вə саир шє'рлэр «Сагинамə» формасында өз əксини тапмышдыр. Бу-дан башга классик шəрг əдəбијјатында да «Сагинамə» адэтэн поема-ларын əввəлиндə верилир вə эсэрин прологу маһијјəтини дашыјыр. Ни-зами, Шєјх Ираги, Əмир Хосров Дəһлэви, Хачу Кирмани, Хачə Гафиз Ширази, Əбдуррəһман Чами, Мəһəммəd Фүзули, Əлишир Нəван вə саир мəшһур шəрг шаирлэри «Сагинамə»лэрин классик нүмунэлэрини гэлэмə алмышлар. XII эсрдэн е'тибарэн фарс, эрəб, түрк дилли əд-бијјатда «Сагинамə»лэрə кениш тəсадүф едирик. «Сагинамə»лэрин илк, эң кезэл нүмунэлэрини Низамидə тапырыг. Адэтэн «Сагинамə»лэр ајры-ајры мəснəвилэрин əввəллэриндə верилир.

«Тəзкиреји-мејханə»дə XII—XIX эсрлэрдə јашамыш онларча шаир-рин сагинамəси топланмышдыр. «Сагинамə»лэр эруз вəзнини эң мұх-тəлиф бəһрэлэриндə, елчə дə мұхтəлиф поетик формаларда јазылыр-ды: мəснəви, гəзэл, гит'ə, рүбан вə саир формаларда.

«Сагинамə»лэр адэтэн сагијə мұрачиэтлə башланыр. Анадилли шє'римиздə «сагинамə»нин классик нүмунэлэрини Фүзулидə тапырыг. Анчаг «сагинамə»лэрдə меј, шəрəб, бадə, саги ифадэлэри реал мə'надан даһа чох символик характер дашыјырлар. Бу образлар тəсəввүр фəлсə-фəси илə əлагəдар конкрет мə'налара маликдирлэр. Орасы да вар ки, ајры-ајры суфи тэригэтлэриндə мусиги бəјүк јер тутурду. Демəли, тə-сəввүр поезијасы нүмунэлэри олан «сагинамə»лэр дə ајры-ајры суфи тэригэтлэриндə конкрет мугамларда ифа олунурду. «Сагинамə»ни илк дəфə поезијажə кəтирэн Низами олмушдур. Гафиз Ширази сагинамə вə мугəннинамэлэр јажмаг саһəсиндə даһа кениш фəалијјэт кəстэрмишидир. Гафиз Ширази Низамидэн ситатлар вермишидир, ондан мүəјјэн бєјтлэр кəтирмишидир. «Сагинамə»лэри шаирин бəдбилик руһу илə əлагəдар јаракмасыны тəсдиглэјэн алимлэр вар. Лакин башга бир груп тəдги-гатчылар «Сагинамə»лэри оптимистик, никбин руһлу эсэрлэр сажмыш-лар. «Сагинамə»лэр заман өтүкчə даһа чох дүнјəви, реал эсас кəсб етмиш, бу шє'рлэрдə зəвг, севинч, вəсф едилмишидир.

Əдəбијјатда олдуғу кими, мусигимиздə дə «Сагинамə» кечмиш за-манлардан нидики дөврүмүзə гэдэр мугамларымызын тэркибиндэки шө'бə вə кушэлэрдə өз адыны горујуб сахламышдыр. Һал-һазырда Азəр-бајчан мусигисиндə чəми ики «сагинамə» горуноб сахланмышдыр. Бу «сагинамə»лэрдэн бири «Шур», дикэри исə «һумајун» мугамына дахил-дир.

«Шур» мугамында сəслэнэн «Сагинамə»јə—«сагинамə-эчəми» дə дејирлэр. Бу она көрэдир ки, «Шур» мугамында сəслэнэн «сагинамə-

эчəми» мəһз Азərbayжан мугамынын иптонасијə көклэриндə икишаф едир. «Шур» мугамындакы «Сагинамə» эсасэн «Симан-шəмс» шө'бəси-нин пəрдэлэриндə сəслэнир. «Сагинамə» «Шур» дəсткаһынын зиллидə, даһа дэгиг десək ашағыдакы ардычыллыгда ифа олунур:

Шаһ—Хəтан
Сагинамə
Мавэрəннəһр
Сəрəнч

Andante con espressione

The musical score is written on ten staves in a single system. It begins with a treble clef, a key signature of one flat (B-flat), and a 4/4 time signature. The tempo and expression markings are 'Andante con espressione'. The score includes various musical notations such as slurs, ties, and dynamic markings like 'mf' and 'f'. The melody is characterized by its fluid, expressive quality, typical of the 'Saghnam' style.

МҮНДЭРИЧАТ

Ријазийат

- М. К. Гасимов, Ә. М. Мәһәррәмов.* Ади диференциал операторлар дәрәстәси үчүм сәһилмә нәзәрийјәсиниң тәрәс мәсәләсиниң һәллиниң јекәнәлији һаггында 3
В. М. Мирзәјев. Кәсилән әмсаллы параболик тәһликләрниң башлангыч вә сәриһәд гиймәтләри 7
М. Б. Искәндәрәвә. 4 тәртибли диференциал дәрәстәниң мәхәуси функцијалары үзрә, әрйлишын Абел мә'нада јығылмасы 11

Механика

- Р. Ј. Әмәнзәдә, М. Б. Ахундов, С. А. Мәммәдов.* Егнә һәрәкәт әталәтиниң прәс-әластики чубуғун рәгсинә тә'сири 15

Јарымкечиричиләр физикасы

- М. Н. Әлијев, М. Ә. Чәфәрәвә, А. Ә. Хәлиловә.* Бәрк мөһлуларыннн истилик кечирмәси 19
М. А. Алчанов, Н. Нусејнов, Ә. Н. Мәммәдов, Ә. Ә. Әбдүлрәһимов. $TiGaSe_2$ — $TiGaS_2$ вә $TiInS$ $TiInSe_2$ гарышыг кристалларыннн истилик тутуму 23
Һ. Ә. Әләкбәрәв, Е. И. Вәлијулин, Е. К. Нусејнов, Ч. О. Гачар, Б. М. Рүстәм-бәјәв. Cd_xHg_{1-x} Те кристалларыннн сәһи дефектләни 28
Т. Х. Әзизәв, Б. Г. Тағыјев, А. Һ. Нусејнов, А. А. Гулијев. Cd_3X_4 ($X = S, Se$ Те монокристалларыннда иҗексија чәрәјәнләри 31
М. М. Әкбәрәв. Термоелектрик мә'лумат чевиричиләриндә истилик јүкүнүн нәзәрә алынмасы 36
М. Н. Әлијев. Јарыммагнит јарымкечиричиләрдә електрон парамагнит резонансыннн нәзәрийјәси 40

Астрофизика

- Н. С. Чәлилов, К. Ә. Рүстәмәв.* Һоризонтал магнит сәһәли күчлү гејри-бир-чһис атмосферадә магнит-һидродинамик далғалар 44

Үзви кимја

- Г. Һ. һачыјев, Ф. Х. Гасымәв, М. А. Сејидәв, Ә. В. Рәһимәв.* Олигоанилинниң гурулушунун тәдгиги 50
Ә. В. Рәһимәв, А. Н. Әһмәдов, Г. Һ. һачыјев, Ф. Х. Гасымәв. Анилинниң мүһити мүхтәлиф рһ-ларыннда оксидләшмәси 56

Гејри-үзви кимја

- О. А. Әлијев, П. Һ. Рүстәмәв, Х. М. Аллаһвердијев.* 1050°С-дә Nd_2O_3 — Fe_2O_3 — V_2O_5 системиндә фәзәзмәләкәлмә 61

Физики кимја

- Х. Б. Көзәлов, Ә. М. һәсәнов, Х. И. Абдуллајевә.* ЕПР методу илә електрик бошалмасыннн B_2O_3 маддәсинә тәсириниң өјрәшилмәси 63
П. С. һағызәдә. Кимјәви кинетиканың үмуми принципи 68

Кеотектоника

- В. В. Григорјантс, И. С. Гулијев.* Мүхтәлиф јашлы формасија комплекси чөкүнтүләриннн гырышыгыг-структурларыннда әкс нисбәти вә онларын јаранма сәбәбләри (Чәнуби Хәзәр чөкәклији тимсалыннда) 72

Торпагынаслыг

- Н. А. Агајев.* Азәрбајчан ССР Кичик Гафгаз ландшафтларыннда мис вә мо-либден биокеокимјасы һаггында 77

Мешә торпагынаслыгы

- Һ. Ә. Әлијев, К. Р. Аллаһвердијәдә.* Ачыновур сејрәк арид мешәләрин торпаг вә торпагәмәләкәлмә процесини антропокеи тә'сири һаггында 82

Археолокија

- Ф. В. Гәдиров.* Бир даһа Гәбәләниң (Галанын) мүдафиә диварларыннн дов-ру һаггында 86

Мусиги

- Ә. Исәзәдә.* Азәрбајчан халг мусигисинниң нот јазы тарихиндә 89
Е. Б. Мансурәв. Азәрбајчан мусигисиндә «Сағинамә» жанры 92

СОДЕРЖАНИЕ

Математика

- М. Г. Гасымов, А. М. Магеррамов.* О единственности решения обратной задачи теории рассеяния для пучков обыкновенных дифференциальных операторов 3
- В. М. Мирзоев.* О граничных и начальных значениях решений параболического уравнения второго порядка с разрывными коэффициентами 7
- М. Б. Искендерова.* О суммируемости по Абелю разложений по собственным функциям дифференциальных пучков четвертого порядка 11

Механика

- Р. Ю. Амензаде, М. Б. Ахундов, С. А. Мамедов.* Влияние инерции поперечного движения на колебание наследственно-упругого стержня 15

Физика полупроводников

- М. Н. Алиев, М. А. Джафарова, А. А. Халилова.* Теплопроводность твердых растворов $\text{InSb}-\text{In}_2\text{Te}_3$ 19
- М. А. Аджанов, Н. Г. Гусейнов, Э. Н. Мамедов, А. А. Адуррагимов.* Теплоемкость смешанных кристаллов 23
- Г. А. Алекперов, Э. И. Велиолин, Э. К. Гусейнов, Ч. О. Каджар, Б. М. Рустамбеков.* Дефектность поверхности кристаллов $\text{Cd}_x\text{Hg}_{1-x}\text{Te}$ 28
- Т. Х. Азизов, Б. Г. Тагиев, А. Г. Гусейнов, А. А. Кулиев.* Инжекционные токи в монокристаллах 31
- М. М. Акперов.* Об учете тепловой нагрузки в термоэлектрических преобразователях информации 36

Физика магнитных явлений

- М. Н. Алиев.* Теория электронного парамагнитного резонанса в полумангнитных полупроводниках 40

Астрофизика

- Н. С. Джалилов, К. А. Рустамов.* Магнитогидродинамические волны в сильно неоднородной атмосфере с горизонтальным магнитным полем 44

Органическая химия

- Г. Г. Гаджиев, Ф. Х. Касумов, М. А. Сейидов, А. В. Рагимов.* Исследование структуры олигоанилина 50
- А. В. Рагимов, А. И. Ахмедов, Г. Г. Гаджиев, Ф. Х. Касумов.* Окисление анилина при различных значениях pH-среды 56

Неорганическая химия

- П. Г. Рустамов, Х. М. Аллаховердиев.* Фазообразование в системе $\text{Nd}_2\text{O}_3-\text{F}_2\text{O}_3-\text{B}_2\text{O}_3$ при 1050°C 61

Физическая химия

- Х. Б. Гезалов, А. М. Гасанов, Х. И. Абдуллаева.* Изучение влияния электрического разряда на B_2O_3 методом ЭПР 63
- П. С. Наги-заде.* Общий принцип химической кинетики (ОПХК) 68

Геотектоника

- Б. В. Григорянц, Н. С. Гулиев.* Обратные соотношения в складчатой структуре разновозрастных формационных комплексов отложений и возможные причины их возникновения (на примере Южно-Каспийской впадины) 72

Почвоведение

- Н. А. Агаев.* К биогеохимии меди и молибдена в ландшафтах Малого Кавказа Азербайджанской СССР 77

Лесное почвоведение

- Г. А. Алиев, Г. Р. Аллаховердиев.* Об антропогенном влиянии на почвы и почвообразование в аридных редколесьях Аджниоура 82

Археология

- Ф. В. Гадиров.* Еще раз о датировке оборонительных стен Кабалы (Калы) 86

Музыка

- Ахмед Исазаде.* Из истории записи азербайджанской народной музыки 89
- Э. Б. Мансуров.* Жанр «Сагинамэ» в азербайджанской музыке 92

9. Текст статьи печатается на белой бумаге через два интервала на одной стороне листа стандартного размера, с полями с левой стороны (не более 28 сторк на одной странице по 58—60 знаков в строке). В тексте нельзя делать рукописные вставки и вклейки.

Статьи, напечатанные на портативной машинке, не принимаются.

10. Текст статьи должен быть изложен кратко, тщательно отредактирован и подписан авторами в печать. В математических статьях желательно избегать доказательства теорем, лемм и т. п. При использовании в тексте сокращенных названий (кроме общепринятых) необходимо давать их расшифровку.

11. Математические и химические формулы и символы в тексте должны быть вписаны четко. Следует избегать громоздких обозначений, применяя, например, дробные показатели степени вместо радикалов, а также exp. Заномерованные формулы обязательно включаются в красную строку, номер формулы ставится у правого края строки. Желательно нумеровать лишь те формулы, на которые имеются ссылки. Подстрочные и надстрочные индексы и степени следует отмечать карандашом, дугами сверху и снизу:

K^n, r_n

Греческие буквы нужно обводить (в кружок) красным карандашом. Буквы готического шрифта и рукописные в рукописях не использовать, векторные величины — подчеркивать черным, буквы латинского рукописного шрифта следует отметить на полях (например, H рукоп.).

Во избежание ошибок следует четко обозначать прописные (заглавные) и строчные буквы латинского алфавита, имеющие сходное начертание (Ca; Kk; Pp; Oo; Ss; Uu; Vv; и т. д.), буквы I(i) и J(j) букву I и римскую единицу I, а также арабскую цифру 1 и римскую I', (вертикальная черта), I и штрих в индексах, I (латинской i) и e. Прописные буквы подчеркивают карандашом двумя черточками снизу (c), а строчные — сверху (c).

Следует избегать знаков типа ~ (волна), \odot , \oplus , \otimes ; \square , $\bar{\square}$, \diamond , ∇ , \wedge (крышки) над и под буквами, а также знаков:

\hbar \times ϵ , ϕ , ψ , Φ , Ψ , δ

Латинские названия вписываются на машинке.

Слова «теорема», «лемма», «следствие», «определение», «замечание» и т. п. следует подчеркивать штриховой чертой, а текст утверждений типа теорем — волнистой чертой (исключая математические символы).

При выборе единиц измерения рекомендуется придерживаться международной системы единиц СИ.

12. При описании методики исследования следует ограничиваться оригинальной ее частью. При элементном анализе приводить только усредненные данные.

13. Необходимо тщательно проверить написание местных географических названий.

14. Цитируемая литература проводится общим списком на отдельной странице: ссылки в тексте даются порядковым номером в круглых скобках над строкой (например, 1). Список литературы оформляется следующим образом:

для книг: инициалы и фамилия авторов, полное название книги, место и год издания;

для журнальных статей: инициалы и фамилия авторов, название журнала, номер том и, номер выпуска, страница и год издания.

Ссылки на неопубликованные работы не допускаются.

15. Все статьи должны иметь резюме на английском языке, кроме того, статьи, написанные на русском и азербайджанском языках, должны иметь резюме на азербайджанском и на русском соответственно.

Публикация статьи в «Докладах» не препятствует напечатанию расширенного ее варианта в другом периодическом издании.

Сдано в набор 19.08.87. Подписано к печати 05.01.88. ФГ 00003. Формат бумаги 70×100^{1/16}. Бумага типографская № 1. Гарнитура шрифта литературная. Печать высокая. Усл. печ. лист 8,12. Усл. кр. отт. 8,12. Уч.-изд. лист 6,62. Тираж 600. Заказ 900. Цена 70 коп.

Издательство «Эам»

370143 Баку-143, проспект Нариманова, 31, Академгородок, Главное здание Государственного комитета Азербайджанской ССР по делам издательства, полиграфии и книжной торговли.

Производственное промышленное объединение по печати.

Типография «Красный Восток» Баку, ул. Ази Асланова, 80.

70 гэл.
коп.

Индекс
76355